



المملكة العربية السعودية
المؤسسة العامة للتدريب التقني والمهني
الإدارة العامة لتصميم وتطوير المناهج

الكليات التقنية

الحقيقة التدريبية :

تقنية التحكم الآلي (نظري)

في تخصصات

الآلات والمعدات الكهربائية

والقوى الكهربائية ومشغل لوحة التحكم





مقدمة

الحمد لله وحده، والصلوة والسلام على من لا نبي بعده، محمد بن عبد الله وعلى آله وصحبه، وبعد :

تسعى المؤسسة العامة للتدريب التقني والمهني لتأهيل الكوادر الوطنية المدرية القادرة على شغل الوظائف التقنية والفنية والمهنية المتوفرة في سوق العمل، ويأتي هذا الاهتمام نتيجة للتوجهات السديدة من لدن قادة هذا الوطن التي تصب في مجملها نحو إيجاد وطن متكامل يعتمد ذاتياً على الله ثم على موارده وعلى قوة شبابه المسلح بالعلم والإيمان من أجل الاستمرار قدماً في دفع عجلة التقدم التنموي: لتصل بعون الله تعالى لمصاف الدول المتقدمة صناعياً.

وقد خطت الإدارة العامة لتصميم وتطوير المناهج خطوة إيجابية تتفق مع التجارب الدولية المتقدمة في بناء البرامج التدريبية، وفق أساليب علمية حديثة تحاكي متطلبات سوق العمل بكافية تخصصاته لتلبي متطلباته ، وقد تمثلت هذه الخطوة في مشروع إعداد المعايير المهنية الوطنية الذي يمثل الركيزة الأساسية في بناء البرامج التدريبية، إذ تعتمد المعايير في بنائها على تشكيل لجان تخصصية تمثل سوق العمل والمؤسسة العامة للتدريب التقني والمهني بحيث تتوافق الرؤية العلمية مع الواقع العملي الذي تفرضه متطلبات سوق العمل، لتخريج هذه اللجان في النهاية بنظرة متكاملة لبرنامج تدريسي أكثر التصاقاً بسوق العمل، وأكثر واقعية في تحقيق متطلباته الأساسية.

وتتناول هذه الحقيقة التدريبية "تقنية التحكم الآلي - نظري " لمتدربى تخصصات "الآلات والمعدات الكهربائية والقوى الكهربائية ومشغل لوحة التحكم" للكليات التقنية موضوعات حيوية تتناول كيفية اكتساب المهارات الالزمة لهذا التخصص.

والإدارة العامة لتصميم وتطوير المناهج وهي تضع بين يديك هذه الحقيقة التدريبية تأمل من الله عز وجل أن تسهم بشكل مباشر في تأصيل المهارات الضرورية الالزمة، بأسلوب مبسط يخلو من التعقيد، مدعم بالتطبيقات والأشكال التي تدعم عملية اكتساب هذه المهارات.

والله نسأل أن يوفق القائمين على إعدادها المستفيدين منها لما يحبه ويرضاه؛ إنه سميع مجيب الدعاء.



الفهرس

رقم الصفحة	الموضوع
٨	الوحدة الأولى: أساسيات نظم التحكم
١٠	١-١. مقدمة
١١	٢-١. المكونات الأساسية لنظم التحكم
١٣	٣-١. أمثلة توضيحية لأنظمة التحكم
١٣	٤-٣-١-١ التحكم اليدوي لنظام حراري
١٤	٤-٣-١-٢ التحكم الآلي لنظام حراري
١٥	٤-٣-١-٣ التحكم في مستوى الماء في خزان
١٧	٤-٣-١-٤ نظام تحكم بيولوجي
١٩	٤-٣-١-٥ نظام تحكم إلكتروني في سرعة محرك تيار مستمر
٢٠	٤-١ تحويلات لا بلاس
٢١	٤-٤-١ تحويلات لا بلاس لبعض الدوال
٢٣	٤-٤-٢ نظريات التحويل اللا بلاسي
٢٨	٤-٥ تحويلات لا بلاس العكسية
٢٩	٤-٦-١-١ تصميف أنظمة التحكم الآلي
٣٢	٤-٦-١-٢ أنظمة التحكم ذات الحلقة المفتوحة
٣٢	٤-٦-١-٣ أنظمة التحكم ذات الحلقة المغلقة
٣٣	٤-٦-١-٤ مقارنة بين أنظمة التحكم ذات الحلقة المفتوحة والمغلقة
٣٤	٤-٧-١ دالة التحويل
٣٥	٤-٧-١-١ إيجاد دالة التحويل من المعادلة التقاضية للنظام
٣٥	٤-٧-١-٢ إيجاد دالة التحويل لحلقة تغذية خلفية مثالية
٣٨	٤-٨-١ المخطط الصندوقي
٣٩	٤-٨-١-١ مكونات المخطط الصندوقي



رقم الصفحة	الموضوع
٤١	٢-٨-١ قواعد تبسيط المخطط الصندوقى
٤٨	٩-١. مخطط تدفق الاشارة
٤٩	١-٩-١ قواعد مخطط تدفق الإشارة
٥١	٢-٩-١ قاعدة ماسون
٥٤	تمارين
٥٨	الوحدة الثانية : نظم التحكم الصناعية و خواصها
٦٠	١-٢ مقدمة
٦١	٢-٢ النمذجة الرياضية لنظم التحكم
٦٥	٣-٢ أنواع الحاكمات الصناعية.
٦٥	١-٣-٢ الحاكمات المتقطعة
٦٥	١-١-٣-٢ الحكم ذو الموضعين
٦٦	٢-١-٣-٢ الحكم ذو الموضعين مع فرق تخلفي
٦٧	٢-٣-٢ الحاكمات المستمرة
٦٧	١-٢-٣-٢ الحكم التناصي
٦٩	٢-٢-٣-٢ الحكم التكامل
٧١	٣-٢-٣-٢ الحكم التفاضلي
٧٢	٤-٢-٣-٢ الحكم التناصي التكامل
٧٣	٥-٢-٣-٢ الحكم التناصي التكامل التفاضلي
٧٥	٤-٢ الحساسات والمبولات
٧٦	٥-٢ عناصر التحكم النهائي
٧٧	١-٥-٢ صمامات التحكم
٧٨	٢-٥-٢ المحرك الكهربائي
٨٠	تمارين



رقم الصفحة	الموضوع
٨٢	الوحدة الثالثة: الاستجابة الزمنية لنظم التحكم
٨٤	١-٣. مقدمه
٨٥	٢-٣. الدوال القياسية للدخل.
٨٨	٣-٣ الاستجابة الزمنية لدالة الخطوة
٨٨	١-٣-٣ رتبة النظم
٨٨	٢-٣-٣ الاستجابة الزمنية لنظم الرتبة الأولى
٩١	١-٢-٣-٣ خصائص نظم الرتبة الأولى
٩٢	٢-٢-٣-٣ الاستجابة العابرة والاستجابة الدائمة
٩٤	٣-٣-٣ الاستجابة الزمنية لنظم الرتبة الثانية
٩٥	١-٣-٣-٣ حالة الإخماد الزائد
٩٥	٢-٣-٣-٣ حالة الإخماد الحرج
٩٥	٣-٣-٣-٣ حالة الإخماد الناقص
١٠٠	٤-٣-٣-٣ خصائص نظم الرتبة الثانية
١٠٤	تمارين
١٠٧	الوحدة الرابعة: منظومة التحكم ذات الحلقة المغلقة
١٠٩	١-٤. التحكم ذو الحلقة المغلقة
١١٠	٢-٤. الخواص المرغوبة في نظم التحكم ذات الحلقة المغلقة.
١١١	٣-٤. دور الحاكمات في ضبط الدائرة المغلقة
١١٢	٤-٤. التحويل اللا بلاسي لإشارة الخطأ
١١٣	٥-٤. تأثير الحاكم التناصي على إشارة الخطأ
١١٥	٦-٤. تأثير الحاكم التكامل على إشارة الخطأ
١١٧	٧-٤. تأثير الحاكم التناصي التكامل على إشارة الخطأ
١١٩	٨-٤. تأثير الحاكم التناصي التكامل على إشارة الخطأ



رقم الصفحة	الموضوع
١٢٢	تمارين
١٢٥	مصطلاحات
١٣٠	المراجع



تهييد

الحمد لله رب العالمين، والصلوة والسلام على سيدنا محمد وآلـه وصـحبـه، أـما بـعـدـ، فـهـذـهـ حـقـيـقـيـةـ تـعـلـيمـيـةـ بـعـنـوـانـ "ـتـقـنـيـةـ التـحـكـمـ الـآـلـيـ"ـ نـقـدـمـهـاـ لـأـبـنـائـاـ مـتـدـرـبـيـ الـكـلـيـاتـ الـتـقـنـيـةـ الـتـابـعـةـ لـلـمـؤـسـسـةـ الـعـامـةـ لـلـتـعـلـيمـ الـفـنـيـ وـالـتـدـرـيـبـ الـمـهـنـيـ،ـ تـخـصـصـ "ـتـقـنـيـةـ كـهـرـبـائـيـةـ".ـ

الهدف من دراسة هذا المقرر **تمكّن** المتدرب من معرفة أساسيات التحكم الآلي، ونظم التحكم الصناعية وخصائصها **كما تمكّن** المتدرب من نمذجة وتحليل منظومة التحكم، وتحليل إشارة الخطأ التي تتولد في أنظمة التحكم وتأثير استخدام أنواع الحاكمات المختلفة عليها.

وقد تم توزيع محتوى المادة العلمية على أربع وحدات تعليمية هي:
الوحدة الأولى: بعنوان أساسيات التحكم الآلي وتناول في هذه الوحدة العناصر الأساسية لمنظومة التحكم ووظيفة كل عنصر، وتصنيف أنظمة التحكم الآلي، وتحويلات لابلاس وتحويلات لابلاس العكسية وقواعدها ونظرياتها المختلفة، وتعريف دالة التحويل وكيفية بناء المخطط الصندوقي، والقواعد العامة لتبسيط المخطط الصندوقي، ومخطط تدفق الإشارة وكيفية استخدام قاعدة ماسون لحساب دالة التحويل.

الوحدة الثانية: بعنوان نظم التحكم الصناعية وخصائصها ونتعرف في هذه الوحدة على عناصر التحكم النهائية وصممات التحكم والمشغلات الكهربائية والحاكمات ذات الخرج المتقطع والأنواع المختلفة للحاكمات ذات الخرج المستمر.

الوحدة الثالثة: بعنوان الاستجابة الزمنية لنظم التحكم ونطرق في هذه الوحدة إلى تعليم المتدرب **كيفية تحديد رتبة النظام وكيفية الحصول على المعادلة التفاضلية التي تصف نظام التحكم وكيفية الحصول منها على دالة التحويل وكذلك معرفة الاستجابة الزمنية لأنظمة التحكم الآلي.**

الوحدة الرابعة: بعنوان منظومة التحكم ذات الدائرة المغلقة ونتناول فيها تحليل إشارة الخطأ في النظم ذات الحلقة المغلقة مع توضيح تأثير الأنواع المختلفة من الحاكمات عليها.



وقد روعي عند إعداد هذه الحقيبة البساطة في تقديم المادة العلمية بحيث لا نلجأ إلى التحليل الرياضي إلا عند الضرورة ولقد زودت كل الوحدات بأمثلة لتسهيل استيعاب المتدرب للمادة العلمية والمفاهيم الأساسية. كما تم وضع أسئلة وتمارين في نهاية كل وحدة تعليمية ليتمكن المتدرب من اختبار ما اكتسبه من جدار، وتغرس فيه مهارة التعلم الذاتي.



الوحدة الأولى

أساسيات التحكم الآلي

**الهدف العام للوحدة :**

معرفة المكونات الأساسية لأنظمة التحكم الآلي والطرق المختلفة التي تستخدم في وصفها وتحليل أدائها.

الأهداف التفصيلية:

١. أن يتعرف المتدرب على تكنولوجيا أنظمة التحكم الآلي.
٢. أن يحدد المتدرب أهم مجالات تطبيق تكنولوجيا أنظمة التحكم الآلي.
٣. أن يتعرف المتدرب على المكونات الأساسية لمنظومة التحكم.
٤. أن يستخدم المتدرب تحويلات لابلاس وتحويلات لابلاس العكسية.
٥. أن يعرف المتدرب أهمية تحويلات لابلاس في تحليل أداء نظم التحكم.
٦. أن يعرف المتدرب ماهية دالة التحويل وكيفية الحصول عليها.
٧. أن يصنف المتدرب أنظمة التحكم الآلي والمقارنة بينها.
٨. أن يعرف المتدرب المخطط الصندوقي ومكوناته
٩. أن يعرف المتدرب كيفية بناء المخطط الصندوقي وكيفية تسيطه.
١٠. أن يصف المتدرب مخطط تدفق الإشارة وكذلك معرفة أساسياته.
١١. أن يستخدم المتدرب قواعد مخطط تدفق الإشارة للحصول على دالة التحويل

(قاعدة ماسون)





1.1 مقدمة - Introduction

تعتبر تكنولوجيا نظم التحكم الآلي (Automatic Control systems) من أهم فروع العلوم الهندسية التي تلعب دوراً بالغ الأهمية في ما يشهده عالمنا اليوم من رفاهية وازدهار. إن علم التحكم الآلي هو الذي يختص بدراسة كيفية التحكم والسيطرة على كثير من العمليات الصناعية وغيرها في شتى مجالات الحياة. ولقد أدى التطور السريع في نظريات وتطبيقات التحكم الآلي إلى توفير وسائل تحقيق الأداء الأمثل للأنظمة الديناميكية مما خفف الكثير من الأعباء التي كانت تقع على كاهل العنصر البشري (المُشغل) جراء القيام بالعديد من الأعمال المتكررة والروتينية.

لقد لعب التحكم الآلي دوراً حيوياً في تقدم الهندسة والعلوم في جميع المجالات. ففي علوم الفضاء أصبحت له تطبيقات شتى أهمها التحكم في مركبات الفضاء وأنظمة توجيه الصواريخ والتوجيه الآلي للطائرات (الطيار الآلي) وغيرها. كما أن نظم التحكم دور كبير في أنظمة القوى الكهربائية والتي تعتبر من أكبر الأنظمة الصناعية التي صنعها الإنسان؛ لذا فالتحكم في الشبكات والآلات والأحمال يعتبر عاملًا أساسياً لضمان التشغيل الاقتصادي والأمثل لهذه الأنظمة. ومن أمثلة تطبيقات نظم التحكم التي ساعدت في تخفيف أعباء الحياة اليومية وجعلتها أكثر رفاهية وخاصة في مجال الكهرباء:

- محطات توليد الطاقة الكهربائية وتحلية المياه،
- آلات النقل الكهربائية،
- التبريد والتكييف،
- التدفئة والأفران،
- الغسالات والنشافات.

لقد أصبح للتطور الكبير الذي نشهده حالياً في تكنولوجيا الحاسوبات الإلكترونية (Computers) والإنسان الآلي (Robot) أثراً كبيراً على تزايد تطبيقات أنظمة التحكم المقدمة في كثير من المجالات مما جعل مفاهيم التحكم الآلي، والتي كانت حكراً على التقنيين والمهندسين، تُستخدم في شتى مجالات المعرفة مثل علوم الأحياء والاقتصاد والاجتماع والتربية والخطيط العمراني Urban Planning

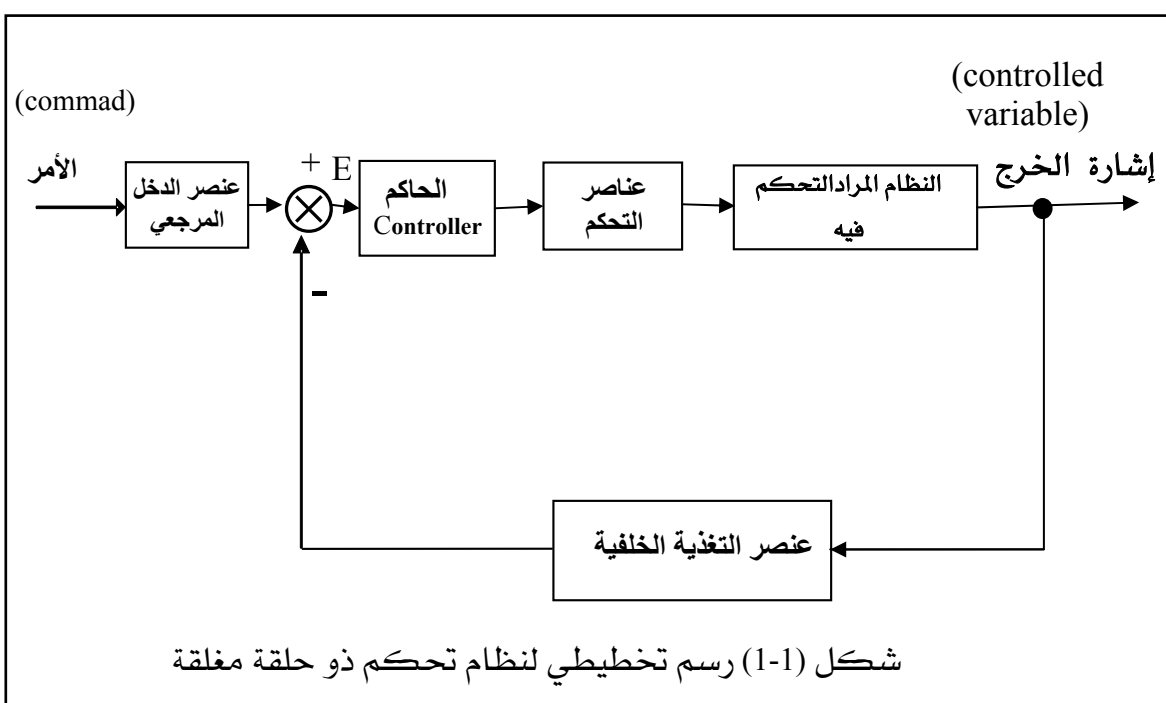


والبيئة (Environment). وبالإضافة إلى ما سبق فإن تطبيقات التحكم الآلي أصبحت جزءاً هاماً ومكملاً ل مختلف الصناعات الهندسية، مثل:

- مصانع تكرير النفط،
- مصانع تعبئة قارورات الغاز،
- مصانع تعبئة المواد الغذائية،
- صناعة السيارات،
- صناعة الإسمنت،
- الملاحة الجوية والبحرية
- التطبيقات العسكرية... والكثير

2.1 المكونات الأساسية لنظم التحكم . (Control System's Components).

الشكل (1-1) يوضح رسم تخطيطي (سوف نطلق عليه لاحقاً المخطط الصندوقي) لعناصر نظام تحكم ذو حلقة مغلقة. و قبل أن نبدأ في مناقشة نظم التحكم الآلي يجب أن نتعرف أولاً على بعض العناصر والمصطلحات الأساسية التي تستخدم للتعرف على عناصر النظام والإشارات المستخدمة لإتمام عملية التحكم :



شكل (1-1) رسم تخطيطي لنظام تحكم ذو حلقة مغلقة



• المتغير المحكوم (Controlled Variable)

هو كمية يتم قياسها والسيطرة عليها. عادة ما يكون المتغير المحكم هو الخرج أو الناتج النهائي من النظام. والمتغير المحكم هو الكمية المراد التحكم فيها حيث يتم المحافظة عليها في حدود القيم المرغوبة.

• النظام (Plant)

يتكون النظام من مجموعة من العناصر المتراكبة فيما بينها والتي تعمل جميعها لتوسيع هدفاً محدداً أو وظيفة معينة. ويمكن تسميتها لأي كائن فизيائي خاضع للتحكم مثل جهاز ميكانيكي، أو فرن تدفئة، أو مفاعل كيميائي، أو مركبة فضائية.

• التشويش (Disturbance)

التشويش هو إشارات غير مرغوب فيها حيث أنها تميل إلى التأثير سلباً على الكمية المراد التحكم فيها والتي تعبّر عن خرج النظام. وهي نوعان: داخلية تنشأ داخل النظام وخارجية حيث تنشأ خارج النظام أو من محیطه.

• إشارة الدخل المرجعي (Reference Signal)

وهي الإشارة التي تعبّر عن القيمة المرغوب فيها للكمية المراد التحكم فيها. وعادة ما تكون إشارة كهربائية تعبّر عن القيمة المرغوبة للكمية المراد التحكم فيها وكيفية تغييرها خلال فترة التشغيل.

• إشارة الخرج (Output Signal)

وهي الإشارة التي تعبّر عن القيمة الفعلية للكمية المراد التحكم فيها. وغالباً ما تعبّر عن كميات فизيائية مثل سرعة محرك كهربائي حيث يتم تحويلها إلى إشارة كهربائية باستخدام حساسات مناسبة.

• إشارة الخطأ (Error Signal)

هي الإشارة التي تعبّر عن الفرق بين إشارة الدخل المرجعي والتي تعبّر عن القيمة المرغوبة للكمية المراد التحكم فيها وإشارة الخرج والتي تعبّر عن القيمة الفعلية للكمية المراد التحكم فيها. وتتّجه هذه الإشارة من عنصر المقارنة (المقارن) حيث يقوم بمقارنة الإشارتين السابقتين.



• الحاكم (Controller)

يعتبر الحكم بمثابة العقل المدبر لإدارة النظام ككل حيث يقوم بمعالجة جميع البيانات المتعلقة بالنظام المراد التحكم فيه وإصدار الأوامر المناسبة لاتمام عملية التحكم. ويحاكي الحكم في نظم التحكم الآلي العقل البشري في نظم التحكم اليدوية.

• الحساسات (Sensors)

تقوم الحساسات بتحويل الكميات الفيزيائية إلى إشارات كهربائية تعبر عن قيمتها وهي عادة ما تحاكي عمليتي القياس واللاحظة في نظم التحكم اليدوية.

• المشغلات (Actuators)

تقوم المشغلات بتنفيذ الأوامر التي تصدر من الحكم ودورها في نظم التحكم الآلي يحاكي يد العامل في نظم التحكم اليدوية.

• عنصر التحكم النهائي (Final Control Elements)

وهو العنصر الذي يقوم المشغل بتفعيله ليقوم بالتأثير المباشر على عملية التحكم ويمكن أن يكون عبارة عن صمامات يتم غلقها أو فتحها للتأثير المباشر في الكمية المراد التحكم فيها.

3.1 أمثلة توضيحية لأنظمة التحكم (Illustrative Examples)

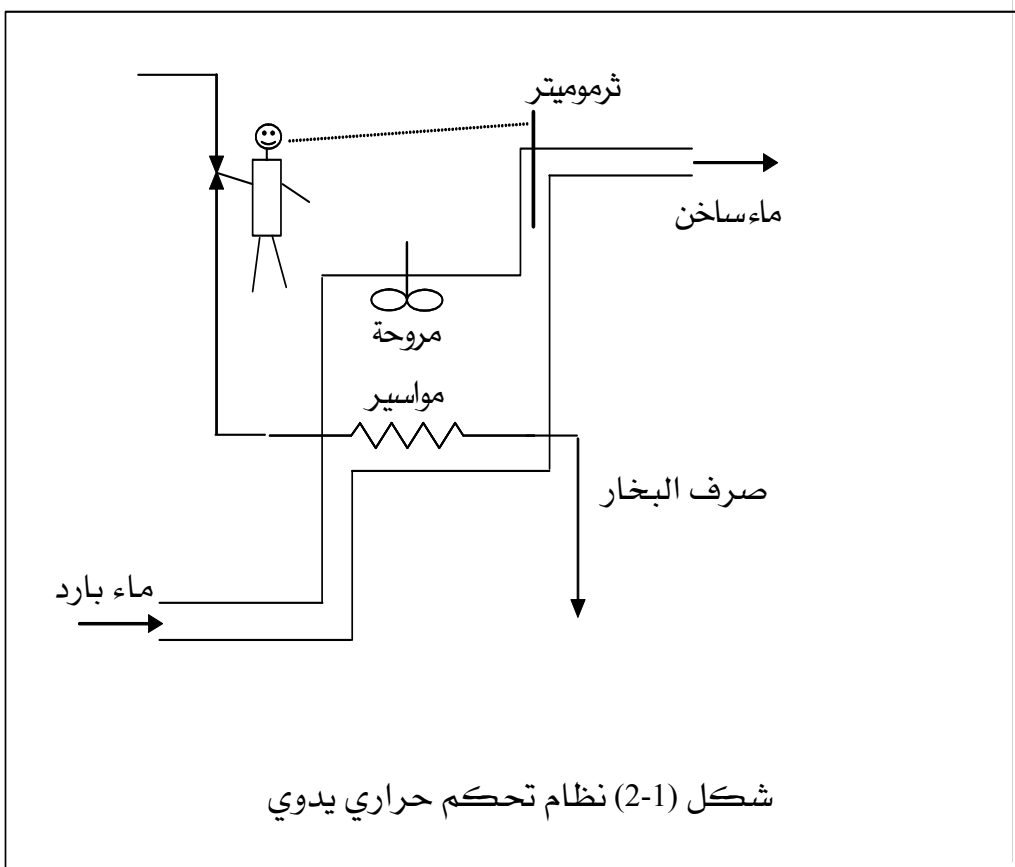
فيما يلي وصف مبسط لبعض أنظمة التحكم بهدف توضيح فكرة التحكم ذات التغذية الخلفية:

1.3.1 التحكم اليدوي لنظام حراري:

شكل (1-2) يبين نظام تحكم يدوى ذو تغذية خلفية للتحكم في درجة حرارة نظام حراري عبارة عن عملية تسخين مياه عن طريق إماراتها في وعاء يحتوي على مواسير يمر بها بخار ماء ساخن بدرجة حرارة عالية حيث تتم في هذا الوعاء عملية تبادل حراري بين البخار الساخن والمياه الباردة فترتفع درجة حرارة المياه. وتستخدم المروحة المبينة في الشكل لتقليل المياه داخل الوعاء لرفع كفاءة التبادل الحراري وضمان توزيع درجة الحرارة بانتظام خلال المياه .



ويتم قياس درجة حرارة المياه عن طريق الترمومتر ويقوم الإنسان بمراقبة درجة الحرارة ومقارنتها بدرجة الحرارة المطلوبة. فإذا وجد أن درجة الحرارة المقاومة (خرج نظام التحكم) أقل من المطلوب يقوم بزيادة فتحة صمام البخار ليسمح بمرور كمية أكبر من البخار الساخن



وبذلك ترتفع درجة حرارة المياه . وإذا لاحظ المشغل ارتفاع درجة حرارة المياه أكثر من الدرجة المسموح بها يقوم بتقليل فتحة صمام البخار وذلك لتقليل درجة الحرارة. وبذلك يتم التحكم هنا عن طريق الإنسان ولهذا يسمى تحكمًا يدوياً .

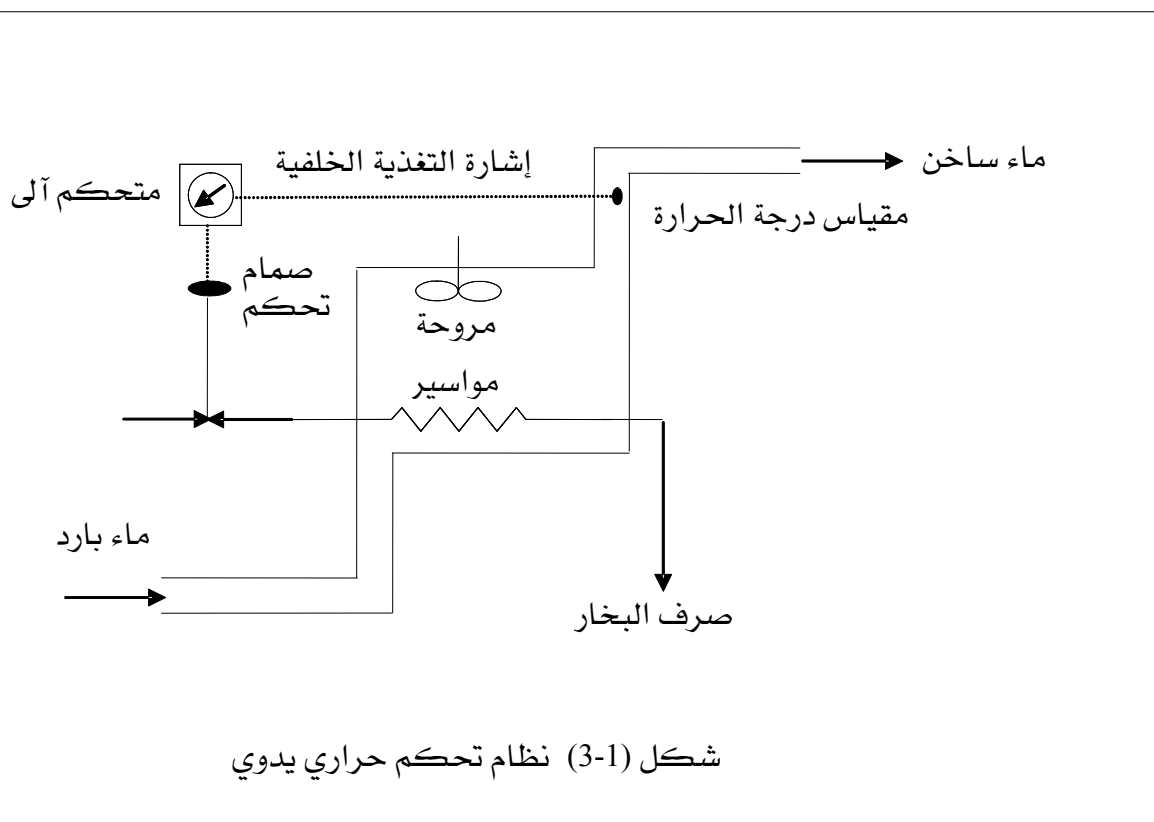
2.3.1 التحكم الآلي لنظام الحراري :

حيث تم هنا استخدام آلات للقيام بعملية التحكم بدلاً من الإنسان كما هو موضح في الشكل (3-1) والمطلوب من الآلات هنا تحديد درجة حرارة المياه. ومقارنتها بدرجة الحرارة



المطلوبة وإذا وجد أي خلاف يقوم المتحكم الآلي بتحريك صمام البخار لإعادة ضبط درجة الحرارة إلى القيمة المطلوبة.

ويلاحظ أن مقياس الحرارة هنا يختلف عن الترمومتر العادي الذي يبين درجة الحرارة حيث يتم تحديدها بالنظر. ففي التحكم الآلي تفاصي درجة الحرارة وتحول إلى إشارة يمكن مقارنتها بالدخل المرجعي (وهو الذي يمثل درجة الحرارة المطلوبة). ويمكن أن يتم ذلك عن طريق تحويل درجات الحرارة المقاومة والمطلوبة إلى فروق جهد يمكن مقارنتها مباشرة والفرق بينهما يمكن استخدامه بواسطة المتحكم للتحكم في فتحة صمام البخار عن طريق محرك كهربائي مثل.



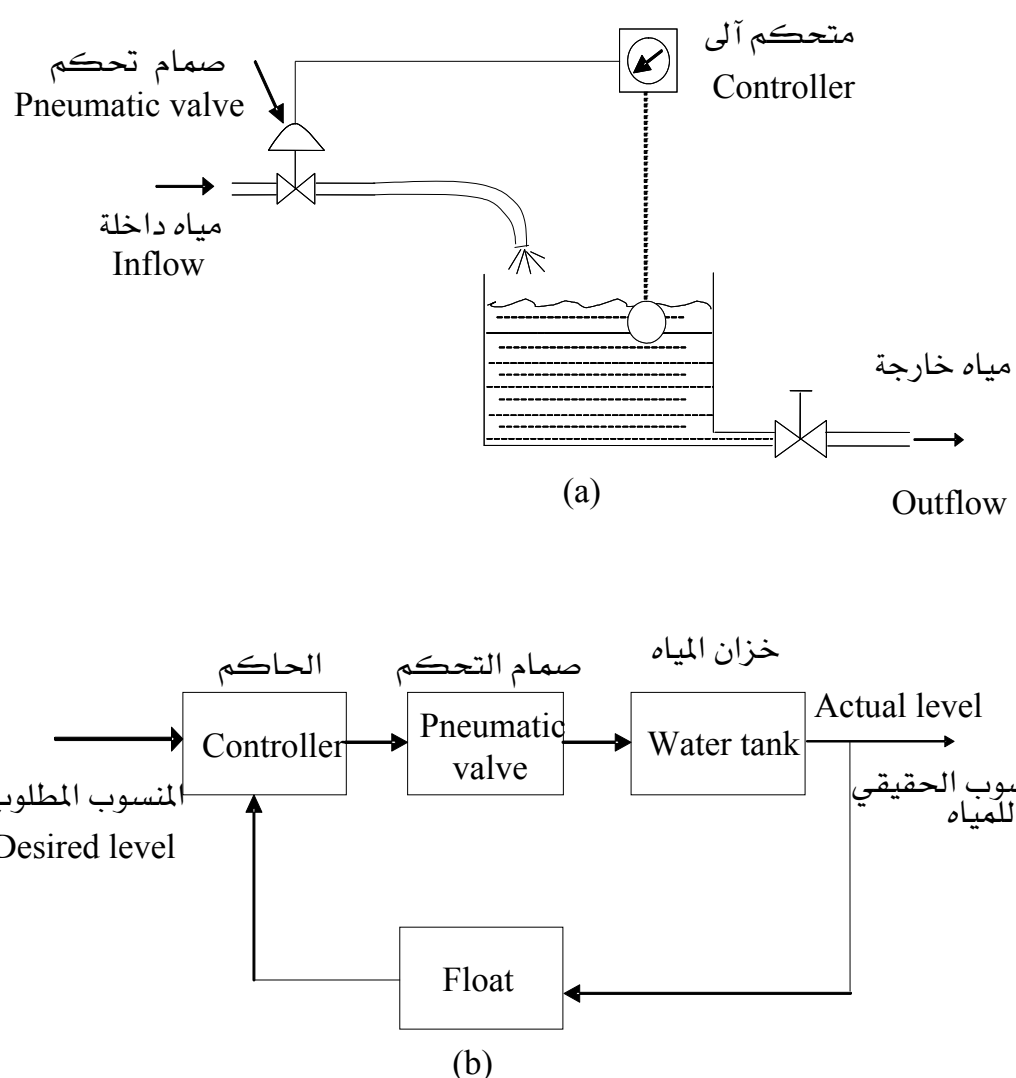
شكل (3-1) نظام تحكم حراري يدوي

3.3.1 التحكم في مستوى المياه في خزان:

كما هو مبين بالشكل (a-4-1) يتم قياس منسوب المياه (خرج النظام) عن طريق عوامة ويقوم المتحكم بمقارنته المنسوب الحقيقي للمياه بالمنسوب المطلوب (الدخل المرجعي) وفي حالة وجود أي فرق بينهما يتم تغيير حالة صمام التحكم لتنظيم عملية دخول المياه. وإذا كان لدينا ارتفاع معين للماء في الخزان وأن كمية المياه الخارجة للمستهلكين متساوية لكمية المياه



الداخلة فإن النظام يكون مستقرًا في هذه الحالة. وإذا حدث تغيير في كمية المياه الخارجة مثلاً (اضطراب خارجي) يتغير ارتفاع منسوب المياه في الخزان وعليه يتغير وضع العوامة وبذلك يعلم المتحكم على تغيير فتحة صمام التحكم في المياه الداخلة لإعادة ضبط ارتفاع المياه في الخزان.



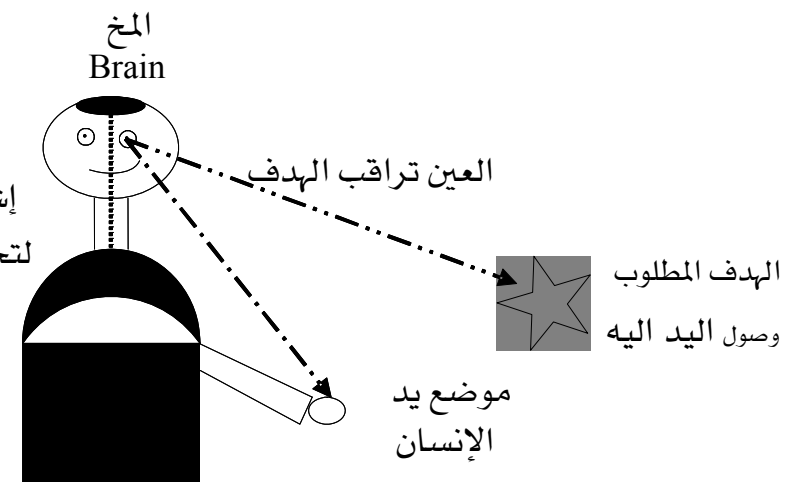
شكل (4-1) نظام تحكم في مستوى المياه في خزان



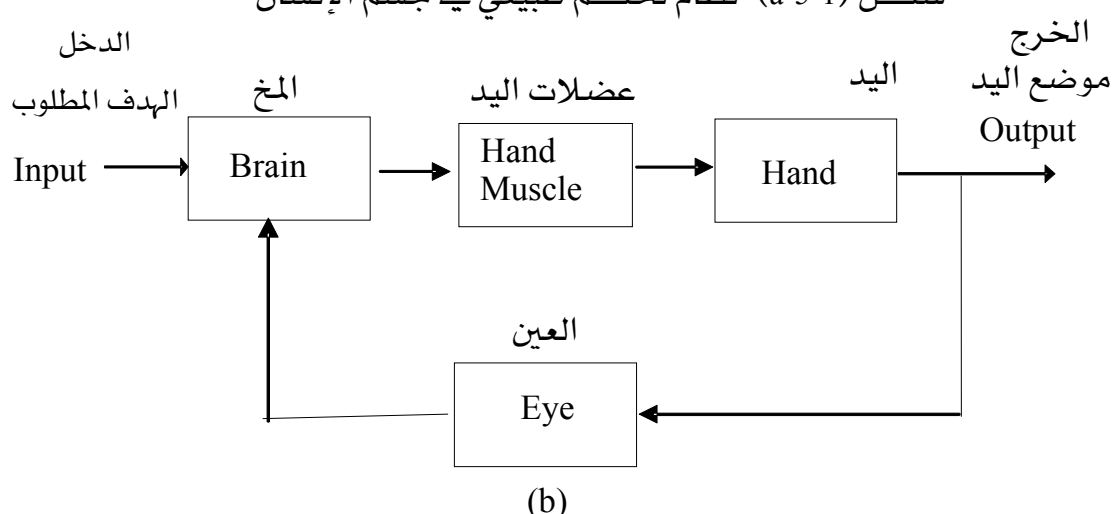
الشكل (b-4-1) يبين رسمًا تخطيطيًّا لنظام التحكم في منسوب المياه وهذا النظام ذو التغذية الخلفية يمثل كل جزء منه بصدق ويبين خطوط التوصيل والأسماء مسارات إشارات التحكم والدخل والخرج والتغذية الخلفية.

4.3.1 نظام تحكم بيولوجي (تحكم طبيعي في جسم الإنسان):

يبين هذا النظام في الشكل (a-5-1) والمطلوب فيه هو وصول اليد إلى التقاط شيء معين (هدف) يتم تحديد مكان الهدف في المخ ويقوم المخ بإرسال إشارات تحكم إلى اليد والعضلات حيث تقوم العضلات بتكبير إشارات التحكم وتتحرك اليد للوصول للهدف حيث تراقب العين حركة اليد وتغذى هذه المعلومة إلى المخ الذي تتم فيه مقارنة الخرج (وهو موضع اليد) بالدخل (وهو الهدف المطلوب الوصول إليه) وفي حالة وجود فرق بين الدخل والخرج يرسل المخ إشارات تحكم لليد عن طريق العضلات وتستمر هذه الحركة حتى يتم الوصول إلى الهدف. ويبين الشكل (b-5-1) رسمًا تخطيطيًّا لهذا النظام.



شكل (a-5-1) نظام تحكم طبيعي في جسم الإنسان

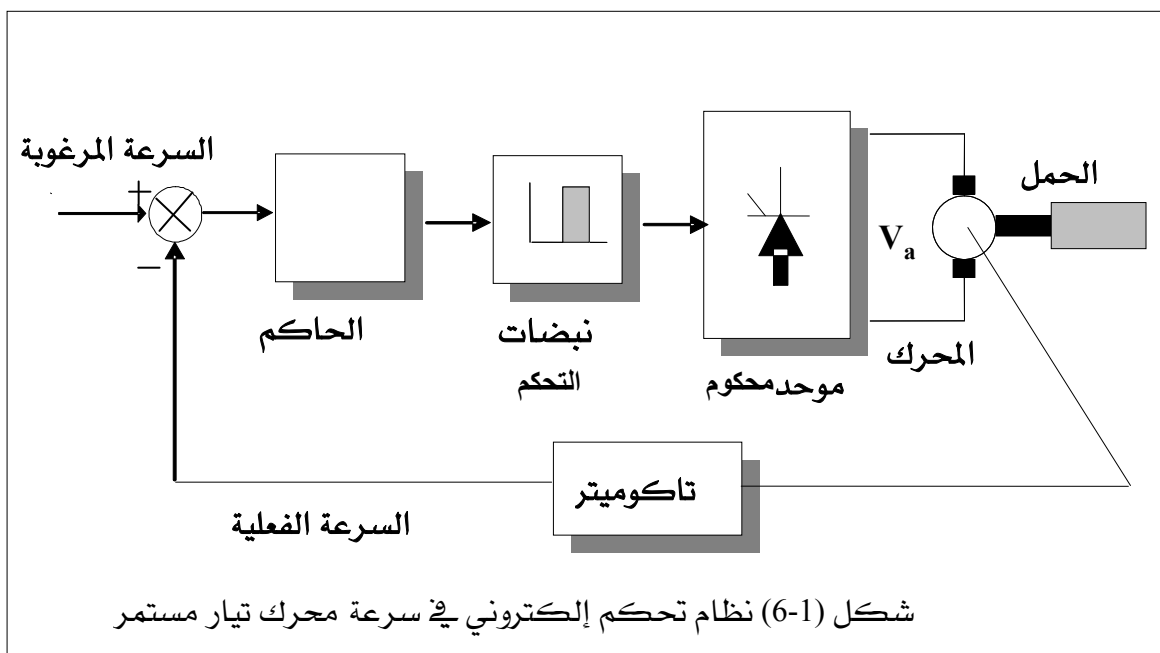


شكل (b-5-1) رسم تخطيطي لنظام تحكم طبيعي في جسم الإنسان



5.3.1 نظام تحكم إلكتروني في سرعة محرك تيار مستمر:

يبين الشكل (6-1) رسمًا مبسطًا لنظام تحكم إلكتروني في سرعة محرك تيار مستمر يدير حملاً ميكانيكيًا. ويقوم الحاكم بإنتاج نبضات Pulses بتوقيتات معينة لإشعال دوائر التاييرستور والتي تقوم بدورها بإنتاج جهد محكم يتم تطبيقه على أطراف دائرة المنتج لمحرك التيار المستمر V_a . هذا الجهد ناتج من توحيد التيار المتردد ثلاثي الطور عن طريق موحدات محكمه حيث يتم التحكم في قيمته عن طريق نبضات التحكم. ويتم قياس سرعة المحرك بواسطة مولد صغير (تاكوميتر) يولد جهدًا يتاسب مع السرعة ويتم مقارنة هذا الجهد بالدخل المقارن وهو عبارة عن جهد أيضًا يتاسب مع السرعة المطلوبة، والفرق بين الجهدتين يغذي الحاكم.



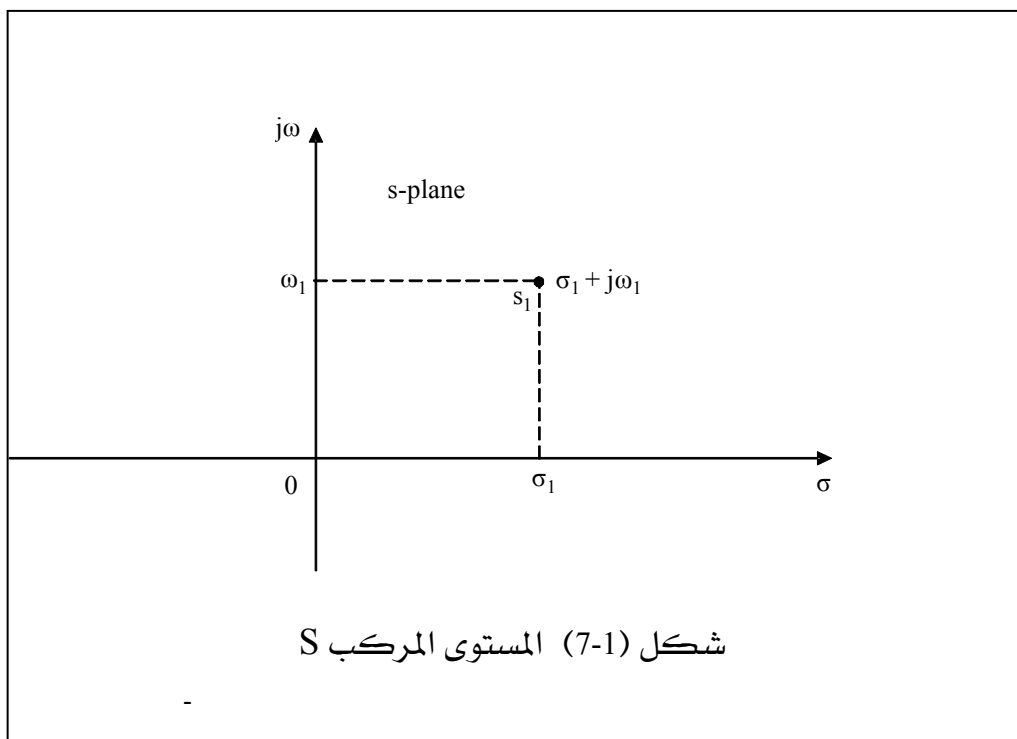
شكل (6-1) نظام تحكم إلكتروني في سرعة محرك تيار مستمر



4.1 تحويلات لا بلس Laplace Transformation

تحويلات لا بلس Laplace Transformations هي إحدى التحويلات الرياضية الخطية المعروفة والتي لها دوراً كبيراً في دراسات علم التحكم الآلي ولها العديد من التطبيقات في تصميم وتحليل أداء نظم التحكم. وتحتاج تحويلات لا بلس بسيطة حل المعادلات التفاضلية أو التفاضلية التكاملية والتي تستخدم عادة لوصف نظم التحكم والتي يصعب حلها مباشرة في نطاق الزمن t ولكن عند استخدام تحويلات لا بلس يتم تحويلها إلى نطاق افتراضي مركب يسمى نطاق لا بلس S فتحوّل إلى تعبيرات جبرية بسيطة في المتغير المركب S . بعد إجراء تحويلات لا بلس يتم فصل المتغير المطلوب في نطاق المتغير المركب S ثم بعد ذلك تستخدم ما تسمى تحويلات لا بلس العكسية والتي تعيد المتغير مرة أخرى إلى نطاقه الفعلي وهو نطاق الزمن.

ويتكون المتغير المركب من جزأين: أحدهما حقيقي Real Part ويرمز له بالرمز σ والأخر تخيلي Imaginary Part ويرمز له بالرمز $j\omega$. ويمكن تمثيله باستخدام الإحداثيات المتعامدة برسم الجزء الحقيقي على الإحداث الأفقي σ -axis بينما يرسم الجزء التخيالي على الإحداث الرأسية $j\omega$ -axis والذي يسمى المستوى المركب S (S-plane) كما هو مبين بالشكل (7-1).





1.4.1 تحويلات لا بلاس لبعض الدوال

مما سبق نعلم أن تحويلات لا بلاس هي إحدى الطرق الرياضية المهمة التي تساعد على دراسة أداء وتصميم نظم التحكم. وجدير بالذكر أن الخطوة الأولى عند دراسة نظم التحكم هي تحويل النظام إلى معادلات تقاضلية تصف النظام وترتبط متغيراته بعضها البعض. بعد ذلك يتم تحويل هذه المعادلات الرياضية التي تصف أنظمه التحكم من نطاق الزمن (t) والتي يمكن كتابتها كدالة في الزمن وتسمى $f(t)$ إلى نطاق لا بلاس والتي يمكن كتابتها كدالة في المتغير المركب (s) ويطلق عليها $F(s)$. ومن مميزات استخدام تحويلات لا بلاس في تحليل أداء نظم التحكم:

- تحويل الدوال الجيبية والآسيية إلى عبارات جبرية في المتغير المركب s .
- تحويل بعض العمليات مثل التكامل والتفاضل إلى عبارات جبرية بسيطة في المتغير المركب s .
- تحويل المعادلات التقاضلية إلى معادلات جبرية بسيطة في المتغير المركب s .

دعنا الآن نتعرف على بعض الرموز المستخدمة وهي:

$$f(t) = \text{هي الدالة في نطاق الزمن}$$

$$F(s) = \text{هي الدالة في نطاق المتغير المركب } s \text{ (التحويل اللا بلاسي لدالة الزمن } f(t)).$$

حيث أن

$$s = \sigma + j\omega = \text{هو المتغير المركب}$$

$$\mathcal{L} = \text{هو رمز للتحويل اللا بلاسي}$$

وبالتالي يتم الحصول على تحويل لا بلاس لدالة $f(t)$ بتطبيق المعادلة التالية:

$$F(s) = \mathcal{L}[f(t)] = \int_0^{\infty} f(t) e^{-st} dt \quad (1-1)$$

فيما يلي بعض الأمثلة التي توضح كيفية استخدام المعادلة السابقة لإيجاد تحويلات لا بلاس لبعض الدوال البسيطة

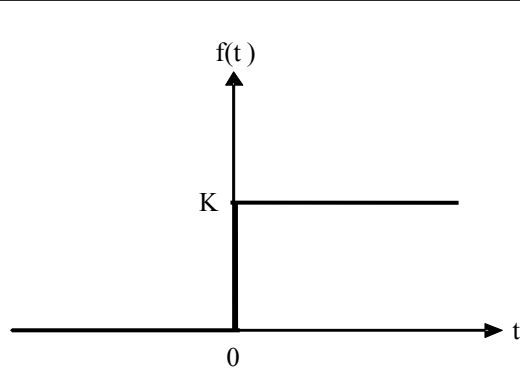
مثال 1-1

أوجد تحويل لا بلاس لدالة الخطوة التالية والتي خطوتها K

$$f(t) = \begin{cases} 0 & t < 0 \\ K & t \geq 0 \end{cases}$$



حيث K مقدار ثابت و الشكل (8-1) يوضح دالة الخطوة



شكل (8-1) دالة الخطوة

الحل:

باستخدام تحويلات لا بلاس نحصل على:-

$$\begin{aligned} \mathcal{L}[f(t)] &= \int_0^{\infty} K e^{-st} dt \\ F(s) &= \frac{K}{S} e^{-st} \Big|_0^{\infty} = -\frac{K}{S} [e^{-\infty} - e^{-0}] = \frac{K}{S} \\ \mathcal{L}[f(t)] &= F(s) = \frac{K}{S} \end{aligned}$$

ملاحظة

عندما تكون قيمة K مساوية للوحدة يطلق عليها دالة خطوة الوحدة unit step function ويكون التحويل اللا بلاسي لدالة خطوة الوحدة كما يلي

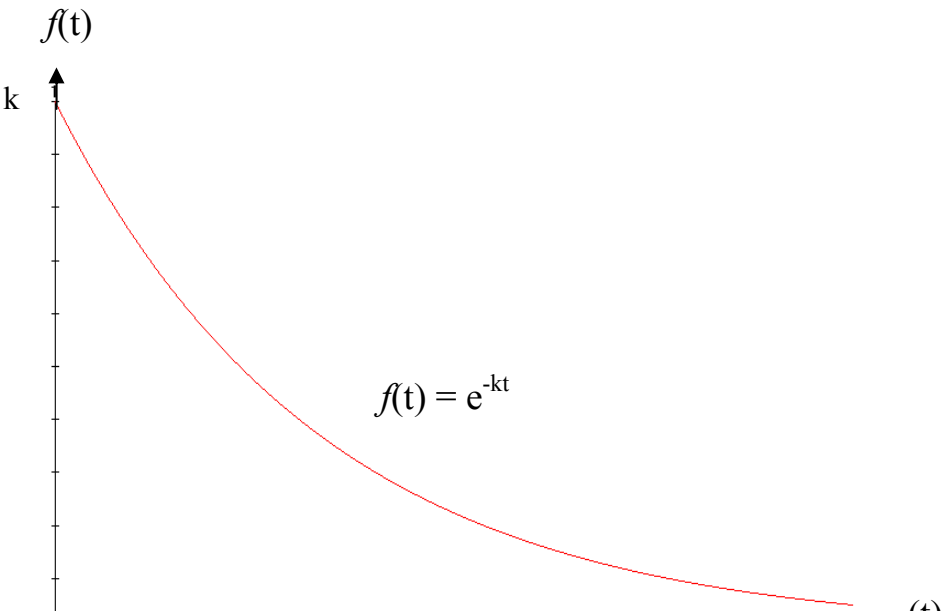
$$F(s) = \frac{1}{S}$$

مثال 2-1

أوجد التحويل اللا بلاسي للدالة التالية والتي تسمى بالدالة الآسية Exponential Function

$$f(t) = \begin{cases} 0 & t < 0 \\ e^{-kt} & t \geq 0 \end{cases}$$

حيث k مقدار ثابت. الشكل (9-1) يوضح الدالة الآسية



شكل (9-1) دالة آسيّة

الحل

بتطبيق تحويلات لا بلس على الدالة الأسيّة نحصل على:

$$\begin{aligned} \mathcal{L}[f(t)] &= \int_0^{\infty} e^{-kt} e^{-st} dt = \int_0^{\infty} e^{-(s+k)t} dt \\ F(s) &= -\frac{1}{S+K} e^{-(s+k)t} \Big|_0^{\infty} \\ &= -\frac{1}{S+K} [e^{-\infty} - e^{-0}] = \frac{1}{S+K} [0 - 1] \\ \mathcal{L}[f(t)] &= F(s) = \frac{1}{S+K} \end{aligned}$$

2.4.1 خصائص ونظريات تحويلات لا بلس Laplace Transform Theorems

فيما يلي بعض الخصائص الشائعة الاستخدام للتحويل اللا بلاسي:

- **نظرية التنااسب .**

وتتص على أن التحويل اللا بلاسي لدالة مضروبة في ثابت هو عبارة عن التحويل اللا بلاسي للدالة مضروباً في الثابت نفسه. أي أن



$$\mathcal{L}[k.f(t)] = k.F(s) \quad (2-1)$$

حيث أن k مقدار ثابت

• نظرية التجميع

وستستخدم للحصول على التحويل الابلاسي لمجموع أو الفرق بين دالتين في الزمن ويكتب على الصورة التالية:

$$\mathcal{L}[f_1(t) \pm f_2(t)] = F_1(s) \pm F_2(s) \quad (3-1)$$

• التحويل الابلاسي لتفاضل الدالة

بفرض أن $F(s)$ هي التحويل الابلاسي للدالة $f(t)$ فإن التحويل الابلاسي للمشتقة الأولى للدالة يعطى بالعلاقة التالية

$$\mathcal{L}\left[\frac{df(t)}{dt}\right] = SF(s) - f(0) \quad (4-1)$$

علماً بأن $f(0)$ هي القيمة الابتدائية للدالة $f(t)$ محسوبة عند $t=0$.

كذلك فإن التحويل الابلاسي لتفاضل الثاني للدالة هو:

$$\mathcal{L}\left[\frac{d^2 f(t)}{dt^2}\right] = S^2 F(s) - Sf(0) - f'(0) \quad (5-1)$$

ويكون التحويل الابلاسي للمشتقة التانية للدالة هو:

$$\mathcal{L}\left[\frac{d^n f(t)}{dt^n}\right] = S^n F(s) - \sum_{k=1}^n S^{n-k} f^{(k-1)}(0) \quad (6-1)$$

حيث أن

$f^{(k-1)}(0)$ هو التفاضل الـ $(k-1)$ محسوباً عند $t=0$

• التحويل الابلاسي لتكامل الدالة

التحويل الابلاسي لتكامل الأول للدالة $f(t)$ يعطي بالعلاقة التالية:

$$\mathcal{L}\left[\int f(t)dt\right] = \frac{F(s)}{S} + \frac{\left(\int f(t)dt\right)_{t=0}}{S} \quad (7-1)$$

حيث أن

$\left(\int f(t)dt\right)_{t=0}$ هو تكامل الدالة محسوباً عند $t=0$



• نظرية الإزاحة في مجال الزمن

$$\mathcal{L} [f(t - T)] = e^{-sT} F(s) \quad (8-1)$$

• نظرية الإزاحة في مجال S :

$$\mathcal{L} [e^{kt} f(t)] = F(s - k) \quad (9-1)$$

• تغيير سلم الزمن

$$\mathcal{L} [f(at)] = \frac{1}{a} F\left(\frac{s}{a}\right) \quad (10-1)$$

• نظرية القيمة الابتدائية

تستخدم هذه النظرية لإيجاد القيمة الابتدائية للدالة $f(t)$ والتي تسمى $f(0)$

$$f(0) = \lim_{t \rightarrow 0} f(t) = \lim_{s \rightarrow \infty} (SF(s)) \quad (11-1)$$

• نظرية القيمة النهائية

تستخدم هذه النظرية لإيجاد القيمة النهائية للدالة $f(t)$ والتي تسمى $f(\infty)$ وتعرف أيضاً بالقيمة النهائية للدالة أو قيمة الدالة عند الاستقرار.

$$f(\infty) = \lim_{t \rightarrow \infty} f(t) = \lim_{s \rightarrow 0} (SF(s)) \quad (12-1)$$

الجدول التالي يوضح تحويلات لا بلس للدوال المستخدمة بكثرة في دراسة نظم التحكم



	$f(t)$	$F(s)$
1	unit impulse $\delta(t)$	1
2	Unit step $1(t)$	$\frac{1}{s}$
3	t	$\frac{1}{s^2}$
4	e^{-at}	$\frac{1}{s + a}$
5	te^{-at}	$\frac{1}{(s + a)^2}$
6	$\sin \omega t$	$\frac{\omega}{s^2 + \omega^2}$
7	$\cos \omega t$	$\frac{s}{s^2 + \omega^2}$
8	$t^n \quad (n=1,2,3,\dots)$	$\frac{n!}{s^{n+1}}$
9	$t^n e^{-at} \quad (t=1,2,3,\dots)$	$\frac{n!}{(s + a)^{n+1}}$
10	$\frac{1}{b-a}(e^{-at} - e^{-bt})$	$\frac{1}{(s + a)(s + b)}$
11	$\frac{1}{b-a}(be^{-bt} - ae^{-at})$	$\frac{s}{(s + a)(s + b)}$
12	$\frac{1}{ab} \left[1 + \frac{1}{a-b} (be^{-at} - ae^{-bt}) \right]$	$\frac{1}{s(s + a)(s + b)}$
13	$e^{-at} \sin \omega t$	$\frac{\omega}{(s + a)^2 + \omega^2}$
14	$e^{-at} \cos \omega t$	$\frac{s + a}{(s + a)^2 + \omega^2}$
15	$\frac{1}{a^2}(at - 1 + e^{-at})$	$\frac{1}{s^2(s + a)}$
16	$\frac{\omega_n}{\sqrt{1-\zeta^2}} e^{-\zeta\omega_n t} \sin \omega_n \sqrt{1-\zeta^2} t$	$\frac{\omega_n^2}{s^2 + 2\zeta\omega_n s + \omega_n^2}$
17	$\frac{-1}{\sqrt{1-\zeta^2}} e^{-\zeta\omega_n t \sin(\omega_n \sqrt{1-\zeta^2} t - \phi)}$ $\phi = \tan^{-1} \frac{\sqrt{1-\zeta^2}}{\zeta}$	$\frac{s}{s^2 + 2\zeta\omega_n s + \omega_n^2}$

**مثال 3-1**

أوجد التحويل اللابلاسي للدوال الآتية:

$$1 - f(t) = 15$$

$$2 - f(t) = 5 + 4e^{-2t}$$

$$3 - f(t) = t - 2e^{-t}$$

$$4 - x(t) = e^{-5t} \sin 4t$$

$$5 - y(t) = 2t + \cos t$$

$$6 - h(t) = 100 + 14t + 8 \cos t$$

الحل:

بالنظر في الجدول (1-2) نجد الآتي:

$$1 - F(s) = \mathcal{L}[15] = \frac{15}{s}$$

$$2 - F(s) = \mathcal{L}[5 + 4e^{-2t}] = \mathcal{L}[5] + \mathcal{L}[4e^{-t}] = \frac{5}{s} + \frac{4}{s+2} = \frac{9s+10}{s(s+2)}$$

$$3 - F(s) = \mathcal{L}[t - 2e^{-t}] = \mathcal{L}[t] - \mathcal{L}[2e^{-t}] = \left(\frac{1}{s^2}\right) - \left(\frac{2}{s+1}\right) = \frac{(1+s-2s^2)}{s^2(s+1)}$$

$$4 - X(s) = \mathcal{L}[e^{-5t} \sin 4t] = \left[\frac{4}{(s+5)^2 + 4^2}\right] = \frac{4}{(s+5)^2 + 16}$$

$$5 - Y(s) = \mathcal{L}[2t + \cos 3t] = \frac{2}{s^2} + \frac{s}{s^2 + 9}$$

$$6 - H(s) = \mathcal{L}[100 + 14t + 8 \cos t] = \frac{100}{s} + \frac{14}{s^2} + \frac{8s}{s^2 + 1}$$

ملحوظه: لاحظ كيف استخدمت نظرية الإزاحة في s في الفقرة ٤



5.1 تحويلات لا بلاس العكسية Inverse Laplace Transformation

تستخدم تحويلات لا بلاس العكسية لاسترجاع الدالة من النطاق الافتراضي للمتغير المركب (S) إلى دالة في النطاق الفعلي وهو نطاق الزمن (t). باختصار هي العملية الرياضية التي يتم فيها تحويل الدالة ($f(t)$ ويرمز لهذه العملية بالرمز \mathcal{L}^{-1} :

$$f(t) = \mathcal{L}^{-1}[F(s)] = \frac{1}{2\pi j} \int_{c-j\infty}^{c+j\infty} F(s) e^{st} ds \quad (13-1)$$

حيث أن:

$F(s)$ هي التحويل اللا بلاسي للدالة $f(t)$

\mathcal{L}^{-1} هي أداة التحويل العكسي لا بلاس

مثال 4-1

$$F(s) = \frac{1}{s+10} \quad \text{أوجد تحويل لا بلاس العكسي للدالة}$$

الحل:

باستخدام جدول تحويل لا بلاس نجد أن التحويل رقم ٤ في الجدول (2-1) يتاسب مع هذا المثال حيث: $a=10$ فيكون:

$$f(t) = \mathcal{L}^{-1}\left[\frac{1}{s+10}\right] = e^{-10t}$$

مثال 5-1

$$F(s) = \frac{27}{s^2 + 81} \quad \text{أوجد تحويل لا بلاس العكسي للدالة}$$

الحل:

بالرجوع إلى جدول تحويلات لا بلاس نجد أن شكل الدالة المعطاة يتشابه مع التحويل رقم 6 في الجدول إذا أعدنا كتابة الدالة المعطاة لتصبح كالتالي

$$F(s) = 3 \frac{9}{s^2 + 9^2}$$



عندئذ نجد أنها عبارة عن التحويل اللابلاسي للدالة الجيبية مضروباً في عدد ثابت هو 3 حيث أن قيمة $\omega = 9$

$$f(t) = \mathcal{L}^{-1}[F(s)] = 3 \sin(9t)$$

1.5.1 طريقة الكسور الجزئية Partial Fraction

بالنسبة للدوال البسيطة يمكن إيجاد تحويلات لابلاس العكسية مباشرة من الجدول (1-2) بدلاً من إجراء التحويل باستخدام المعادلة مما يوفر كثيراً من الوقت. ولكن في معظم أنظمة التحكم الآلي تكون الدوال معقدة ومركبة ولا يمكن إيجاد تحويلها مباشرة من جدول تحويلات لابلاس. في هذه الحالة تقوم بتجزئة تلك الدوال المركبة إلى مجموعة دوال بسيطة يسهل إيجاد تحويلات لابلاس لها من الجدول. وتسمى الطريقة المستخدمة لتقسيم هذه الدوال إلى أجزاء بسيطة بطريقة الكسور الجزئية .Partial Fraction

دعنا نفترض أن دالة تحويل النظام تعطى بالمعادلة التالية بشرط أن تكون درجة البسط أقل

من درجة المقام أي أن $m < n$

$$F(s) = K \frac{(s - z_1)(s - z_2) \dots (s - z_m)}{(s - P_1)(s - P_2) \dots (s - P_n)} \quad (14-1)$$

حيث أن:

K مقدار ثابت.

هي مقادير ثابتة وتسمى أقطاب الدالة. (p_1, p_2, \dots, p_n)

هي مقادير ثابتة وتسمى أصفار الدالة. (z_1, z_2, \dots, z_m)

ويتم تجزئة الدالة السابقة طبقاً لنوعية أقطابها كما يلي.

الحالة الأولى: جميع أقطاب الدالة ذات قيم مختلفة.

إذا كانت قيم أقطاب الدالة ذات قيم مختلفة يكتب مفكوك الدالة على النحو التالي.

$$F(s) = \frac{A_1}{s + p_1} + \frac{A_2}{s + p_2} + \dots + \frac{A_n}{s + p_n} \quad (15-1)$$

ويتم حساب الثوابت A_1, A_2, \dots, A_n بالطرق التالية



$$\begin{aligned} A_1 &= \left| (s + p_1) \cdot F(s) \right|_{s=-p_1} \\ A_2 &= \left| (s + p_2) \cdot F(s) \right|_{s=-p_2} \\ A_n &= \left| (s + p_n) \cdot F(s) \right|_{s=-p_n} \end{aligned} \quad (16-1)$$

وبالتعويض عن قيم الثوابت A_1, A_2, \dots, A_n في المعادلة (15-1) والتي يمكن إيجاد التحويل الابلاسي العكسي لهذه الدالة كما يلي:

$$F(t) = L^{-1}[F(s)] = A_1 e^{-p_1 t} + A_2 e^{-p_2 t} + \dots + A_n e^{-p_n t} \quad (17-1)$$

مثال 6-1

أوجد تحويل لا بلاس العكسي للدالة التالية.

$$Y(s) = \frac{12}{s(s+1)(s+4)}$$

الحل:

باستخدام الكسور الجزئية تكتب الدالة السابقة على الصورة التالية

$$Y(s) = \frac{A_1}{s} + \frac{A_2}{s+1} + \frac{A_3}{s+4}$$

وتحسب قيم الثوابت A_1, A_2, A_3 كالتالي:

$$A_1 = \left| s \frac{12}{s(s+1)(s+4)} \right|_{s=0} = \frac{12}{(0+1)(0+4)} = \frac{12}{4} = 3$$

$$A_2 = \left| (s+1) \frac{12}{s(s+1)(s+4)} \right|_{s=-1} = \frac{12}{1(-1+4)} = \frac{12}{-3} = -4$$

$$A_3 = \left| (s+4) \frac{12}{s(s+1)(s+4)} \right|_{s=-4} = \frac{12}{-4(-4+1)} = \frac{12}{12} = 1$$

وبالتعويض عن هذه الثوابت في المعادلة الأولى نحصل على:

$$Y(s) = \frac{3}{s} - \frac{4}{s+1} + \frac{1}{s+4}$$

$$y(t) = L^{-1}[Y(s)] = L^{-1}\left[\frac{3}{s}\right] - L^{-1}\left[\frac{4}{s+1}\right] + L^{-1}\left[\frac{1}{s+4}\right]$$

$$y(t) = 3 - 4e^{-t} + e^{-4t}$$



الحالة الثانية: أقطاب الدالة متكررة

إذا كان أحد أقطاب الدالة ذات قيم متكررة. بفرض أن أحد الأقطاب متكرر عدد مرات k فان مفكوك الدالة يكتب على الصورة التالية:

$$F(s) = \frac{A_k}{(s + p)^k} + \frac{A_{k-1}}{(s + p)^{k-1}} + \dots + \frac{A_1}{(s + p)} \quad (18-1)$$

و يتم حساب الثوابت على النحو التالي.

أولاً: نوجد الثابت A_k باستخدام القاعدة التالية

$$A_k = (s + p)^k \cdot F(s) \Big|_{s=-p} \quad (19-1)$$

ثانياً: نوجد باقي الثوابت باستخدام القاعدة التالية

$$A_{k-r} = \frac{1}{r!} \frac{d^r}{ds^r} \left((s + p)^k \cdot F(s) \right) \Big|_{s=-p} \quad (20-1)$$

حيث أن r تأخذ قيم 1 و 2 و 3 و (k-1)

مثال 8-1

أوجد تحويل لا بلاس العكسي للدالة التالية

$$F(s) = \frac{s^2 + 2s + 3}{(s+1)^3}$$

الحل

الدالة ذات ثلاثة أقطاب متساوية (متكررة) لذا يكتب مفكوك الدالة كما يلي:

$$F(s) = \frac{A_3}{(s+1)^3} + \frac{A_2}{(s+1)^2} + \frac{A_1}{(s+1)}$$

وتوجد الثوابت من العلاقات السابقة كما يلي:

$$A_3 = (s + 1)^3 \cdot \frac{s^2 + 2s + 3}{(s+1)^3} \Big|_{s=-1} = (-1)^2 + 2(-1) + 3 = 2$$

$$A_2 = \frac{1}{1!} \frac{d^1}{ds^1} \left((s + 1)^3 \cdot \frac{s^2 + 2s + 3}{(s+1)^3} \right) \Big|_{s=-1} = 2s + 2 \Big|_{s=-1} = 0$$

$$A_1 = \frac{1}{2!} \frac{d^2}{ds^2} \left((s + 1)^3 \cdot \frac{s^2 + 2s + 3}{(s+1)^3} \right) \Big|_{s=-1} = \frac{1}{2} 2 \Big|_{s=-1} = 1$$



بعد التعويض بقيم الثوابت في مفكوك الدالة نحصل على.

$$F(s) = \frac{2}{(s+1)^3} + \frac{1}{(s+1)}$$

باستخدام تحويلات لا بلاس العكسيّة وتطبيق نظرية الإزاحة في S نحصل على

$$f(t) = t^2 e^{-t} + e^{-t} = e^{-t}(t^2 + 1)$$

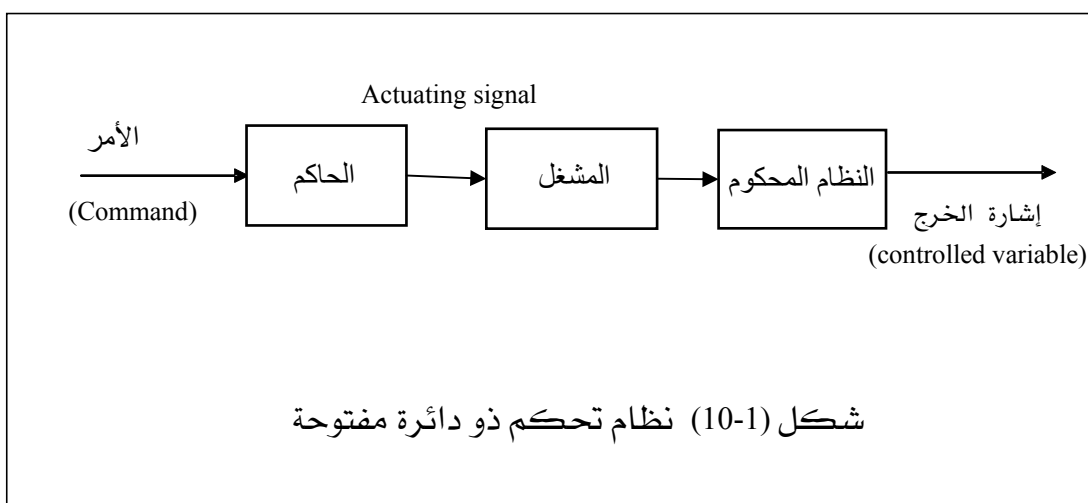
6.1 تصنیف أنظمة التحكم الآلي Classification of Control Systems

تقسم أنظمة التحكم إلى نوعين أساسيين هما :

- نظم التحكم ذات الحلقة المفتوحة Open loop control system
- نظم التحكم ذات الحلقة المغلقة Closed loop control system

1.6.1 أنظمة التحكم ذات الحلقة المفتوحة Open Loop Control Systems

في أنظمة التحكم ذات الحلقة المفتوحة يتم توليد إشارة التحكم بمعزل عن إشارة الخرج. وبالتالي فإن إشارة الخرج ليس لها تأثير على إشارة التحكم ولذلك فان أنظمة التحكم ذات الحلقة المفتوحة لا تحتوي على عنصر تغذية خلفية ولا تحتوي على عنصر مقارنة بين إشارتي الدخل والخرج.

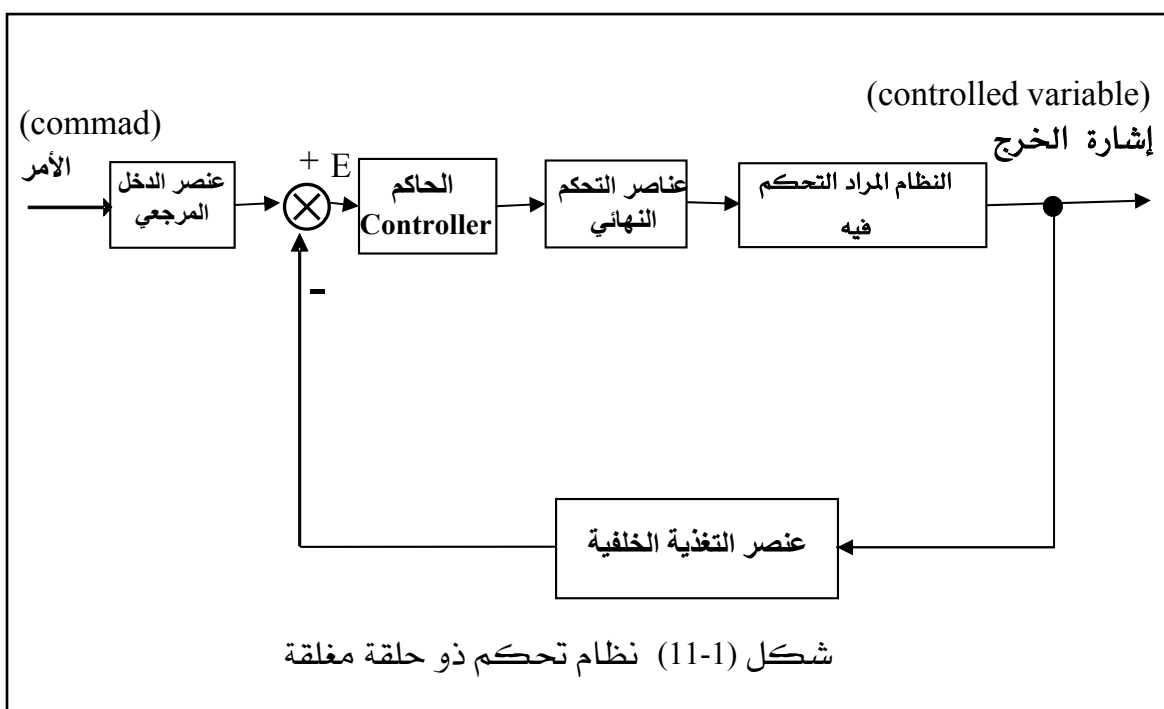




الشكل (10-1) يبين العلاقة بين الخرج والدخل لهذه الأنظمة. وكمثال على أنظمة التحكم ذات الدائرة المفتوحة الفسالة الكهربائية التي تعمل بالتوقيت الزمني حسب برنامج معين وفيها لا يتم قياس الخرج وهو درجة نظافة الملابس وكمثال آخر لذلك إشارات المرور وتعتمد دقة هذه الأنظمة على معايرتها و الخبرة بتشغيلها وهي لا تعمل بدقة حين تعرضاً إلى أي تغيرات في الجهد ولا توجد اضطرابات داخلية أو خارجية في النظام المراد التحكم فيه.

2.6.1 أنظمة التحكم ذات الحلقة المغلقة Closed-loop Control Systems

في نظم التحكم ذات الحلقة المغلقة يتم توليد إشارة التحكم بعد مقارنة إشارة الخرج والتي تعبر عن القيمة الفعلية للكمية المراد التحكم فيها مع إشارة دخل مرجعي (تسمى أيضاً نقطة الضبط) حيث تمثل القيمة المرغوبة للخرج . وبالتالي فإن إشارة التحكم تتغير إذا ما حدث أي تغيير في خرج النظام أو في محطيه أو في معاملاته. لذلك فان أنظمة التحكم ذات الحلقة المغلقة تحتوي على عنصر تغذية خلفية بالإضافة إلى وجود عنصر مقارنة ويطلق عليها أحياناً نظم التحكم ذات التغذية الخلفية Feedback Control System.





ويبيّن شكل (11-1) الرسم التخطيطي block diagram لنظام تحكم ذو حلقة مغلقة، وفيه يتم توليد إشارة الخطأ E وهي الفرق بين إشارتي الدخل المرجعي والتغذية الخلفية والتي تكون بمثابة إشارة الدخل للحاكم controller والذي بدوره يعطي إشارة التحكم للمشغل ومن ثم النظام المراد التحكم فيه plant للعمل على تقليل قيمة الخطأ وضبط الخرج عند القيمة المطلوبة. غالباً ما يكون عنصر التغذية الخلفية عبارة عن حساس يقوم بتحويل الخرج إلى إشارة تماثل إشارة الدخل في الوحدات والكميات حتى يمكن مقارنة الدخل والخرج في عنصر المقارنة. ويطلق على إشارة الدخل هنا بالدخل المرجعي حيث يتم مقارنته مع إشارة التغذية الخلفية التي تعبر عن القيمة الفعلية للخرج. وقد يكون المقارن عبارة عن عنصر الكتروني مثل مكبر العمليات Operational Amplifier أو عناصر مقارنة ميكانيكية وغيرها.

3.6.1 مقارنة بين أنظمة التحكم ذات الحلقة المفتوحة والمغلقة

- أ- تتميز أنظمة التحكم ذات الحلقة المغلقة باستخدام التغذية الخلفية التي تجعل النظام المتحكم فيه قليل الحساسية للاضطرابات الخارجية والتغيرات الداخلية في معاملات النظام. وعلى ذلك فإنه يمكن الحصول على الدقة المرغوبة في مخرجات النظام، وهذا غير ممكّن عند استخدام نظم التحكم ذي الحلقة المفتوحة
- ب- ومن ناحية استقرار وتوازن الأنظمة فإن التحكم ذات الحلقة المفتوحة يعتبر أسهل في بنائه عن التحكم ذي الحلقة المغلقة، حيث يتطلب التحكم ذات الحلقة المغلقة تصميماً خاصاً للحفاظ على الاستقرار مع الدقة.
- ج- يستخدم نظام التحكم ذات الحلقة المفتوحة عندما يكون الدخل معروفاً ومحدداً وليس هناك أية اضطرابات متوقعة. وتظهر أهمية وأفضلية نظم التحكم ذات الحلقة المغلقة عند احتمال وجود اضطرابات غير محددة أو تغيرات غير معروفة في معاملات عناصر النظام أو محیطه. في بعض الحالات يستخدم التحكم ذات الحلقة المفتوحة لتقليل النفقات، وفي حالات أخرى يكون الجمع بين التحكم ذي الحلقة المفتوحة والتحكم ذات الحلقة المغلقة أقل تكلفة مع إعطاء نتائج وخصائص مرضية لنظام التحكم.



7.1 دالة التحويل Transfer Function

دالة التحويل أو النقل Transfer Function تعرف بأنها النسبة بين التحويل اللابلاسي للخرج إلى التحويل اللابلاسي للدخل عندما تكون جميع القيم الابتدائية Initial Conditions مساوية للصفر (منعدمة). وتكتب الصورة الرياضية لدالة التحويل (النقل) على النحو التالي:

$$\frac{\text{التحويل اللابلاسي لإشارة الخرج}}{\text{التحويل اللابلاسي لإشارة الدخل}} = \text{دالة التحويل}$$

7.1.1 إيجاد دالة التحويل من المعادلة التفاضلية

نفرض أن نظام تحكم مُعرف بالمعادلة التفاضلية التالية

$$\begin{aligned} a_n \frac{d^n c(t)}{dt^n} + a_{n-1} \frac{d^{n-1} c(t)}{dt^{n-1}} + a_{n-2} \frac{d^{n-2} c(t)}{dt^{n-2}} + \dots + a_1 \frac{dc(t)}{dt} + a_o c(t) \\ = b_m \frac{d^m r(t)}{dt^m} + b_{m-1} \frac{d^{m-1} r(t)}{dt} + b_{m-2} \frac{d^{m-2} r(t)}{dt} + \dots + b_1 \frac{dr(t)}{dt} + b_o r(t) \quad (n \geq m) \end{aligned} \quad (21-1)$$

حيث أن:

c = output of the system خرج النظام

r = input of the system دخل النظام

وبأخذ التحويل اللابلاسي لطريق المعادلة السابقة مع الأخذ في الاعتبار أن جميع القيم الابتدائية مساوية للصفر نحصل على:

$$\begin{aligned} (a_n s^n + a_{n-1} s^{n-1} + a_{n-2} s^{n-2} + \dots + a_1 s + a_o) C(s) \\ = (b_m s^m + b_{m-1} s^{m-1} + b_{m-2} s^{m-2} + \dots + b_1 s + b_o) R(s) \quad (22-1) \end{aligned}$$

من تعريف دالة التحويل نجد أن

$$T.F. = G(s) = \frac{C(s)}{R(s)} = \frac{b_m s^m + b_{m-1} s^{m-1} + b_{m-2} s^{m-2} + \dots + b_1 s + b_o}{a_n s^n + a_{n-1} s^{n-1} + a_{n-2} s^{n-2} + \dots + a_1 s + a_o} \quad (23-1)$$

**مثال 8-1**

أوجد دالة نقل النظام الذي يمثله النموذج الرياضي الآتي:

$$0.1 c''(t) + 2c'(t) + c(t) = 4r(t)$$

الخطوة الأولى : نوجد التحويل اللابلاسي لطريق المعادلة التفاضلية للنظام باعتبار أن الظروف الابتدائية مساوية للصفر فنحصل على

$$0.1S^2C(s) + 2SC(s) + C(s) = 4R(s)$$

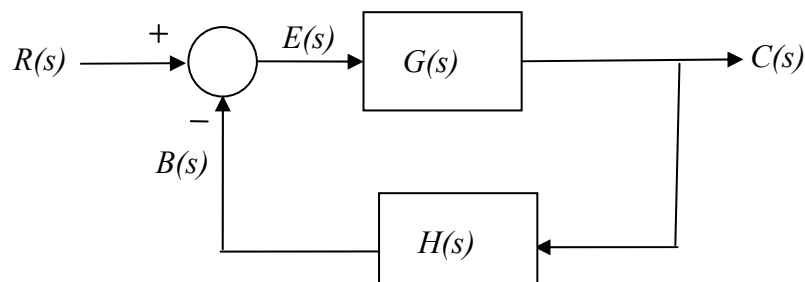
الخطوة الثانية : خذ $C(s)$ كعامل مشترك في الطرف الأيسر من المعادلة نحصل على
 $(0.1S^2 + 2S + 1)C(s) = 4R(s)$

الخطوة الثالثة : أوجد دالة نقل النظام بقسمة تحويلات لا بلاس للخرج $C(s)$ على تحويلات لا بلاس للدخل $R(s)$.

$$T.F.(s) = \frac{C(s)}{R(s)} = \frac{4}{0.1S^2 + 2S + 1}$$

2.7.1 إيجاد دالة التحويل لحلقة تغذية خلفية نموذجية

الشكل (12-1) يوضح مخططًا صندوقيًا لحلقة تغذية خلفية نموذجية. دعنا الآن نوجد دالة التحويل لحلقة تغذية خلفية نموذجية باتباع الخطوات التالية.



شكل (12-1) حلقة تغذية خلفية نموذجية



بالرجوع إلى الشكل يمكننا كتابة العلاقات التالية:

$$C(s) = E(s)G(s) \quad \text{I}$$

$$E(s) = R(s) - B(s) \quad \text{II}$$

$$B(s) = C(s)H(s) \quad \text{III}$$

بالت遇ويض من المعادلة III في المعادلة II ثم تعويض الناتج في المعادلة I نحصل على

$$C(s) = [R(s) - C(s)H(s)]G(s)$$

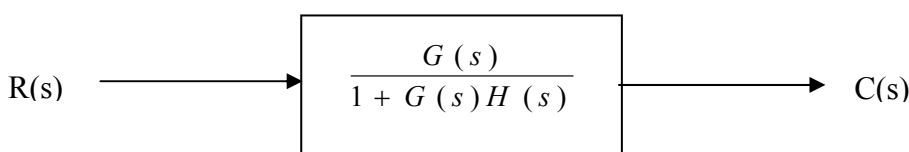
بإعادة ترتيب المعادلة السابقة نحصل على

$$C(s)[(1+G(s)H(s))] = R(s)G(s)$$

بقسمة C(s) على R(s) نحصل على دالة نقل الحلقة المغلقة المثلية

$$TF(s) = \frac{C(s)}{R(s)} = \frac{G(s)}{1 + G(s)H(s)} \quad (24-1)$$

بناءً على ما وصلنا إليه يمكننا تبسيط المخطط الصندوقي للنظام المثالى المغلق ليصبح كما يلى:-



دالة النقل لحلقة تغذية خلفية نموذجية

علماً بأن

$G(s)$ تسمى دالة تحويل المسار الأمامي forward path transfer function وتعطى بالعلاقة التالية

$$G(s) = \frac{C(s)}{E(s)}$$

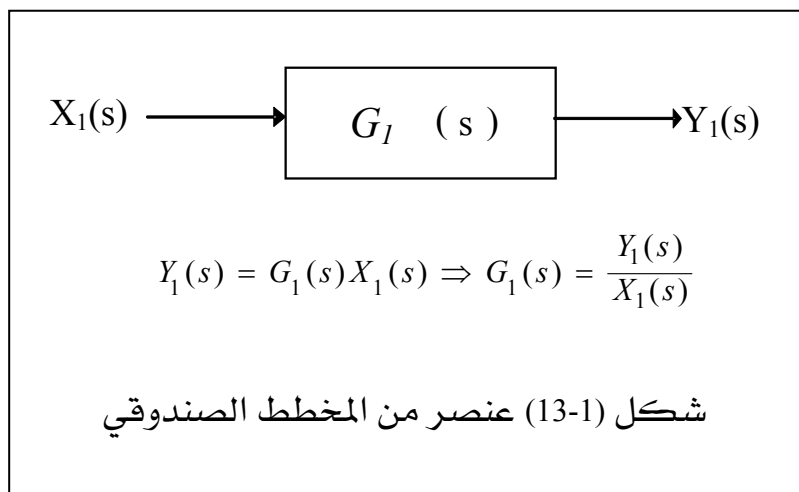
$H(s)$ تسمى دالة تحويل التغذية الخلفية feedback transfer function وتعطى بالعلاقة التالية

$$H(s) = \frac{B(s)}{C(s)}$$



8.1 المخطط الصندوقي Block Diagram

المخطط الصندوقي Block diagram هو أحد الطرق البسيطة التي تستخدم لممثل نظم التحكم باستخدام المخططات (الرسم التخطيطي) والتي تيسر فهم مكونات وعناصر النظام مع توضيح وظيفة كل عنصر من هذه المكونات وكيفية سريان الإشارات المختلفة بالإضافة إلى العلاقة بين العناصر بعضها البعض. عند تمثيل النظام بالمخطط الصندوقي يتم استخدام صناديق blocks كل صندوق يعبر عن عنصر من عناصر النظام وعادة تكتب داخل كل صندوق دالة التحويل transfer function والتي تحدد علاقة إشارة دخل العنصر بإشارة خرجه. كما تستخدم الخطوط المستقيمة لتوضيح مسارات الإشارات وأسهم لبيان اتجاه سريان الإشارات المختلفة. الشكل (13-1) يوضح كيفية تمثيل أحد عناصر النظام كجزء من المخطط الصندوقي.



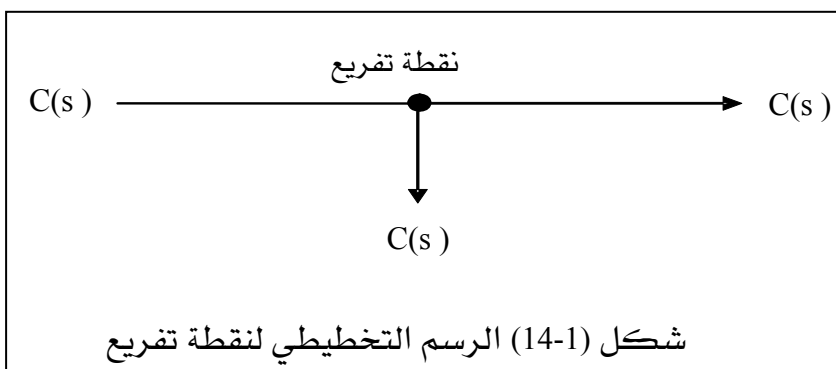
وتتميز طريقة استخدام المخطط الصندوقي لتمثيل أنظمة التحكم بأنه يمكن الحصول على الرسم التخطيطي الكامل لنظام التحكم بتوصيل الصناديق الممثلة للمكونات حسب سريان إشارات التحكم. ومن ثم فإنه يمكن تحديد ومعرفة تأثير كل جزء على خصائص نظام التحكم الكلي. وبصفة عامة فإنه قد يكون من الأسهل متابعة طريقة عمل نظام التحكم بفحص المخطط الصندوقي للنظام بدلاً من فحص النظام الحقيقي نفسه. ويحتوي الرسم التخطيطي للمخطط الصندوقي على السلوك الديناميكي للأنظمة وليس على تركيبها الطبيعي. وفي النهاية يتم اختصار المخطط الصندوقي كله إلى دالة تحويل شاملة تعبر عن العلاقة بين دخل وخرج النظام ككل.



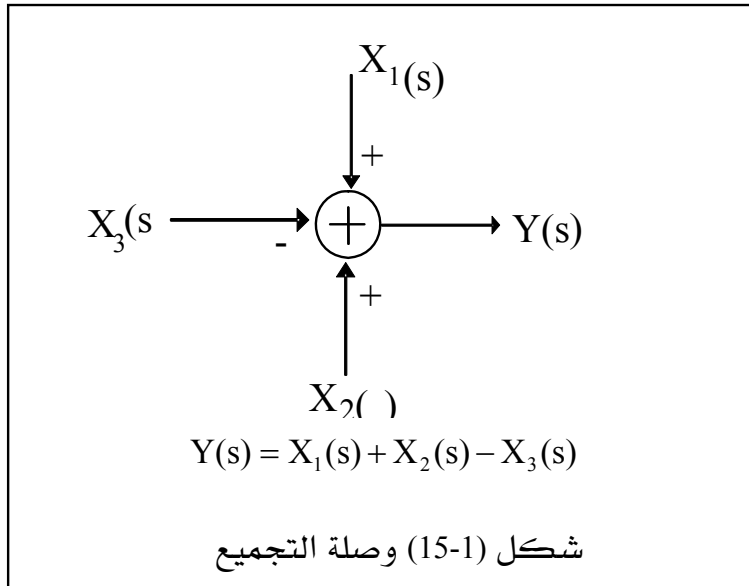
1.8.1 عناصر المخطط الصندوقي Elements of Block Diagram

من توضيحتنا السابق للمخطط الصندوقي نجد أنه يتكون من مجموعة من الصناديق ترتبط بعضها البعض بخطوط مستقيمة ونقاط تفريع ووصلات تجميع.

- أ) الصناديق Blocks:** تستخدم الصناديق لتمثيل عناصر النظام
- ب) نقاط التفريع Branch points:** عند نقطة التفريع تتوجه الإشارة إلى اتجاهين أو أكثر كما هو مبين بالشكل (14-1). لاحظ أن كل إشارة من الإشارات الخارجية من نقطة التفريع لها نفس قيمة ووحدات إشارة الدخل لنفس النقطة.



- ج) وصلات التجميع Summing Junctions:** تستخدم وصلات التجميع لإيجاد المجموع الجبري للإشارتين أو أكثر (الإيجاد مجموعهم أو الفرق بينهم) كما هو مبين في الشكل (15-1). ويعتبر المقارن أحد وصلات التجميع التي تعمل على توفير الفرق بين إشارتي الدخل المرجعي وإشارة الخرج.



د) الخطوط المستقيمة Straight Line: تستخدم الخطوط المستقيمة للربط بين عناصر النظام المختلفة كما أنها توضح المسارات المختلفة لسريان الإشارات.

هـ) الأسماء Arrows: تستخدم الأسهم لتوضيح اتجاه سريان الإشارات. ولبناء المخطط الصندوقى نتبع الخطوات التالية:

- يتم كتابة المعادلات التفاضلية أو الجبرية التي تصف أجزاء النظام كل جزء على حدة.
- يتم إجراء التحويل اللابلاسي لهذه المعادلات مع الأخذ في الاعتبار أن جميع القيم الابتدائية تكون صفرأً.
- يتم إيجاد دالة التحويل التي تصف كل جزء من أجزاء النظام.
- يتم رسم صندوق ليمثل كل جزء مع كتابة دالة التحويل الخاصة به بداخله مع بيان إشارات الدخول والخرج لكل صندوق .
- يتم تجميع هذه الصناديق عن طريق توصيلها مع بعضها بأسهم لبيان إشارات الدخول والخرج لجميع الأجزاء للحصول على الرسم التخطيطي النهائي للنظام .



2.8.1 قواعد تبسيط المخطط الصندوقى Block Diagram Simplifications

في أنظمة التحكم الكبيرة يوجد العديد من العناصر التي تتصل مع بعضها على التتابع (التوالى) أو التي تتصل على التوازي بالإضافة إلى عناصر للتغذية الخلفية مما قد يتسبب في وجود تداخلات عديدة بين عناصر النظام مما نحتاج إلى فك هذه التداخلات حتى يتسعى لنا إيجاد دالة التحويل أو العلاقة بين إشارات الدخول والخرج ؛ لذا يجب الإلمام بالقواعد التي تيسر عملية تبسيط المخططات الصندوقية والتي تمثل في نقل نقطة تفريع أو وصلة تجميع أمام أو خلف صندوق وذلك لفك التداخلات. الجدول التالي يوضح بالتفصيل القواعد المستخدمة لاختصار أو تبسيط المخططات الصندوقية لنظم التحكم حيث يوضح الرسم التخطيطي الأصلي والمكافئ له في كل حالة. ويلاحظ أن الحرف G استخدم لتمثيل دالة التحويل للعنصر H للتغذية العكسية أما الأحرف X, Y, Z ترمز إلى أي إشارات دالة في المتغير S .



الإجراء		العلاقة الرياضية التي تربط الدخل بالخرج	المخطط الأصلي	المخطط المكافى
1	عنصران متصلان على التوالى	$Y = (G_1 G_2)X$	$X \rightarrow G_1 \rightarrow G_2 \rightarrow Y$	$X \rightarrow G_1 G_2 \rightarrow Y$
2	عنصران متصلان على التوازي	$Y = G_1 X \pm G_2 X$		$X \rightarrow G_1 \pm G_2 \rightarrow Y$
3	حذف مستطيل (عنصر) من أحد المسارات الأمامية	$Y = G_1 X \pm G_2 X$		$X \rightarrow G_2 \rightarrow \frac{G_1}{G_2} \rightarrow G_1 \pm G_2 \rightarrow Y$
4	نظام تحكم ذو حلقة تغذية مغلقة	$Y = G_1(X \mp G_2)Y$		$X \rightarrow \frac{G_1}{1 \pm G_1 G_2} \rightarrow Y$
5	حذف مستطيل (عنصر) من أحد المسارات الخلفية	$Y = G_1(X \mp G_2)Y$		$X \rightarrow \frac{1}{G_2} \rightarrow G_1 \mp G_1 G_2 \rightarrow Y$

قواعد تحويل المخطط الصندوقى (يتبع)

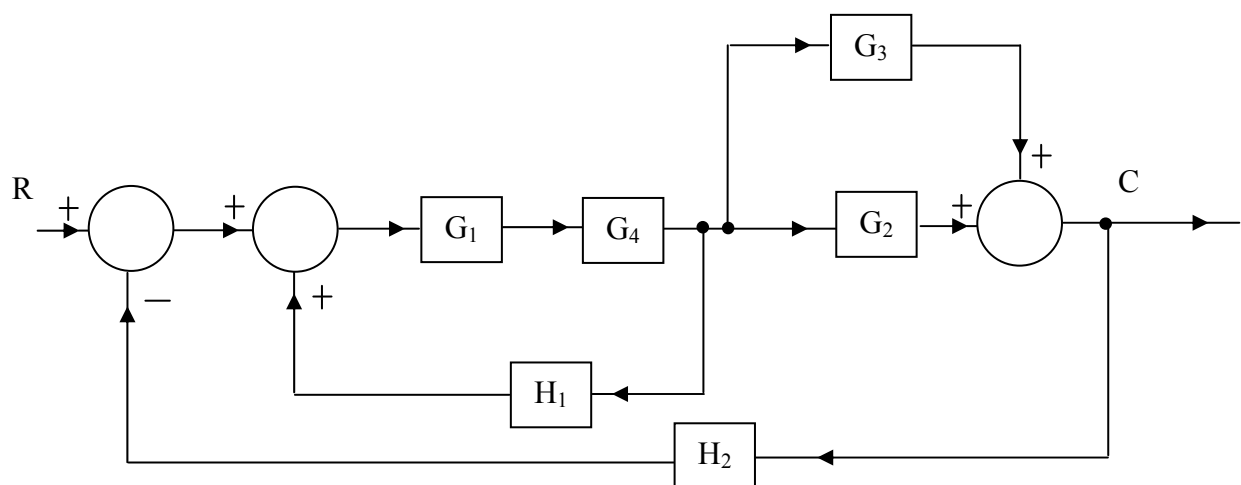


تابع قواعد تحويل المخطط الصندوقى

6	نقل وصلة تجميع أمام صندوق	$Z = GX \pm Y$		
7	نقل وصلة تجميع خلف صندوق	$Z = G(X \pm Y)$		
8	نقل نقطة تفريع أمام صندوق	$Y = GX$		
9	نقل نقطة تفريع خلف صندوق	$Y = GX$		

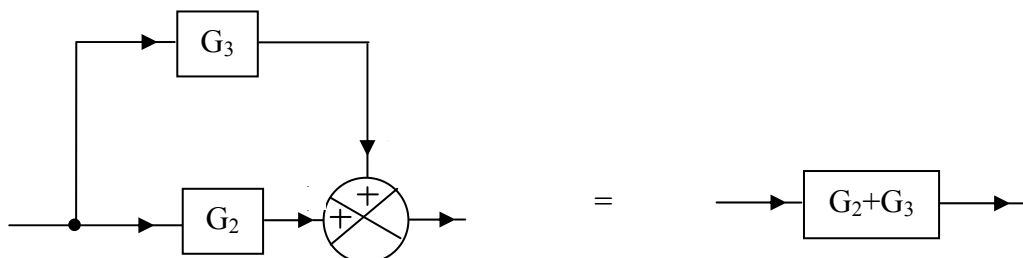
مثال: 9-1

بسط المخطط الصندوقى الآتى إلى أبسط صورة ثم اوجد دالة التحويل الكلية للنظام.

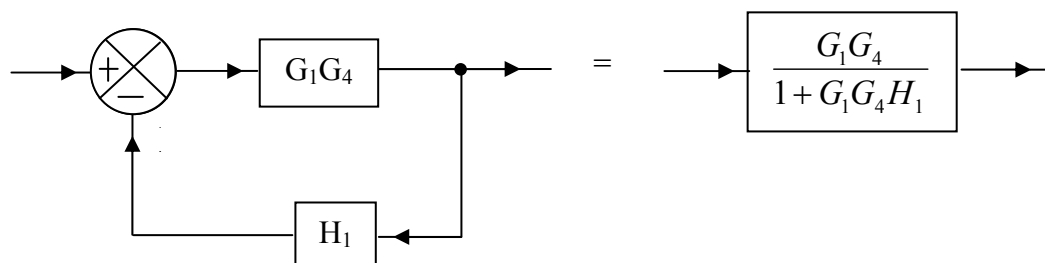




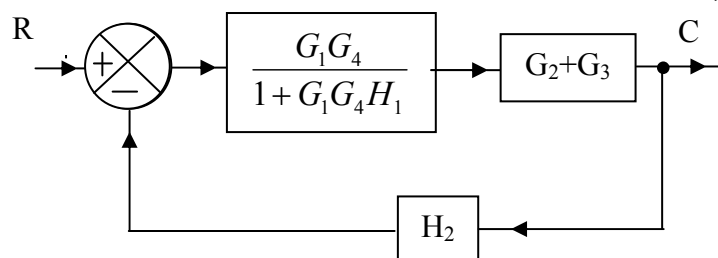
الحل:

١- استبدل عنصري التوالى G_1, G_4 بعنصر مكافئ كمایلی:٢- استبدل عنصري التوازي G_3, G_2 بعنصر مكافئ كمایلی:

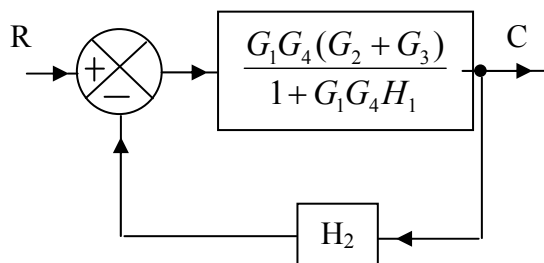
٣- استبدل نظام الحلقة المغلقة المثالى بعنصر مكافئ كمایلی:



٤- مما سبق تصبح الدائرة كما يلي



٥- استبدل عنصري التوالى بعنصر مكافئ لتصبح الدائرة كما يلي





الشكل السابق عبارة عن المخطط الصندوقي لنظام تحكم مغلق مثالى دالة نقله تعطى كما يلى

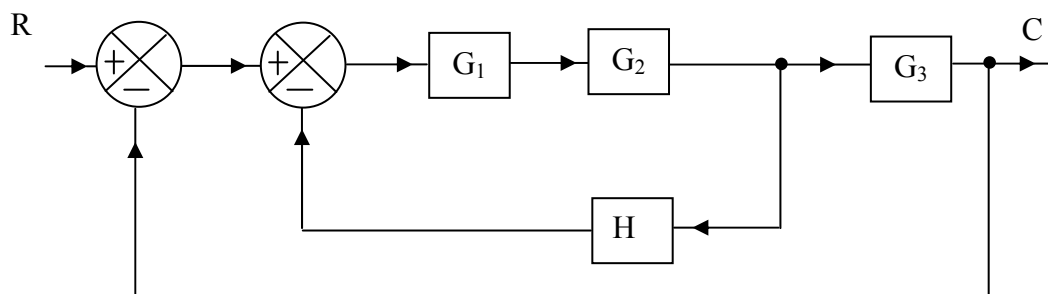
$$G(s) = \frac{C}{R} = \frac{\frac{G_1 G_4 (G_2 + G_3)}{1 + G_1 G_4 H_1}}{1 + \frac{G_1 G_4 (G_2 + G_3) H_2}{1 + G_1 G_4 H_1}}$$

والتي يتم تبسيطها بضرب كلًا من البسط والمقام في $(1 + G_1 G_4 H_1)$ لتصبح دالة التحويل لنظام كما يلى

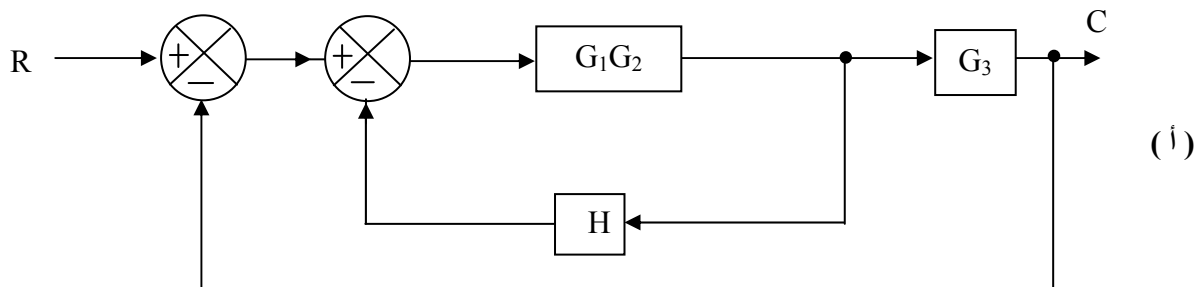
$$G(s) = \frac{G_1 G_4 (G_2 + G_3)}{1 + G_1 G_4 H_1 + G_1 G_4 (G_2 + G_3) H_2}$$

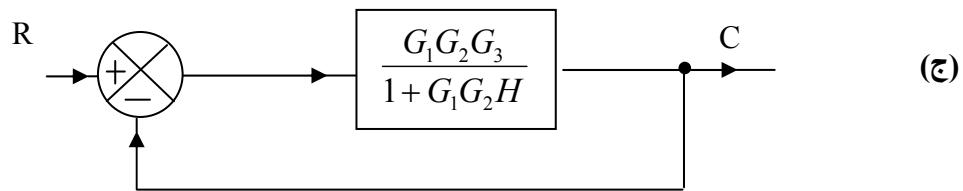
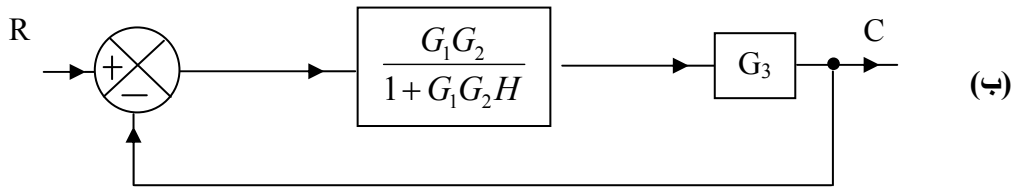
مثال 10-1

استخدم قواعد تبسيط واختصار المخططات الصندوقية لإيجاد دالة النقل لنظام التحكم ذو المخطط الصندوقي التالي.



الحل: باستخدام نفس القواعد السابقة نوجد دالة التحويل





(د)

$$\frac{G_1 G_2 G_3}{1 + G_1 G_2 H + G_1 G_2 G_3}$$

من الشكل (ج) نوجد دالة التحويل وهي:

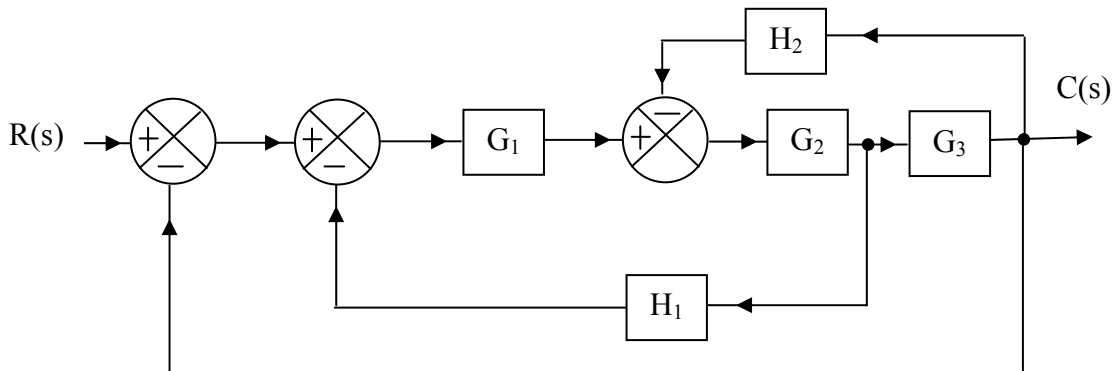
$$\frac{C(s)}{R(s)} = \frac{\frac{G_1 G_2 G_3}{1 + G_1 G_2 H}}{1 + \frac{G_1 G_2 G_3}{1 + G_1 G_2 H}}$$

بضرب كلًا من البسط والمقام في $(1 + G_1 G_2 H)$ نحصل على:

$$\frac{C(s)}{R(s)} = \frac{G_1 G_2 G_3}{1 + G_1 G_2 H + G_1 G_2 G_3}$$

مثال 11-1

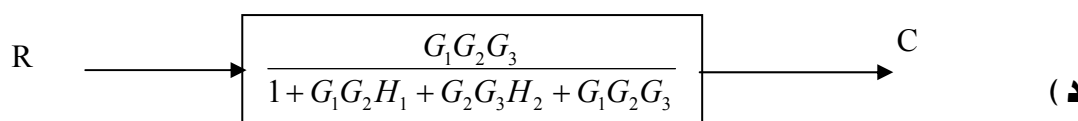
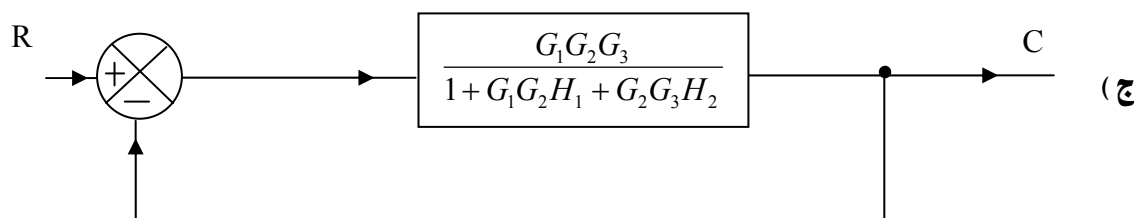
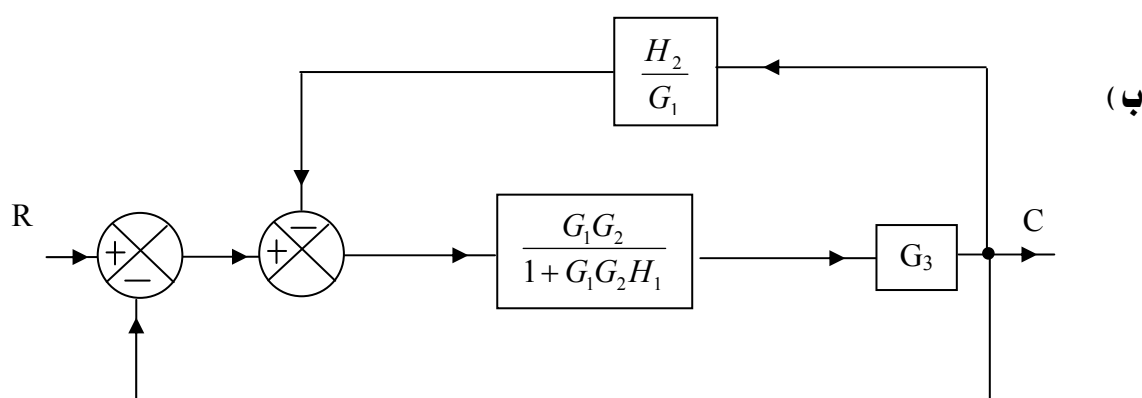
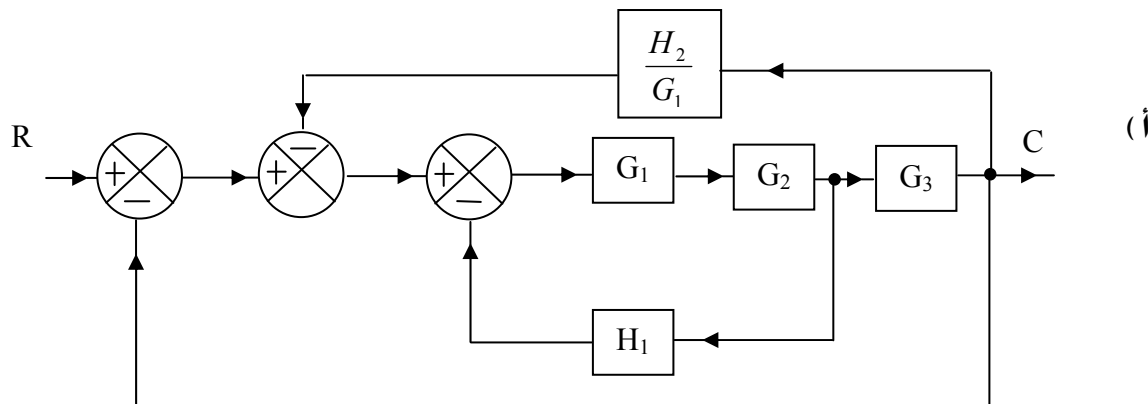
اختصر المخطط الصندوقي التالي إلى أبسط صورة ثم احسب دالة التحويل $\frac{C}{R}$.





الحل:

كما تلاحظ في الشكل السابق هناك تداخل بين المسارات المغلقة وبالتالي يجب فك هذا التداخل بنقل وصلة التجميع قبل العنصر G_1 كما يلي :



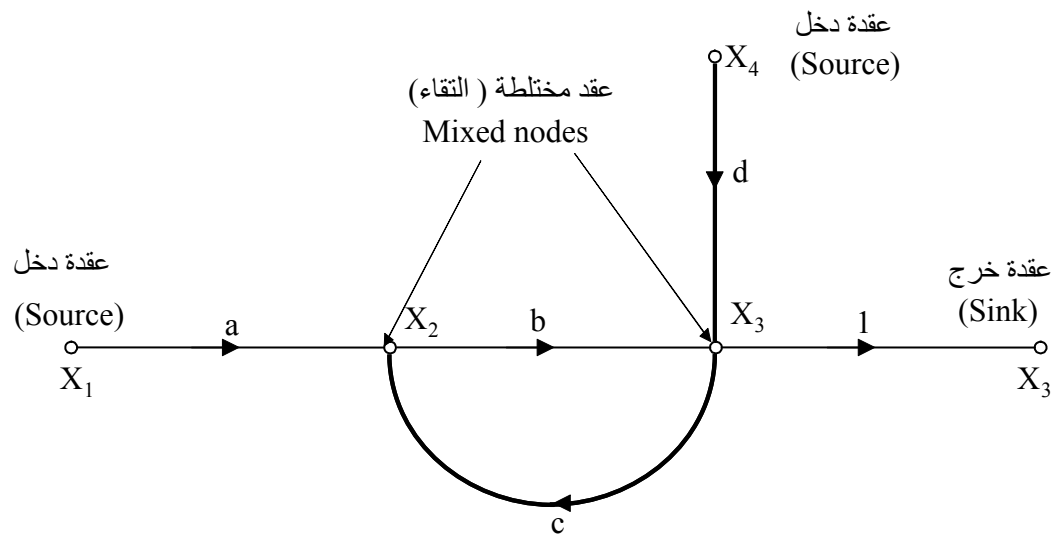


أي أن دالة نقل النظام:

$$G(s) = \frac{C}{R} = \frac{G_1 G_2 G_3}{1 + G_1 G_2 H_1 + G_2 G_3 H_2 + G_1 G_2 G_3}$$

9.1 مخطط تدفق الإشارة Signal Flow Graph

يعتبر مخطط تدفق (سريان) الإشارات أحد الأشكال البسيطة للمخطط الصندوقي. إن مخطط تدفق الإشارة هو أحد وسائل الرسم التخطيطي لتصوير علاقات الدخل بالخرج بين متغيرات مجموعة من المعادلات الجبرية الخطية. ويكون مخطط التدفق من عدة نقاط اتصال (عقد) حيث تمثل كل نقطة اتصال متغيراً من متغيرات النظام. تتصل هذه العقد بعضها بواسطة أفرع وكل فرع متصل بين نقطتي التقاء يعتبر كإشارة ويصاحب هذه الأفرع معامل ضرب (نسبة كسب) الإشارة واتجاهها. ويتم تحديد اتجاه سريان الإشارة بسهم يوضع في منتصف الفرع ويكتب فوقه معامل الضرب. ويكون اتجاه تدفق الإشارات في الأفرع في اتجاه الأسهم فقط بالإضافة إلى نقطة للدخل وأخرى للخرج كما هو مبين بالشكل (16-1).



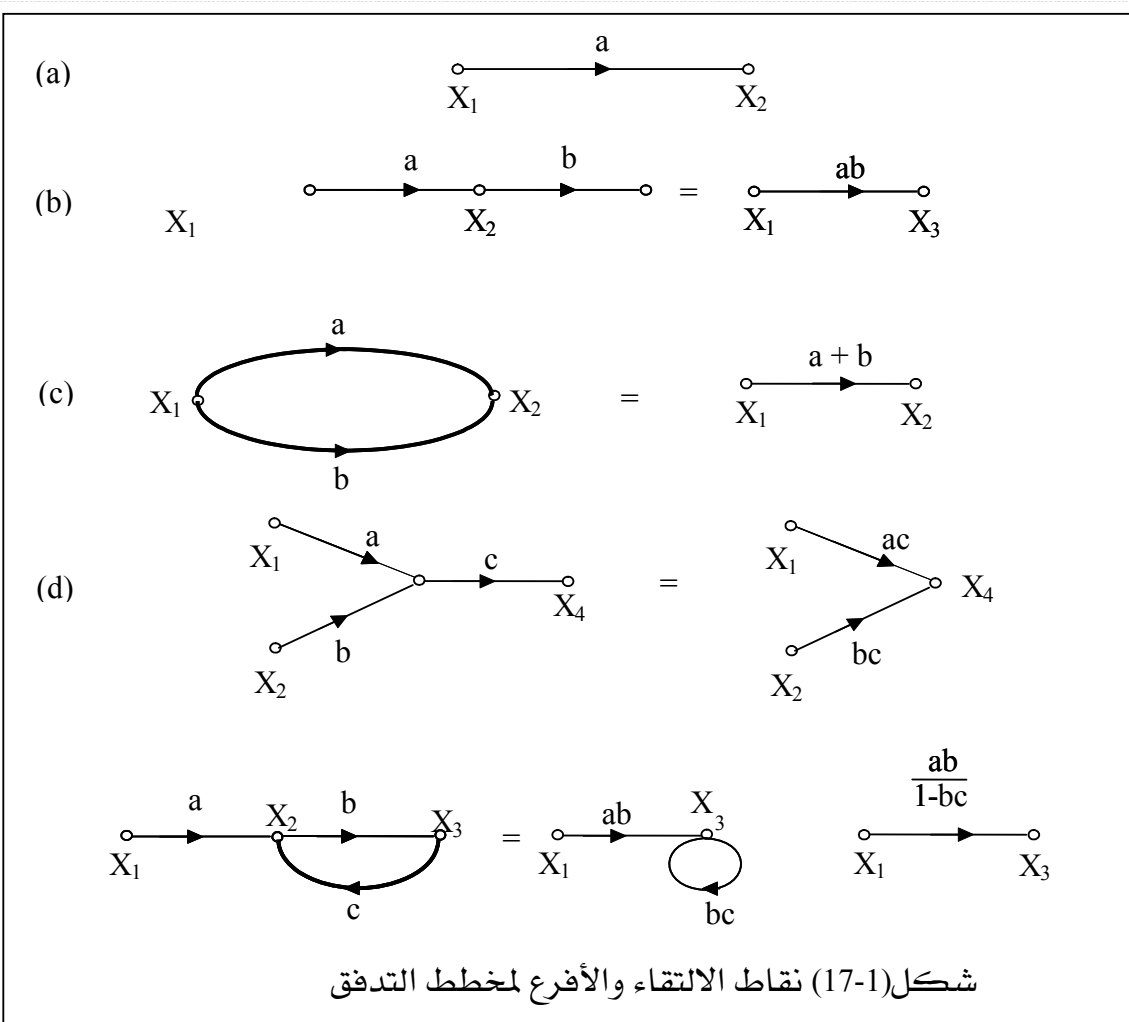
شكل (16-1) مكونات مخطط تدفق سريان الإشارة



وعلى ذلك فإن مخطط تدفق الإشارة يوضح عن طريق الرسم سريان أو تدفق الإشارات من نقطة معينة في النظام إلى نقطة أخرى موضحاً بذلك العلاقات المختلفة بين الإشارات. وعلى الرغم من أن مخطط تدفق الإشارات يحتوي على نفس المعلومات التي يحتوي عليها المخطط الصندوقي لكنه يتميز بسهولة الحصول على العلاقة بين متغيرات الخرج والدخل دون الحاجة إلى تبسيط أو اختصار كما بالمخطط الصندوقي وذلك باستخدام ما يسمى بقاعدة ماسون . Mason's rule

1.9.1 قواعد مخطط تدفق الإشارة Basics of Signal Flow Graph

لإيجاد العلاقة بين الدخل والخرج لنظام تحكم عن طريق مخطط التدفق فإن قاعدة ماسون من أسهل الطرق التي تستخدم لذلك. أو استخدام عملية الاختصار لمخطط التدفق الكبير إلى مخطط تدفق آخر يحتوي فقط على نقطة التقاء واحدة للدخل وأخرى للخرج. وفيما يلي سوف نعرض القواعد المستخدمة لذلك كما هو مبين بالشكل (17-1).





وبدراسة الشكل (17-1) نجد الآتي:

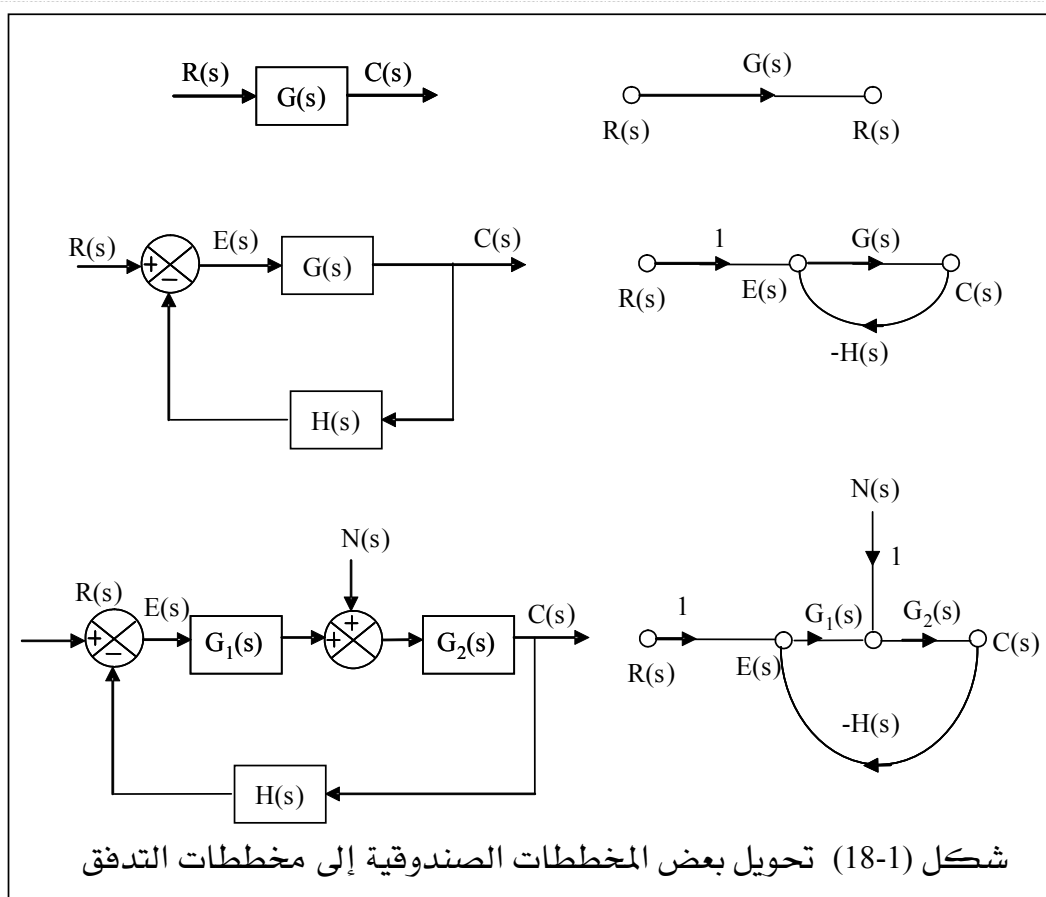
- ١ - قيمة نقطة الخرج X_2 والمبينة بالشكل (a17-1) تساوي aX_1
- ٢ - مجموع الإشارات الخاصة بالأفرع المتصلة على التوالي تساوي حاصل ضربهم كما في شكل (b).
- ٣ - مجموع الإشارات الخاصة بالأفرع المتصلة على التوازي تساوي مجموعها كما في شكل (c 17-1).
- ٤ - نقطة الالتقاء يمكن أن تزحف كما في الشكل (d 17-1).
- ٥ - نقطة الالتقاء يمكن أن تزحف كما في الشكل (e) مع ملاحظة أن :

$$x_3 = bx_2, \quad x_2 = ax_1 + cx_3$$

أي أن :

أو :

والشكل (18-1) يوضح بعض المخططات الصندوقية ومخططات التدفق التي تكافئها.





2.9.1 قاعدة ماسون Mason's Rule

وهي عبارة عن صيغة رياضية تعطي الكسب الكلي للنظام G وهي تمثل دالة التحويل (النقل) أو نسبة الخرج إلى الدخل و تستخدم قاعدة ماسون للحصول على دالة التحويل في الحالات التي يكون فيها مخطط التدفق معقداً. و المعادلة التالية تعطي الصيغة الرياضية لقاعدة ماسون:

$$G = \frac{1}{\Delta} \sum_k p_k \Delta_k \quad (25-1)$$

p_k = path gain of k th forward path كسب المسار الأمامي رقم K
 Δ = determinant of graph يتم حسابها من المخطط
وتحسب كما يلي:

$\Delta = \{ 1 - (\text{مجموع كسب جميع المسارات المغلقة كل على حده}) + (\text{مجموع حاصل ضرب كسب كل مسارين مغلقين غير متلقيين}) - (\text{مجموع حاصل ضرب كسب كل ثلاثة مسارات مغلقة غير متلقية}) + \dots \}$ أو بصيغة أخرى:

$$\Delta = 1 - \sum_a L_a + \sum_{b,c} L_b L_c - \sum_{d,e,f} L_d L_e L_f + \dots \quad (26-1)$$

حيث إن:

$$\begin{aligned} \sum_a L_a &= \text{مجموع كسب جميع المسارات المغلقة} \\ \sum_{b,c} L_b L_c &= \text{مجموع حاصل ضرب كسب كل مسارين مغلقين غير متلقيين} \\ \sum_{d,e,f} L_d L_e L_f &= \text{مجموع حاصل ضرب كسب كل ثلاثة مسارات مغلقة وغير متلقية و غير متلقية} \end{aligned}$$

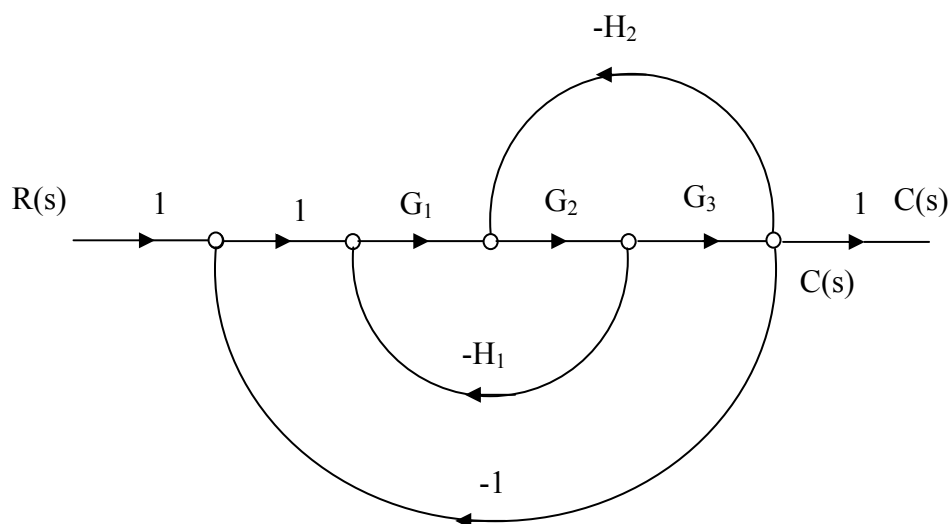
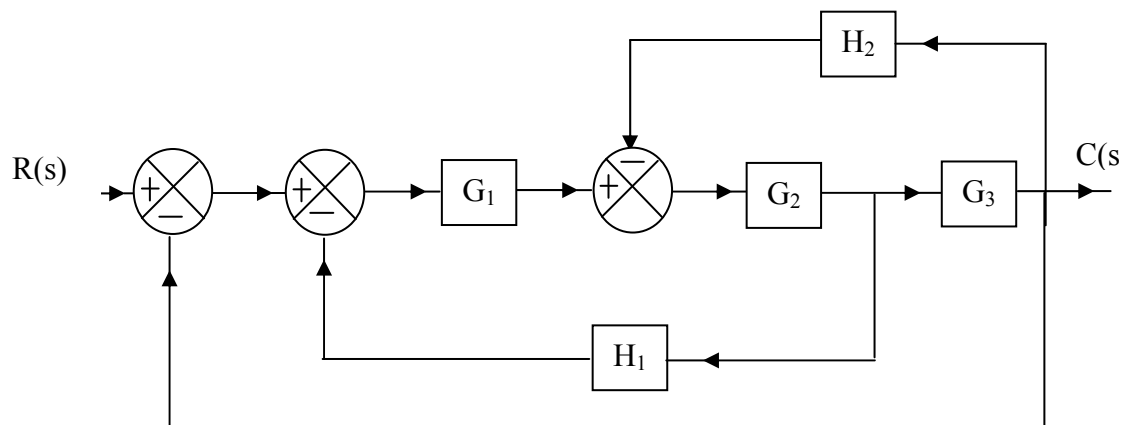
$$\Delta_k = \text{قيمة } \Delta \text{ لكل المسارات ماعدا التي تمس المسار } k$$

ولتوضيح كيفية استخدام قاعدة ماسون لإيجاد دالة التحويل لنظم التحكم فسوف نقوم بحل بعض الأمثلة.

**مثال 12-1**

الشكل التالي يبين المخطط الصندوقي لنظام التحكم الذي تم إيجاد دالة نقله باستخدام قواعد تبسيط المخطط الصندوقي ويليه مخطط تدفق الإشارة المكافئ له. استخدام قاعدة ماسون لإيجاد دالة التحويل الكلية

$$\frac{C(s)}{R(s)} = \frac{G_1 G_2 G_3}{1 + G_1 H_1 + G_2 H_2 + G_3 H_3}$$



من مخطط التدفق نجد أن:

١ - يوجد مسار واحد أمامي هو:

$$P_1 = G_1 G_2 G_3$$

٢ - توجد ثلاثة مسارات مغلقة هي:

$$L_1 = -G_1 G_2 H_1$$

$$L_2 = -G_2 G_3 H_2$$

$$L_3 = -G_1 G_3 H_3$$



٣- جميع المسارات المغلقة تمس بعضها البعض وبالتالي فإن Δ تحسب كالتالي :

$$\begin{aligned}\Delta &= 1 - (L_1 + L_2 + L_3) \\ &= 1 + G_1 G_2 H_1 + G_2 G_3 H_2 + G_1 G_2 G_3\end{aligned}$$

٤- جميع المسارات المغلقة تمس المسار الأمامي P_1 فتحسب Δ_1 بحذف جميع المسارات المغلقة من معادلة Δ كالتالي:

$$\Delta_1 = 1$$

باستخدام قاعدة ماسون فإن دالة التحويل الكلية والتي تمثل العلاقة بين الدخل والخرج

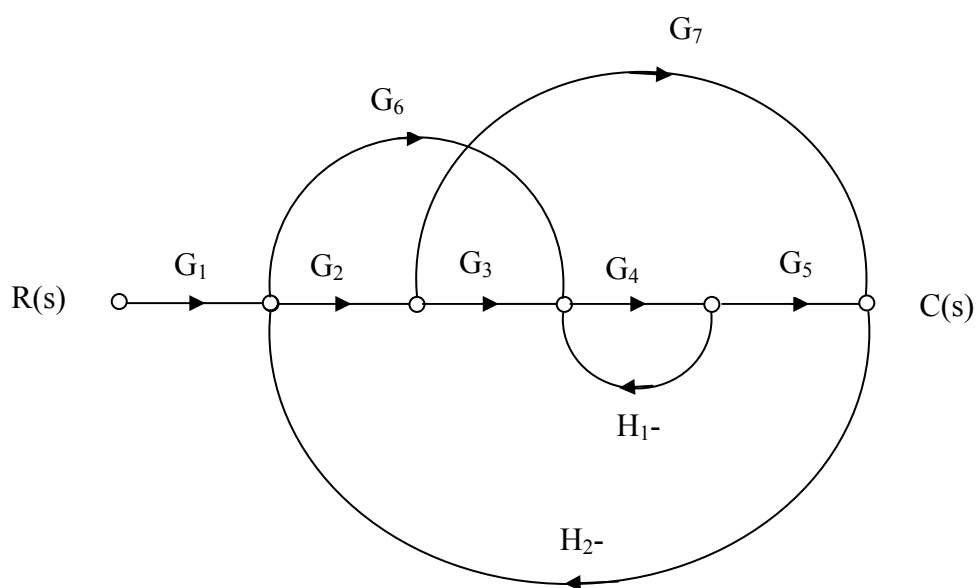
$$\frac{C(s)}{R(s)} = G = \frac{P_1 \Delta_1}{\Delta}$$

$$\frac{C(s)}{R(s)} = \frac{G_1 G_2 G_3}{1 + G_1 G_2 H_1 + G_2 G_3 H_2 + G_1 G_2 G_3}$$

وهي نفس النتيجة التي حصلنا عليها سابقاً ولكن بمجهود أقل

مثال 13-1

أوجد دالة التحويل الكلية لنظام التحكم الذي له مخطط سريان الإشارة التالي باستخدام قاعدة ماسون.



**الحل:**

من مخطط سريان الإشارات نستنتج أن:

١ - توجد ثلاثة مسارات أمامية هي:

$$P_1 = G_1 G_2 G_3 G_4 G_5$$

$$P_2 = G_1 G_6 G_4 G_5$$

$$P_3 = G_1 G_2 G_7$$

٢ - توجد أربعة مسارات مغلقة هي:

$$L_1 = -G_4 H_1$$

$$L_2 = -G_2 G_7 H_2$$

$$L_3 = -G_6 G_4 G_5 H_2$$

$$L_4 = -G_2 G_3 G_4 G_5 H_2$$

٣ - المساران المغلقان L_1 و L_2 غير متامسين وتحسب Δ كالتالي:

$$\Delta = 1 - (L_1 + L_2 + L_3 + L_4) + L_1 L_2$$

$$\Delta = 1 + G_4 H_1 + G_2 G_7 H_2 + G_6 G_4 G_5 H_2 + G_2 G_3 G_4 G_5 H_2 + G_2 G_4 G_7 H_1 H_2$$

وكذلك Δ_1 و Δ_2 و Δ_3 تحسب بحذف المسارات المغلقة التي تمس المسارات الأمامية P_1 و P_2 و P_3

كالتالي: P_3

جميع المسارات المغلقة تمس المسارين P_1 و P_2

$$\Delta_1 = \Delta_2 = 1$$

المسار المغلق L_1 لا يمس المسار الأمامي P_3 وبالتالي

$$\Delta_3 = 1 + G_4 H_1$$

$$G = \frac{C(s)}{R(s)} = \frac{P_1 \Delta_1 + P_2 \Delta_2 + P_3 \Delta_3}{\Delta}$$

$$\frac{C(s)}{R(s)} = \frac{G_1 G_2 G_3 G_4 G_5 + G_1 G_6 G_4 G_5 + G_1 G_2 G_7 + G_1 G_2 G_4 G_7 H_1}{1 + G_4 H_1 + G_2 G_7 H_2 + G_6 G_4 G_5 H_2 + G_2 G_3 G_4 G_5 H_2 + G_2 G_4 G_7 H_1 H_2}$$



تمارين

- ١- اذكر أنواع الرئيسيّة لأنظمة التحكم وما الفرق بينها ؟
- ٢- اذكر مميزات وعيوب أنظمة التحكم ذات الحلقة المفتوحة
- ٣- قارن بين أنظمة التحكم ذات الحلقة المفتوحة والمغلقة
- ٤- هل نظام التحكم ذو الحلقة المغلقة أكثر دقة من مثيله ذي الحلقة المفتوحة ؟ اذكر السبب؟
- ٥- اذكر أمثلة لأنظمة التحكم ذات الحلقة المفتوحة والمغلقة في الحياة العملية بالمنازل
- ٦- أوجد التحويل الابلاسي للدوال التالية :

(a) $g(t) = 5te^{-5t}u(t)$

(b) $g(t) = (t \sin 2t + e^{-2t})u(t)$

(c) $g(t) = 2e^{-2t} \sin 2tu(t)$

(d) $g(t) = \sin 2t \cos 2tu(t)$

- ٧- أوجد تحويل لا بلاس العكسي للدوال التالية :

(a) $G(s) = \frac{1}{s(s+2)(s+3)}$

(b) $G(s) = \frac{10}{(s+1)^2(s+3)}$

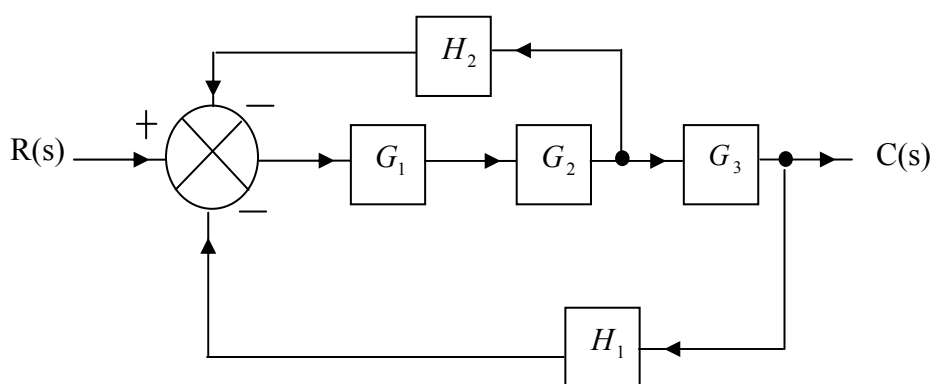
(c) $G(s) = \frac{100(s+2)}{s(s^2+4)(s+1)}$

(d) $G(s) = \frac{2(s+1)}{s(s^2+s+2)}$

(e) $G(s) = \frac{1}{(s+1)^3}$

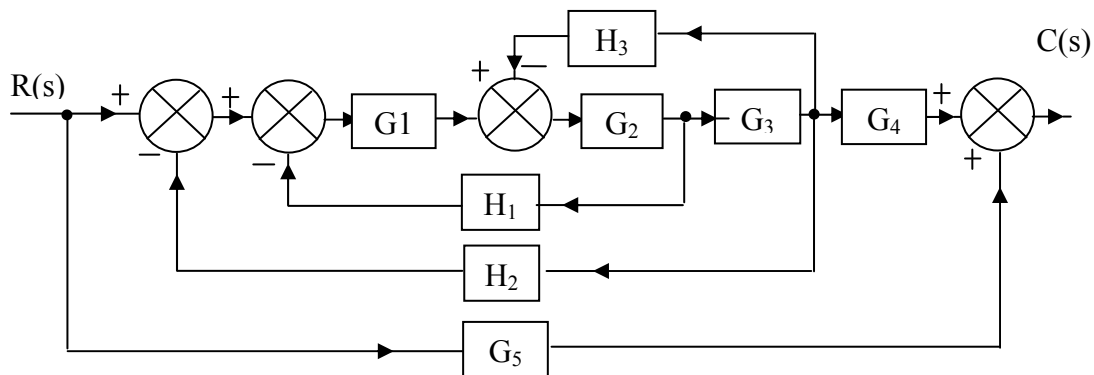
(f) $G(s) = \frac{2(s^2+s+1)}{s(s+1.5)(s^2+5s+5)}$

- ٨- اختصر المخطط الصندوقي التالي إلى أبسط صورة ثم أوجد دالة التحويل.

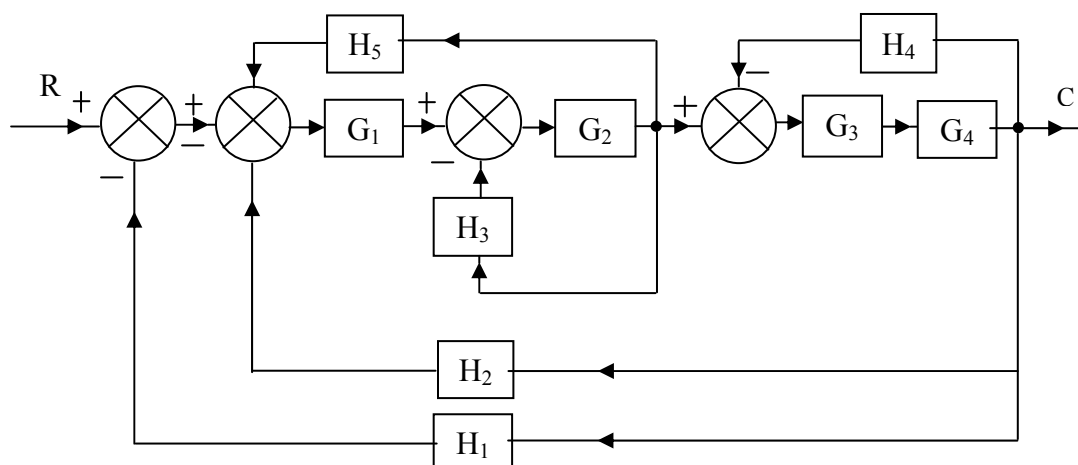




-٩ في نظام التحكم ذي التغذية الخلفية المبين بالشكل أوجد دالة التحويل بعد تبسيط المخطط.



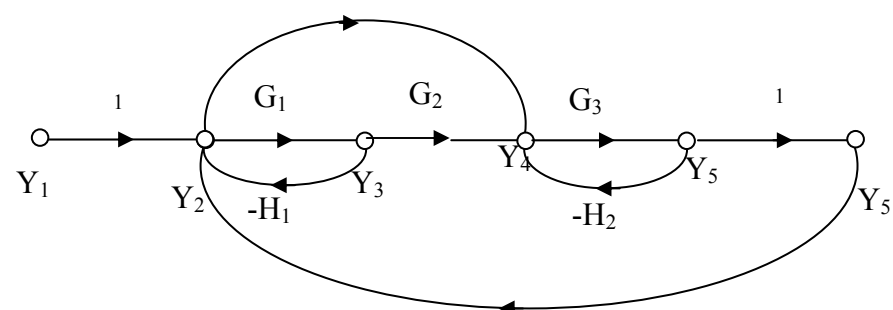
-١٠ اختصر المخطط الصندوقي التالي تم احسب $\frac{C(s)}{R(s)}$

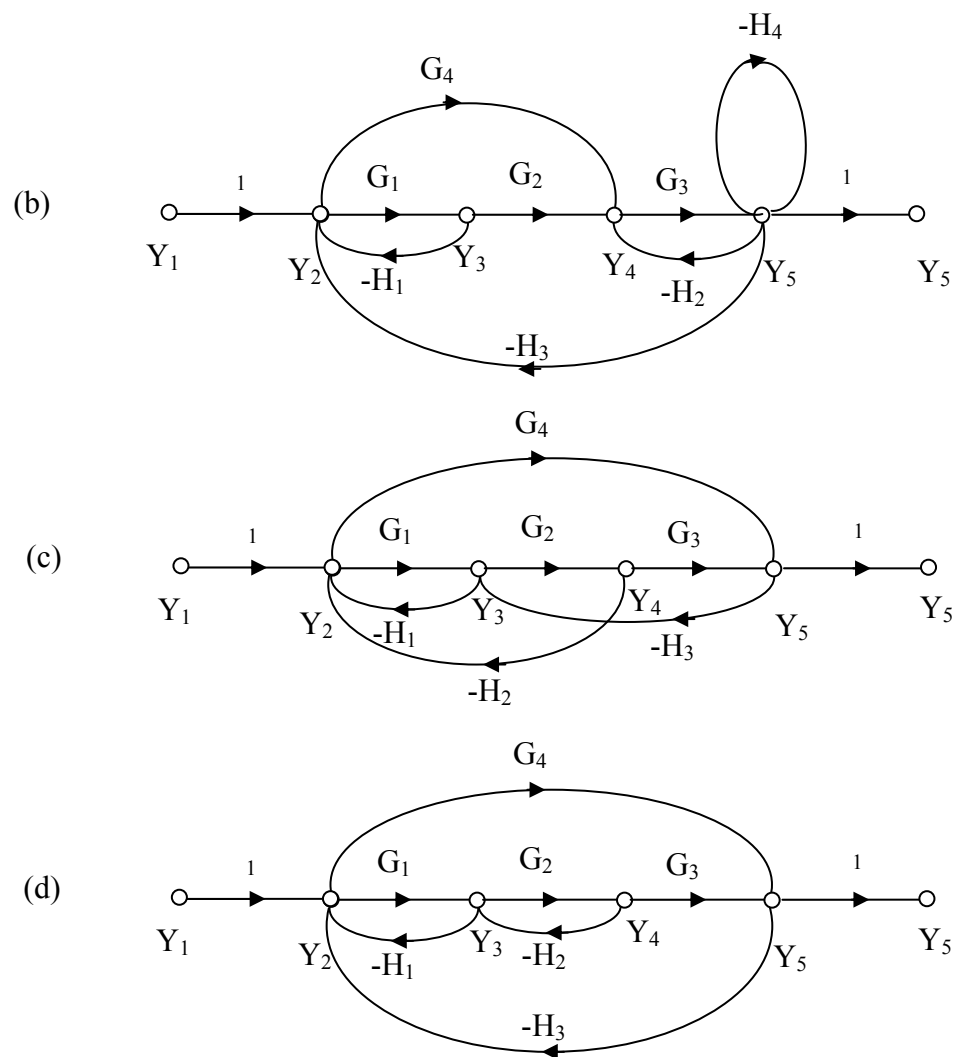


-٩ الشكل التالي يبين عدداً من مخططات التدفق لعدة أنظمة. استخدم قاعدة ماسون

$$\left(\frac{Y_5}{Y_2} \right)$$

لإيجاد دالة التحويل لـ كل منها







الوحدة الثانية

نظم التحكم الصناعية و خواصها

**الهدف العام للوحدة :**

معرفة كيفية تمثيل نظم التحكم بمعادلات تفاضلية (النمذجة) والتعرف على عناصر التحكم المختلفة ودورها في عملية التحكم.

الأهداف التفصيلية :

١. أن يعرف المتدرب كيفية نمذجة نظم التحكم.
٢. أن يحدد المتدرب أنواع الحاكمات الصناعية
٣. أن يصف المتدرب قاعدة التحكم لكل نوع من أنواع الحاكمات.
٤. أن يصف المتدرب كيف تعالج الحاكمات إشارة الخطأ.
٥. أن يصف المتدرب عناصر التحكم النهائية ودورها في عملية التحكم.
٦. أن يحدد المتدرب أهمية صمامات التحكم في أنظمة التحكم.
٧. أن يحدد المتدرب دور الحساسات والمبولات في نظم التحكم.
٨. أن يحدد المتدرب دور المحرك الكهربائي في نظم التحكم.





1.2 مقدمة

في أنظمة التحكم الآلي تتم مقارنة القيمة الحقيقية للخرج مع إشارة المرجع والفرق بينهما يسمى إشارة الخطأ Error Signal أو الانحراف. وتكون إشارة الخطأ بمثابة إشارة الدخل إلى المتحكم الذي يقوم بمعالجتها ثم بعد ذلك يتم تضخيمها أو تكبيرها عن طريق مكبر لتصل إلى المشغل الذي يقوم بتعديلاً ليعمل نظام التحكم ككل على تقليل الخطأ بين الدخل والخرج أو يجعل هذا الخطأ صفرًا ويصبح الخرج مساوياً للدخل. والطريقة التي يستخدمها الحاكم لإنتاج إشارة التحكم تسمى فعل الحاكم ونظراً لأن إشارة الخطأ تكون عادة ذات قدرة صغيرة فإنه في كثير من الحالات تستخدم مكبرات القدرة لتكبير قدرة هذه الإشارة حتى تصبح ذات تأثير على النظام المراد التحكم فيه.

وفي معظم أنظمة التحكم الآلي الصناعية تستخدم الكهرباء أو الموائع المضغوطة مثل الزيت أو الماء للحصول على القدرة اللازمة لتشغيل عناصر التحكم. ويمكن تقسيم أنظمة التحكم طبقاً لنوع مصدر القدرة المستخدم في التشغيل مثل:

- ١- أنظمة التحكم التي تعمل بالمواء المضغوط.
- ٢- أنظمة التحكم الهيدروليكية.
- ٣- أنظمة التحكم الكهربائية.
- ٤- أنظمة التحكم الإلكترونية الحديثة.
- ٥- التحكم باستخدام الكمبيوتر.

ويتوقف استخدام نوع معين من أنظمة التحكم على طبيعة الموقع وظروف التشغيل بالإضافة إلى اعتبارات الأمان والتکاليف والدقة والوزن والحجم وخلافه. وهناك أنواع مختلفة من أنظمة التحكم مثل الأنظمة الكهربائية والميكانيكية والأنظمة الكهربائية الهيدروليكية وكذلك الأنظمة الإلكترونية والهواية وخلافه. وفي هذه الأنظمة تستخدم مكونات وأجهزة عديدة متعددة للحصول على مواصفات أداء عالية وتكلفة مناسبة لأنظمة التحكم. وفي الوقت الحاضر يستخدم الكمبيوتر للتحكم في العديد من الصناعات الحديثة وشبكات محطات الكهرباء وخلافه نظراً لدقته الفائقة وإمكاناته الكبيرة لتنفيذ متطلبات التحكم المتطورة.



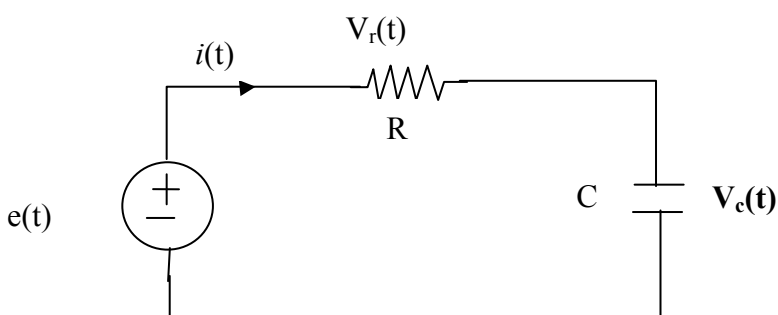
2.2 النمذجة الرياضية لنظم التحكم Mathematical Modeling

في الوحدة الأولى قمنا بدراسة كيفية تمثيل نظم التحكم باستخدام الرسم التخطيطي للمراحل المختلفة للنظام المعروف بالمحاط الصندوقي حيث تم تمثيل كل مرحلة من مراحل النظام بـ دالة التحويل والتي تربط بين دخل المرحلة وخرجها. وللحصول على دالة التحويل نبدأ أولاً بـ تمثيل المراحل المختلفة للنظام بـ معادلات تفاضلية في نطاق الزمن ثم نحو هذه المعادلات التفاضلية إلى معادلات جبرية بسيطة باستخدام تحويلات لا بلس و مع اعتبار أن الظروف الابتدائية مساوية للصفر نحصل على دالة التحويل أو النقل.

في هذا الجزء سوف يكون هدفنا الأساسي هو الحصول على النموذج الرياضي ومن ثم دالة التحويل لبعض الدوائر الكهربائية البسيطة والتي يمكن اعتبارها أحد عناصر نظم التحكم.

مثال 1-2

الدائرة التالية هي دائرة RC حيث أن إشارة الدخل ممثلة في مصدر الجهد المستمر وإشارة الخرج عبارة عن الجهد على طرفي المكثف. اكتب المعادلة التفاضلية التي تربط بين إشارتي الدخل والخرج ثم أوجد دالة التحويل:



شكل (1-2) دائرة مقاومه ومكثف توالي RC series circuit

الحل:

أولاً: إيجاد النموذج الرياضي :

بتطبيق قانون كيرشوف للجهد على الدائرة نحصل على:

$$e(t) = v_r(t) + v_c(t) \quad (1-2)$$

من قانون أوم نجد فرق الجهد بين طرفي المقاومة بـ دالة التيار المار فيها كما يلي:



$$v_r(t) = Ri(t)$$

أما علاقة التيار المار في المكثف بفرق الجهد بين طرفيه فتكتب كما يلي.

$$i((t)) = C \frac{dv_c(t)}{dt}$$

وبالتعويض عن قيمة التيار في علاقة جهد المقاومة نحصل على:

$$v_r(t) = RC \frac{dv_c(t)}{dt}$$

وبالتالي تصبح معادلة جهد الدائرة (1-٢) كما يلي

$$RC \frac{dv_c(t)}{dt} + v_c(t) = e(t) \quad (2-2)$$

والمعادلة السابقة تعبر عن النموذج الرياضي لدائرة مقاومة ومكثف على التوالي (R. C. Series Circuit) و الموضحة في الشكل (1-2) وهي عبارة عن معادلة تفاضلية من الدرجة الأولى.

ثانياً : إيجاد دالة التحويل:

للحصول على دالة التحويل (النقل) للدائرة، نوجد التحويل اللابلاسي للمعادلة التفاضلية السابقة مع اعتبار أن جميع الظروف الابتدائية منعدمة فنحصل على:

$$L\left[RC \frac{dv_c(t)}{dt} + v_c(t) \right] = L[e(t)]$$

$$RC(SV_c(s) - v_c(0)) + V_c(s) = E(s)$$

وحيث أننا لكي نوجد دالة التحويل نفترض أن الظروف الابتدائية منعدمة وبالتالي فإن:

$$v_c(0) = 0$$

وبالتالي

$$RC(SV_c(s) + V_c(s)) = E(s)$$

$$(SRC + 1)V_c(s) = E(s)$$

وحيث أن دالة النقل هي نسبة التحويل اللابلاسي لإشارة الخرج بالنسبة لإشارة الدخل فان دالة نقل الدائرة هي:

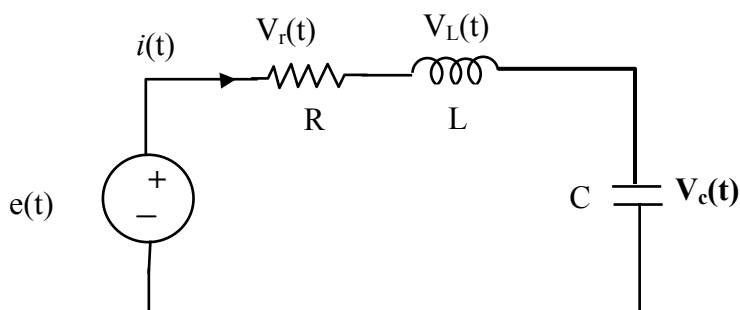
$$G(s) = \frac{V_c(s)}{E(s)} = \frac{1}{SRC + 1} \quad (3-2)$$



لاحظ العلاقة بين عدد عناصر التخزين ودرجة المعادلة التفاضلية: فالدائرة تحتوي على عنصر تخزين واحد للطاقة وهو المكثف، والمعادلة التفاضلية من الدرجة الأولى وبالتالي فإن الدائرة تمثل نظام من الرتبة الأولى. لاحظ كذلك أن مقام دالة النقل كثير الحدود في ω من الدرجة الأولى

مثال 2-2

الدائرة التالية هي دائرة توالي مكونة من مقاومة وملف ومكثف RLC حيث أن إشارة الدخل ممثلة في مصدر الجهد المستمر وإشارة الخرج عبارة عن الجهد على طرفي المكثف. اكتب المعادلة التفاضلية التي تربط بين إشارتي الدخل والخرج ثم اوجد دالة التحويل:



شكل (2-2) دائرة RLC توالي

الحل

أولاً : إيجاد النموذج الرياضي:

بتطبيق قانون كيرشوف للجهد على الدائرة نحصل على معادلة الجهدات التالية:

$$e(t) = v_r(t) + v_L(t) + v_c(t) \quad (4-2)$$

وحيث أن:

$$v_r(t) = Ri(t)$$

$$v_L(t) = L \frac{di(t)}{dt}$$

$$i(t) = C \frac{dv_c(t)}{dt}$$



وبالتعويض في معادلة الجهد (4-2) نحصل على:

$$RC \frac{dv_c(t)}{dt} + L \frac{di(t)}{dt} + v_c(t) = e(t)$$

$$RC \frac{dv_c(t)}{dt} + LC \frac{d^2v_c(t)}{dt^2} + v_c(t) = e(t)$$

أعد ترتيب المعادلة السابقة

$$LC \frac{d^2v_c(t)}{dt^2} + RC \frac{dv_c(t)}{dt} + v_c(t) = e(t) \quad (5-2)$$

وتعبر المعادلة السابقة عن النموذج الرياضي لدائرة RLC الموضحة في الشكل (2-2) وهي عبارة عن معادلة تفاضلية من الدرجة الثانية.

ثانياً : إيجاد دالة التحويل:

للحصول على دالة التحويل (النقل) للدائرة، نوجد التحويل اللابلاسي للمعادلة التفاضلية السابقة مع اعتبار أن جميع الظروف الابتدائية منعدمة نحصل على:

$$L \left[LC \frac{d^2V_c(s)}{ds^2} + RC \frac{dV_c(s)}{ds} + V_c(s) \right] = L[e(s)]$$

$$LCs^2V_c(s) + RCSV_c(s) + V_c(s) = E(s)$$

$$[LCs^2 + RCS + 1]V_c(s) = E(s)$$

وحيث أن دالة النقل هي نسبة التحويل اللابلاسي الشارة الخرج بالنسبة لإشارة الدخل فان دالة نقل الدائرة هي:

$$G(s) = \frac{V_c(s)}{E(s)} = \frac{1}{LCs^2 + RCS + 1} \quad (6-2)$$

لاحظ العلاقة بين عدد عناصر التخزين ودرجة المعادلة التفاضلية: فالدائرة تحتوي على عنصري تخزين للطاقة وهما الملف والمكثف، والمعادلة التفاضلية من الدرجة الثانية وبالتالي فان الدائرة تمثل نظام من الرتبة الثانية. لاحظ كذلك أن مقام دالة النقل كثير الحدود في s من الدرجة الثانية.



3-2 أنواع الحاكمات الصناعية Types of Industrial Controller

كما سبق أن ذكرنا أن الحكم هو أهم عناصر أي نظام تحكم حيث أنه يمثل العقل المفهومي و عنصر الذكاء في النظام. ويجب أن يتضمن الحكم مجموعة من العناصر التي تعمل على مراقبة وضبط الكمية المراد التحكم فيها لتكون أقرب ما يكون للقيمة المرغوبة لها بأعلى دقة ممكنة وفي أسرع وقت ممكن. ولما كانت أهمية استخدام الحاكمات في الصناعة غير محدودة فإن هناك أنواعاً عديدة من هذه الحاكمات يمكن تصنيفها حسب فعل المتحكم وهي كالتالي:

- 1 - **الحاكمات المتقطعة Discontinuous controllers**
- 2 - **الحاكم التناصبي (P-Controller)**
- 3 - **الحاكم التكاملي (I-Controller)**
- 4 - **الحاكم التفاضلي (D-Controller)**
- 5 - **الحاكم التناصبي التكاملي PI-Controller**
- 6 - **الحاكم التناصبي التكاملي التفاضلي PID-Controller**

وفيما يلي سوف ندرس كل نوع من هذه الأنواع من حيث نظرية عمله والمعادلات التي تصف عمله ودالة التحويل الخاصة به بالإضافة إلى رسم المخطط الصندوقى وكذلك علاقة إشارة دخل المتحكم بإشارة خرجه.

1.3.2 الحاكمات المتقطعة Discontinuous controllers

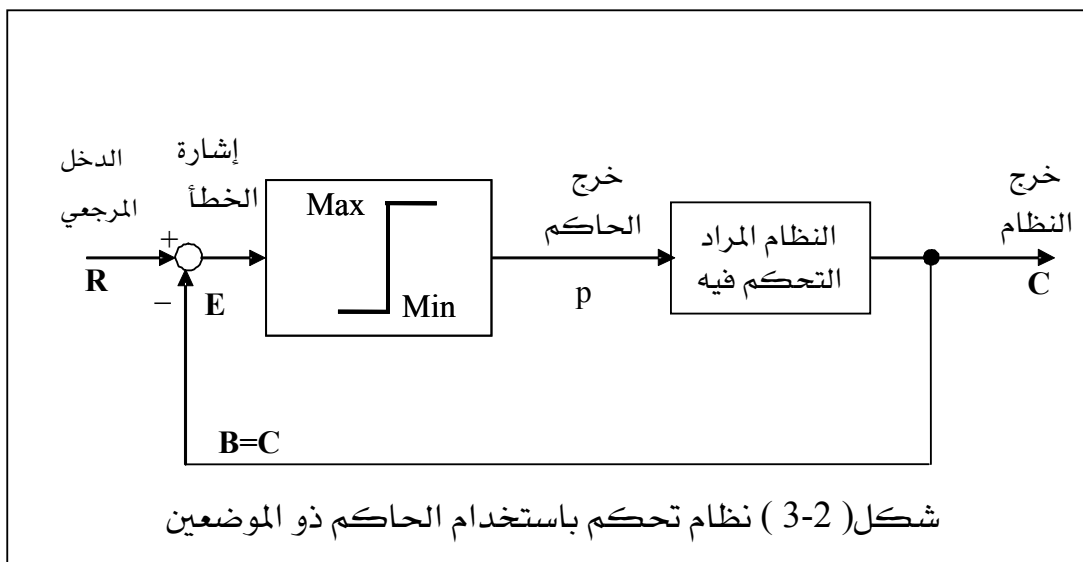
في هذا النوع من الحاكمات تتغير إشارة التحكم بشكل متقطع حيث تأخذ قيمًا متعددة تعتمد على عدد الأوضاع الممكنة. وقد يكون عدد الأوضاع المسموح بها اثنين أو ثلاثة أو أكثر حسب نوع الحكم وطبيعة النظام المحكوم. ويستخدم هذا النوع من الحاكمات بكثرة في نظم التحكم البسيطة كالتحكم في درجة الحرارة كما في المكيفات والسخانات والثلاجات. ومن أمثلة الحاكمات المتقطعة ما يلي:

1.1.3.2 الحكم ذو الموضعين Two-position Controller

تعتمد نظرية عمل هذا النوع من الحاكمات على أن تتغير إشارة التحكم بين أحد موضعين ثابتين أحدهما ذو قيمة عظمى والآخر ذو قيمة صغرى كما هو مبين بالشكل التالي (3-2).

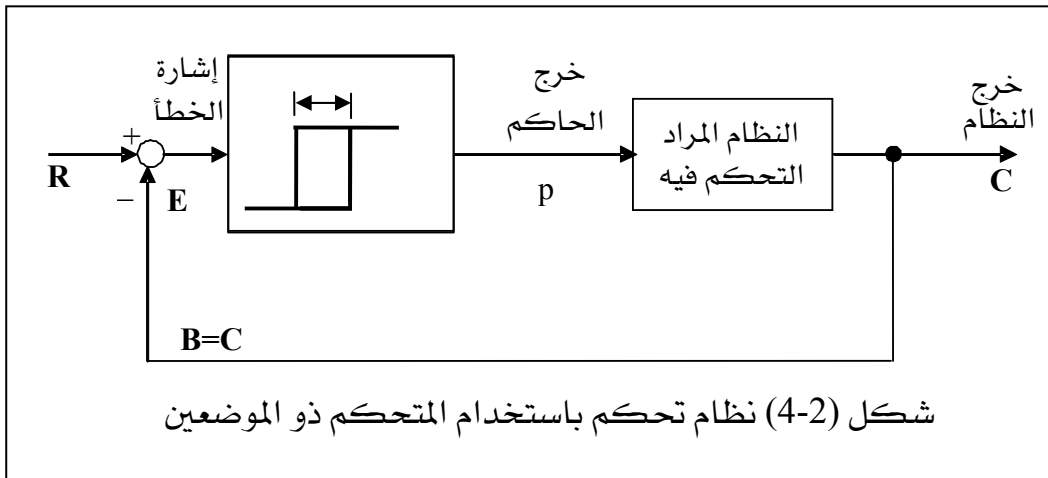


وهذا يعني أن قيمة خرج المتحكم p تكون عظمى (الوضع الأعلى) في حالة ما إذا كانت إشارة الخطأ موجبة أي أن الكمية المراد التحكم فيها قلت عن القيمة المرجعية، وتكون قيمة صغرى في حالة ما إذا كانت إشارة الخطأ سالبة أي أن الكمية المراد التحكم فيها زادت عن القيمة المرجعية،.



2.1.3.2 الحاكم ذو الموضعين مع فرق تخلفي Two-position Controller with Hysteresis

نظرًا لطبيعة عمل الحاكم ذو الموضعين حيث تتم عملية الفصل والوصل عندما تتخطى الكمية المحكومة لقيمتها المرغوبة (نقطة الضبط) مباشرة فإن معدل عملية الفصل والوصل يكون سريعاً في بعض الحالات مما يؤدي إلى الاهتزازات. وللحد من معدل تشغيل وضعي الفصل والوصل حول نقطة الضبط للحاكم ذو الموضعين فإنه يتم إضافة عنصر فرق تخلفي Hyesteresis Element حيث تتم عملية الفصل والوصل في نطاق محدد حول نقطة الضبط مما يؤدي إلى وجود وقت تأخير محسوب بعد ما تخطي القيمة الفعلية لإشارة الخرج قيمة إشارة المرجع (نقطة الضبط) كما هو مبين بالشكل (2-4).

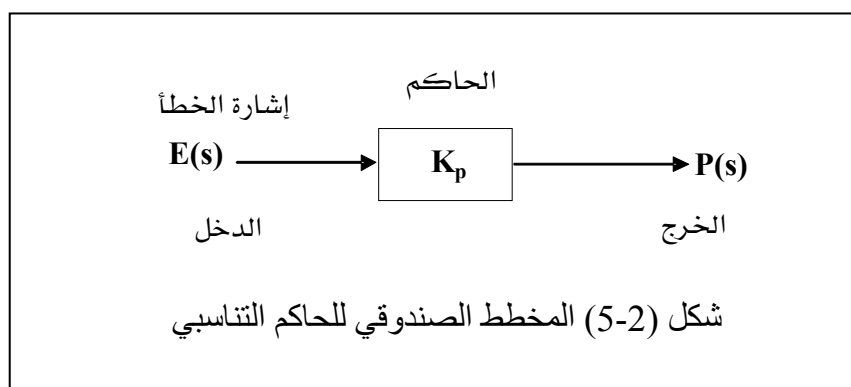


2.3.2 الحاكمات المستمرة Continuous Controllers

في الحاكمات المستمرة تأخذ إشارة خرج الحاكم قيماً مستمرة بين مدي تصحيحي محدد وستخدم هذه الحاكمات في أنظمة التحكم الصناعية الدقيقة مثل التحكم في السرعة. ومن أمثلة الحاكمات المستمرة: الحاكم التناصبي P-Controller و الحاكم التكاملي I-Controller و الحاكم التفاضلي D-Controller و الحاكم التناصبي التكاملي PI-Controller و الحاكم التناصبي التفاضلي PID-Controller.

1.2.3.2 الحاكم التناصبي (P-Controller)

وتعتمد نظرية عمل هذا النوع كما هو مبين بالشكل (2-5) على قيام الحاكم بضرب إشارة الخطأ في مقدار ثابت K_p يسمى الكسب التناصبي.

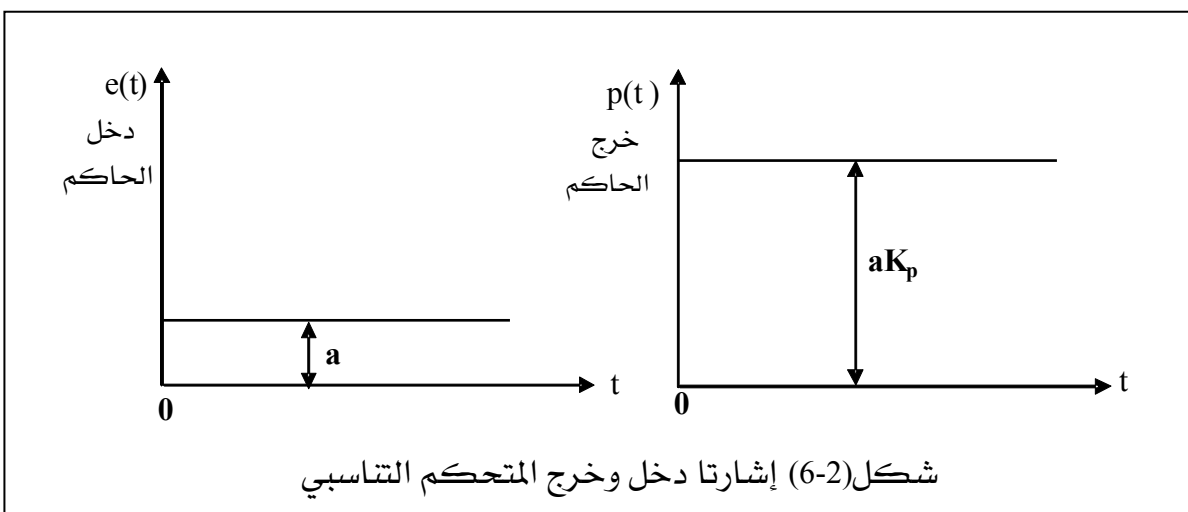




ومن خصائص هذا الحكم أنه كلما زادت قيمة الكسب K_p تقل قيمة الخطأ أي أن التاسب بينهما عكسيًا. ولكن نجد أن زيادة K_p يمكن أن تسبب زيادة في عدد ترددات خرج النظام أو عدم استقرار النظام. لذا يجب اختيار قيمة K_p لتواءم متطلبات تقليل الخطأ (أي زيادة الدقة) ومتطلبات الاستقرار في نفس الوقت. والمعادلات التالية تبين العلاقة بين دخل الحكم وخرجه كما يلي:

$$\begin{aligned} p(t) &= K_p e(t) \\ P(s) &= K_p E(s) \\ G_c(s) &= \frac{P(s)}{E(s)} = K_p \end{aligned} \quad (6-2)$$

ويبيّن الشكل (6-2) العلاقة بين إشارتي الدخول والخروج للحكم التاسبي. فإذا كانت قيمة إشارة دخل الحكم إشارة الخطأ (a) فولت مثلاً فإن قيمة إشارة خرج الحكم هي حاصل ضرب الكسب K_p في قيمة الخطأ a .

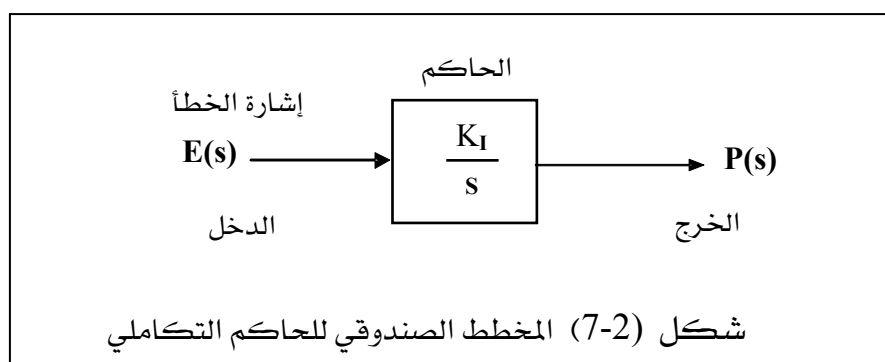


ويتضح من هذا أن عمل الحكم التاسبي أساساً هو كمكابر وهناك أنواع كثيرة في الحياة العملية لهذا النوع من التحكم منها التي تعمل بالهواء المضغوط والتي تعمل بالزيت أو بالماء المضغوط بالإضافة إلى المكبرات الإلكترونية والمكبرات المغناطيسية والمكبرات الكهربائية.



2.2.3.2 I-Controller

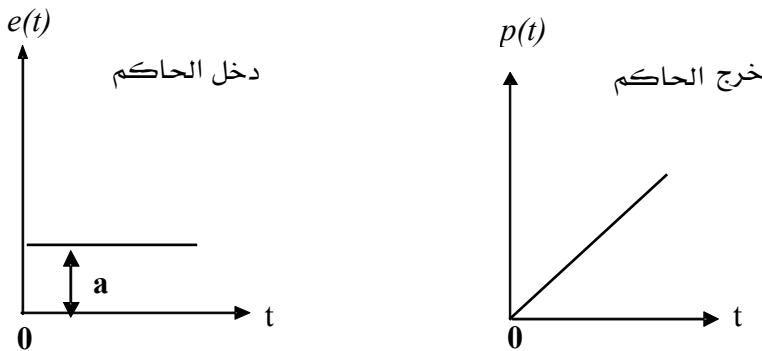
تعتمد نظرية عمل الحكم التكامل على إجراء عملية تكامل لإشارة الخطأ كما هو مبين بالشكل (2-7). ويتميز هذا النوع من التحكم بأنه يقوم بإلغاء إشارة الخطأ عند الاستقرار أي أنه قادر على جعل الخرج مساوياً للدخل أي أن ($R=C$) وبذلك تكون إشارة الخطأ تساوي صفرًا.



أما المعادلات الرياضية التي تربط خرج الحكم بدخله فهي كالتالي:

$$\begin{aligned} p(t) &= K_I \int_0^t e(t) dt \\ P(s) &= K_I \frac{1}{s} E(s) \\ G_C(s) &= \frac{P(s)}{E(s)} = \frac{K_I}{s} \end{aligned} \quad (7 - 2)$$

الشكل (2-8) يوضح العلاقة بين دخل وخرج الحكم التكامل في حالة حدوث تغيير مفاجئ في خرج النظام يؤدي إلى وجود فرق بين الدخل والخرج بمقدار ثابت قيمته a (أي أن الخطأ يصبح $a = e(t)$ عند استخدامه في نظام تحكم ذو حلقة مغلقة



شكل(8-2) إشارتا دخل وخرج الحاكم التكامل

فيصبح خرج الحاكم طبقاً للمعادلة (7-2) كالتالي:

$$\begin{aligned} p(t) &= K_I \int_0^t a dt \\ p(t) &= K_I a t + C \end{aligned} \quad (8 - 2)$$

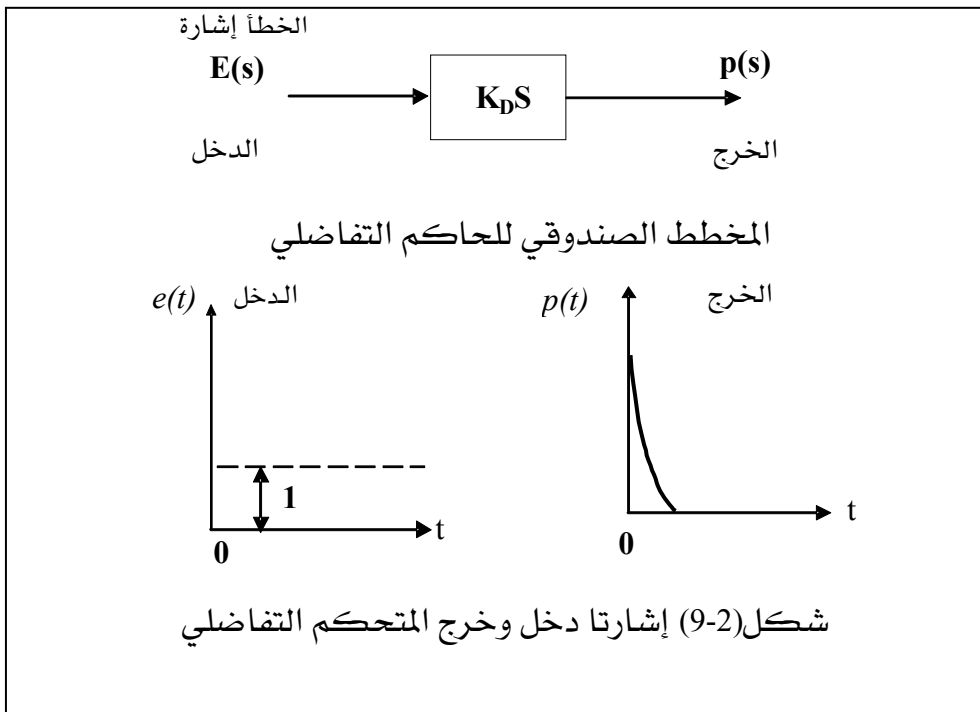
من هذا يتضح أنه بزيادة الزمن t فإن خرج الحاكم $p(t)$ يستمر في التزايد كما هو مبين في الشكل (8-2) وهذا التزايد يؤثر على النظام المراد التحكم فيه حتى يزداد الخرج ويتساوى مع الدخل وتصبح إشارة الخطأ مساوية للصفر. وبذلك فان الحكم التكامل يلاشي الخطأ بين الدخل والخرج بتعديل قيمة الخرج حتى تتساوى تماماً مع قيمة الدخل . وهذا النوع من التحكم بالرغم من أنه يحقق الدقة المطلوبة إلا أنه قد يؤدي إلى عدم استقرار النظام إذا كانت قيمة K_I عالية .

ويسمى الثابت K_I معدل إعادة الضبط reset rate أي المعدل الذي يعمل به الحكم لإعادة ضبط الخرج C لتتساوى مع قيمة الدخل R . وكلما زادت قيمة هذا المعدل K_I كلما كانت عملية إعادة الضبط أسرع ، ولكن هذا قد يؤدي إلى وجود ترددات كثيرة في الخرج أو عدم الاستقرار لذا يجب اختيار القيمة المناسبة لهذا المعدل K_I . وكما هو الحال في الحاكمات النسبية فإن الحكمات التكاملية الصناعية تكون مزودة عادة بوسيلة لضبط K_I .



3.2.3.2 D-Controller

تعتمد نظرية عمل الحكم التفاضلي على إجراء عملية تفاضل لإشارة الخطأ كما هو مبين بالشكل (9-2). والحكم التفاضلي يسمى في بعض الأحيان rate controller حيث إن نظرية عمله بنية على أساس معدل تغير إشارة الخطأ بالنسبة للزمن.



ويلاحظ أنه في حالة ثبات قيمة دخل الحكم التفاضلي (ثبات إشارة الخطأ) فإن خرج الحكم التفاضلي يساوي صفرًا وذلك لأن تفاضل المقدار الثابت يساوي صفرًا. ولذا فإن الحكم التفاضلي يعمل فقط في الحالات العابرة أي أثناء تغير إشارة الخطأ ولهذا السبب فهو لا يستخدم بمفرده في التطبيقات العملية. وبين شكل (9-2) العلاقة بين دخل وخرج الحكم في حالة كون إشارة دخل الحكم عبارة دالة خطوة الوحدة Unit Step Function.

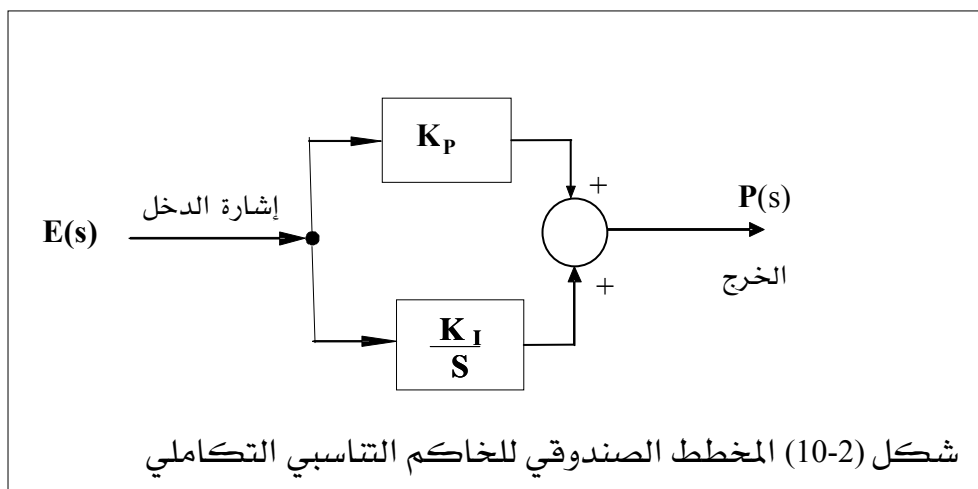
ومن الملاحظ أن خرج الحكم التفاضلي يساوي صفرًا عند ثبات قيمة إشارة الدخل أما في لحظة ($t = 0$) وأثناء تغير إشارة دخل الحكم من صفر إلى واحد فإن خرجه يكون عبارة عن نبضة لها قيمة مرتفعة وسرعان ما تصل إلى الصفر عند ثبات قيمة الدخل هذا من الناحية النظرية (حكم تفاضلي مثالي). عملياً فإن خرج الحكم التفاضلي يأخذ بعض الوقت (זמן قليل جداً) للوصول إلى الصفر. والعيب الرئيس في الحكم التفاضلي أنه يكبر إشارة الضوضاء فإذا كانت إشارة الدخل للحكم التفاضلي محملة ببعض الضوضاء فإنه سوف



يضم هذه الموضوعات وهذا قد يؤدي إلى مشاكل من الناحية العملية حيث إن معظم الإشارات في التطبيقات العملية تكون محملة بنسبة من الموضوعات.

4.2.3.2 PI-Controller

وتعتمد نظرية عمل هذا النوع على كل من فعل الحاكم التناصي بالإضافة إلى فعل الحاكم التكاملـي أي أنه يقوم بضرب إشارة الخطأ في رقم ثابت K_p بالإضافة إلى تكامـلها كما هو موضح في المخطط الصندوقـي المـبين في الشـكل (10-2) للحاكم التـناصي التـكاملـي حيث إن المقدار الثابت K_p هو كـسب الجـزء التـناصـي من الـحاـكم أـمـا K_I فهو كـسب الجـزء التـكـاملـي. وبـعـض الشـركـات الصـنـاعـية تـسـتـخـدـم معـامـلاً آخـرـ لـلـجـزـء التـكـاملـي هو $T_I = 1/K_I$ وـفـي هـذـهـ الـحـالـةـ يـتـمـ تمـثـيلـ الجـزـء التـكـاملـيـ بـالـمـقـدـارـ (1/T_I S). وـالـحـاكـمـاتـ الصـنـاعـيةـ منـ هـذـهـ الـنـوعـ تـزـودـ عـادـةـ بـوـسـيـلـةـ لـضـبـطـ كـلـ مـنـ T_Iـ أوـ K_Iـ أوـ K_pـ لـلـتـمـكـنـ مـنـ اـخـتـيـارـ الـقـيمـ الـمـنـاسـبـةـ حـسـبـ الـاستـخـدـامـاتـ وـالـتـطـبـيقـاتـ فـيـ الـحـيـاةـ الـعـمـلـيـةـ.



شكل (10-2) المخطط الصندوقـي للـحاـكمـ التـناصـيـ التـكـاملـيـ

ويتضح العمل الأساسي لهذا النوع من الحـاكـمـاتـ منـ المعـادـلاتـ الآـتـيةـ:

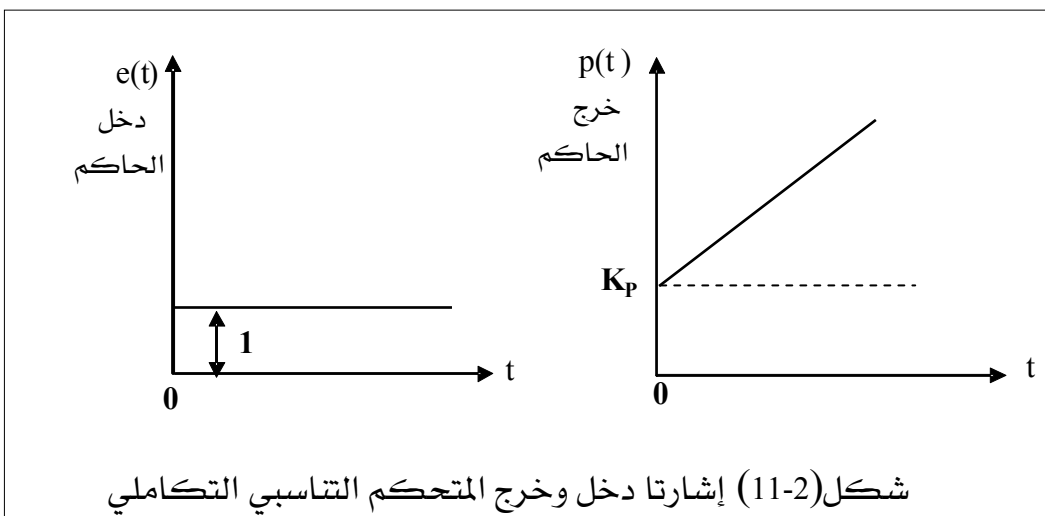
$$p(t) = K_p e(t) + K_I \int_0^t e(t) dt \quad (9-2)$$

$$\begin{aligned} P(s) &= K_p E(s) + \frac{K_I}{s} E(s) \\ &= (K_p + \frac{K_I}{s}) E(s) \end{aligned}$$



$$G_C(S) = \frac{P(s)}{E(s)} = K_p + \frac{K_i}{s} \quad (10-2)$$

ويبيّن شكل (11-2) العلاقة بين دخل وخرج الحاكم. فإذا كانت قيمة إشارة الخطأ تساوي واحد فإن الخرج يكون كما هو موضح بالشكل. أما إذا كان الحاكم تناصبياً فقط فيكون خرج الحاكم قيمة ثابتة K_p كما هو موضح بالخط الأفقي. أما في حالة الحاكم التناصبي التكاملـي فتزيد قيمة الخرج كما هو موضح بالخط المائل العلوي.



شكل(11-2) إشارات دخل وخرج المتحكم التناصبي التكاملـي

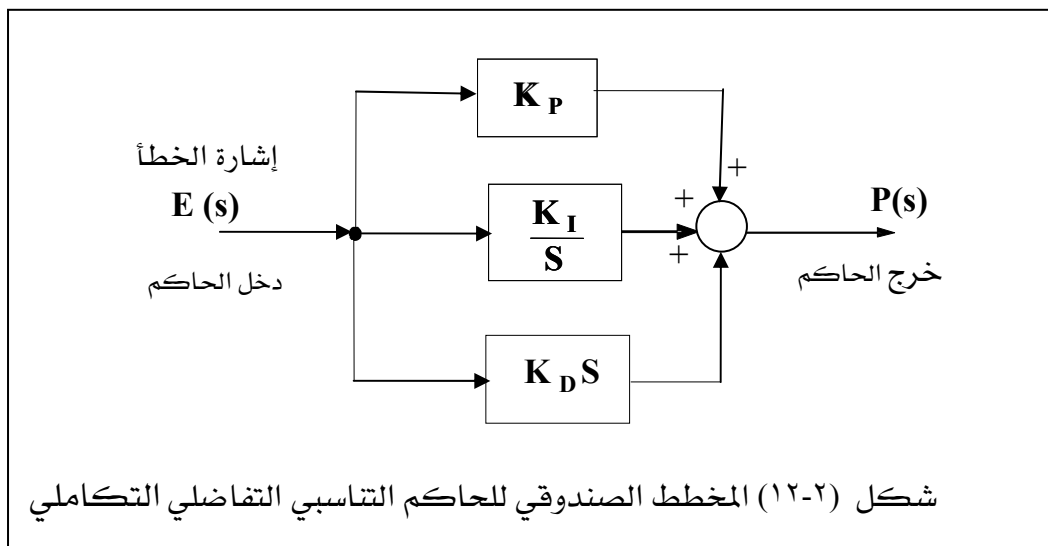
وتزود هذه الحاكم أيضاً في الحياة العملية بوسيلة لضبط قيم كل من K_p ، K_i ويتضح من شكل (11-2) أن تغيير K_p يؤثر على الجزء التناصبي والجزء التكاملـي في نفس الوقت أما تغيير K_i فيؤثر على الجزء التكاملـي فقط.

5.2.3.2 الحاكم التناصبي التكاملـي التفاضلي PID-Controller

وتعتمد نظرية عمل هذا النوع من الحاكـمات على تأثير كل من الحاكم التناصـي وـالحاكم التكاملـي وـالحاكم التفاضـلي وبالتالي فهو يجمع مزاياـ الثلاثة أنواع كما هو مبين بالشكل (11-2). ويـتضـح أساس عملـه من المعادلة (11-2) التالية:

$$p(t) = K_p e(t) + K_i \int_0^t e(t) dt + K_D \frac{d}{dt} e(t) \quad (11-2)$$

حيث إن $p(t)$ هي إشارة الخرج الحاكم ، $e(t)$ هي إشارة دخلـ الحاكم (إشارة الخطأ).

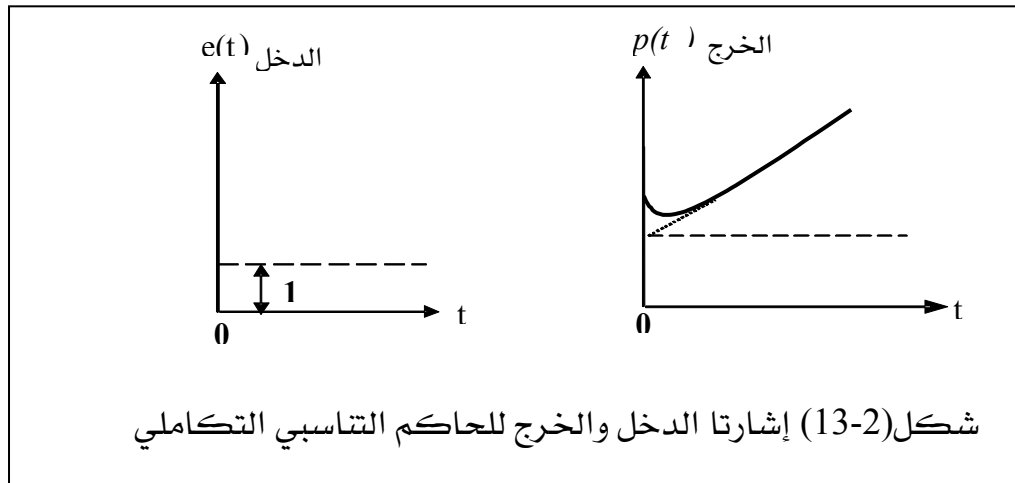


شكل (١٢-٢) المخطط الصندوقي للحاكم التناصبي التفاضلي التكامل

ويلاحظ أن K_p هو كسب الحاكم التناصبي و K_i هو كسب الحاكم التكامل و K_d هو كسب الحاكم التفاضلي ولإيجاد دالة التحويل لهذا الحاكم نجري التحويل الابلاسي للمعادلة السابقة (11-2) مع فرض أن جميع القيم الابتدائية تساوي الصفر فنحصل على:

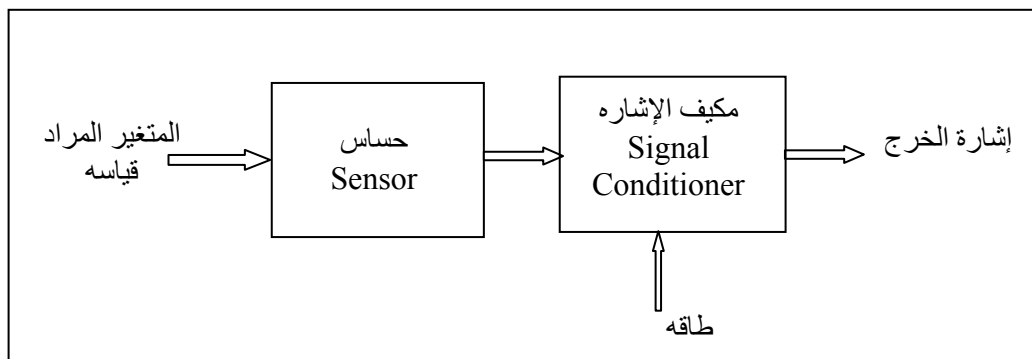
$$G_C(s) = \frac{P(s)}{E(s)} = K_p + \frac{K_i}{s} + K_d s \quad (12-2)$$

وفي الحياة العملية تزود الحاكمات بوسيلة لضبط كل من K_p , K_d , K_i ويلاحظ أن قيمة K_p في هذا النوع من التركيب تؤثر على كل من الحاكم التناصبي والحاكم التكامل والحاكم التفاضلي. أما قيمة K_i فإنها تؤثر فقط على الحاكم التكامل وقيمة K_d تؤثر فقط على الحاكم التفاضلي. ويبين الشكل (13-2) إشارات الدخول والخرج للحاكم التناصبي التكامل التفاضلي في حالة ما تكون إشارة الدخول عبارة عن دالة خطوة الواحدة. ويعتبر الحاكم التناصبي التكامل التفاضلي من أكثر الحاكمات استخداماً في أنظمة التحكم نظراً لجمعه لمزايا الأنواع الثلاثة السابقة حيث إنه يعطي أداء أكثر استقراراً.



4.2 الحساسات والمبدلات Sensors and Transducers

تعتبر عملية قياس الكميات الفيزيائية مثل درجات الحرارة والسرعة و الوضع والضغط وغيرها من أهم متطلبات عمليات التحكم الآلي حيث تتطلب تحويل الكميات الفيزيائية إلى إشارات يمكن قياسها ومقارنتها مع إشارات مماثلة. لذا فإن الحساسات والمبدلات من العناصر الهامة التي توجد في أنظمة التحكم المختلفة حيث أنها الأجهزة التي تأخذ على عاتقها مسؤولية تحويل الكميات الفيزيائية المختلفة إلى إشارات كهربائية قابلة للتكيير والقياس حتى يسهل التعامل معها عن طريق أجهزة التحكم. وبالتالي فإنها تعتبر بمثابة عناصر المراقبة والملاحظة وجمع المعلومات في نظم التحكم. والحساس هو أي جهاز يمكن أن يقوم بتحويل الظواهر الفيزيائية إلى كميات قابلة للقياس بواسطة أجهزة جمع البيانات. أما المبدلات فتعمل على الإحساس بالكمية المقاسة ثم يخرج إشارة كهربائية تتناسب مع الكمية المقاسة أو بعبارة أخرى فإن مبدلات الإشارة هي عناصر تقوم بتحويل نوع الإشارة الداخلة إليها إلى نوع آخر للطاقة عند المخرج. وبطبيعة الحال فإن كثيرةً من عناصر الحس يمكن أن تقوم بهذه الوظيفة بجانب وظيفتها الأساسية.



و يجب مراعاة الدقة عند اختيار الحساسات والمبولات بحيث تاسب التطبيق أو الوظيفة المنوط القيام بها مع مراعاة ما يلي:

- ١ يجب أن يعمل في نطاق مدى القياس المطلوب.
- ٢ يجب أن يكون ذا درجة عالية من الحساسية للكمية المراد قياسها.
- ٣ يجب أن يكون اختيار الحساس أو المبدل مناسباً للظروف المحيطة به من حرارة ورطوبة وخلافه حيث أن بعضها مصمم ليعمل تحت حرارة ورطوبة مقتضاه.
- ٤ يجب مراعاة الحجم والوزن عند اختيار الحساس.

5.2 عناصر التحكم النهائية Final Control Elements

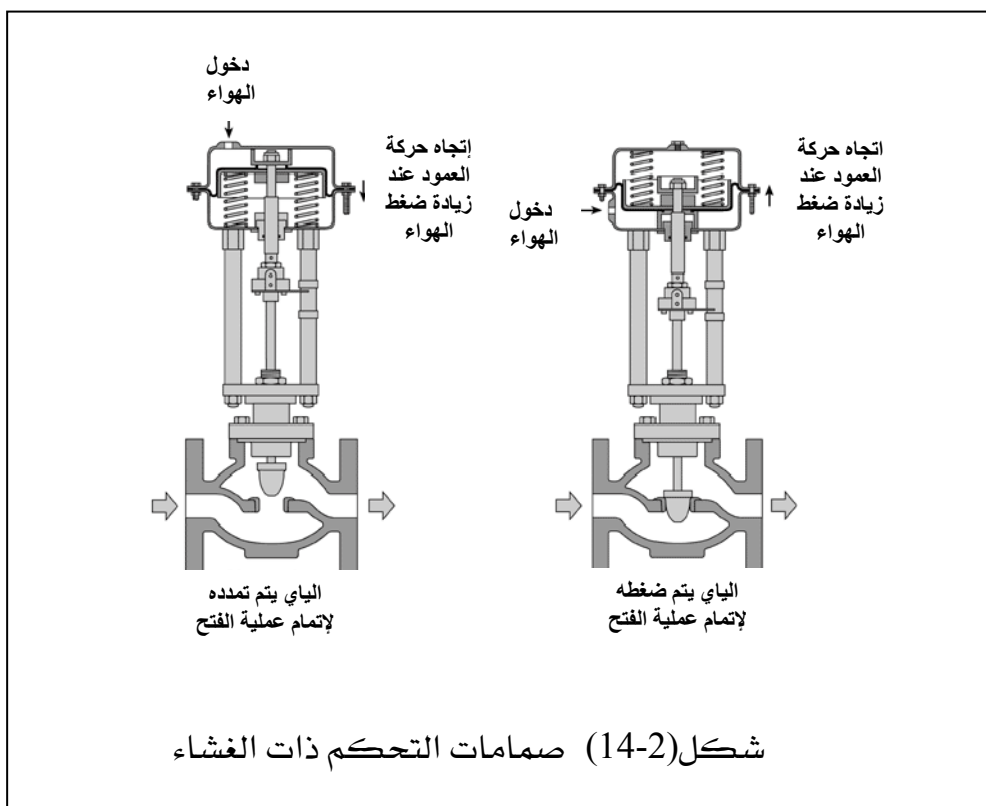
يعتبر عنصر التحكم النهائي هو العنصر الذي يتعامل مباشرة مع النظام المحكم إذ أنه يتلقى إشارة من مسار التحكم يقوم بتفعيلاها وبالتالي يستطيع أن يسيطر على الكمية المراد التحكم بها. تتم عملية التحكم النهائي على عدة مراحل حيث تبدأ بإشارة التحكم (إشارة خرج الحاكم) والتي تنتج من إشارة الخطأ بناءً على قاعدة تحكم محددة تعتمد على نوع الحاكم والتي هي بمثابة إشارة الدخل للمشغل Actuator الذي يقوم بإجراء يتناسب مع الأمر الصادر من الحاكم وذلك بالتأثير المباشر على عنصر التحكم النهائي والذي يكون غالباً على شكل صمام تحكم Control Valve. المشغلات هي العناصر التي تعمل على تحويل إشارة التحكم إلى فعل يتناسب مع عملية التحكم وتتقسم المشغلات إلى ثلاثة أنواع رئيسة هي:

- ١ المشغلات الهوائية Pneumatic Actuators
- ٢ المشغلات الكهربائية Electrical Actuators
- ٣ المشغلات اليدروليكيّة Hydraulic Actuators



1.5.2 صمامات التحكم Control Valves

كما سبق وأن ذكرنا سابقاً أن الحساسات والمبولات هي عناصر التحكم المنوط بها تجميع المعلومات الالزامية عن الكمية المراد التحكم فيها وكيفية تغييرها وإلى أي مدى تتطابق مع المواصفات المقرنة لها وإرسالها إلى الحاكم لاتخاذ القرارات المناسبة. وفي حالة وجود عدم تطابق بين القيمة الفعلية والقيمة المرغوبة للكمية المراد التحكم فيها يقوم الحاكم بإرسال أوامر لعنصر التحكم النهائي لكي يعيد الكمية المراد التحكم فيها لتصبح أقرب ما يكون إلى قيمتها المرغوبة. لذا فإن عنصر التحكم النهائي يعتبر من العناصر الهامة لإتمام عملية التحكم فهو الذي يقوم بتنفيذ قرارات الحاكم. إن أكثر عناصر التحكم النهائي استخداماً في عمليات التحكم الصناعية هي صمامات التحكم حيث تقوم بالتحكم في سريان المواقع مثل الغازات والبخار والماء أو مركبات كيميائية أو غيرها من المواقع للتعويض أي تغيرات طارئة للمحافظة على الكمية المراد التحكم فيها أقرب ما يمكن إلى الكمية المرغوبة لها (نقطة الضبط). ويكون صمام التحكم من جسم الصمام وأجزاء تهيئة والمشغل الذي يقوم بغلق وفتح الصمام والعديد من الأجزاء التكميلية مثل الحساسات Sensors ومحددات الوضع Positioners أو مفاتيح نهاية الشوط Limit Switches.



شكل(2-14) صمامات التحكم ذات الغشاء



شكل (14-2) يوضح أحد أنواع صمامات التحكم ذات الغشاء وفيها يتم استخدام الهواء المضغوط للضغط على الغشاء والذي بدوره يقوم بضغط البابي أو تمديده ليحرك عمود الصمام لإتمام عملية فتح الصمام أو غلقه.

2.5.2 المحركات الكهربائية Electric motors

المotor الكهربائي أو المشغل الكهربائي هو الآلة التي تقوم بتحويل الطاقة الكهربائية إلى طاقة ميكانيكية أي أنها تعمل على تحويل الإشارة الكهربائية إلى حركة. فيما يلي بعض أنواع المحركات الكهربائية التي تستخدم بكثرة في نظم التحكم :

- محركات التيار المستمر DC Motors

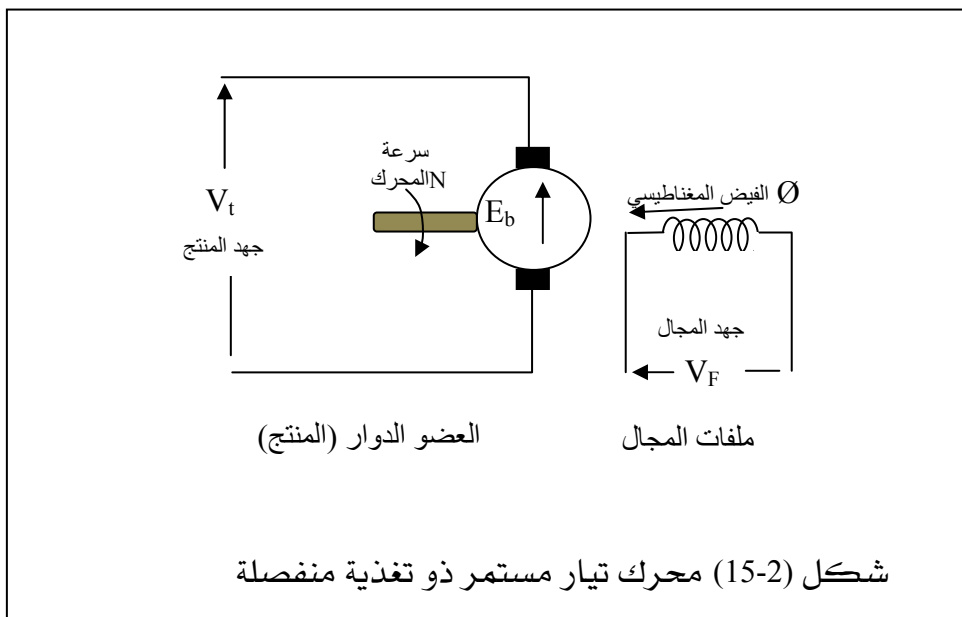
محركات التيار المستمر هي إحدى المحركات الرئيسية الأكثر استعمالاً في الصناعة. ومحركات التيار المستمر أهمية بالغة في تطبيقات التحكم الآلي نظراً لسهولة التحكم في حركتها قيمةً واتجاهًا أي أنه يمكن التحكم في سرعتها بقيم تبدأ من الصفر والى قيم كبيرة وفي الاتجاهين. وتتوفر هذه المحركات في الصناعة بعدة أنواع وأحجام وتميز بسهولة السيطرة عليها والتحكم فيها. ويمكن تصنيف محركات التيار المستمر حسب الطريقة التي يتم بها توصيل المجال المغناطيسي مع ملفات المنتج (العضو الدوار) فمنها محركات التوالي Series Motors ومنها محركات التوازي Shunt Motors ومنها المحركات ذات التغذية المنفصلة Separately excited Motors. وحيث أن النوعين الأول والثاني لهم منحنيات خصائص غير خطية فإن المحركات ذات التغذية المنفصلة (انظر شكل 15-2) هي الأكثر استخداماً في تطبيقات أنظمة التحكم حيث أنها تتمتع بخصائص خطية كما يسهل التحكم في سرعتها بطريقتين هما :

- التحكم في المجال المغناطيسي Field control

في هذه الطريقة يتم تغيير المجال المغناطيسي مع ثبات جهد المنتج (العضو الدوار).

- التحكم في جهد المنتج Armature Voltage Control

في هذه الحالة يتم تغيير جهد المنتج (العضو الدوار) مع ثبات المجال المغناطيسي .



○ محركات التيار المتردد AC Motors

وهي المحركات التي تعمل بالتيار المتردد ويوجد منها أنواع متعددة منها المحركات الاستنتاجية Induction Motors ومنها أحادية الأطوار أو ثلاثة الأطوار. والنوع الآخر هي محركات التيار المتردد التزامنية Synchronous Motors. وهذا النوع من المحركات يمكن التحكم في سرعتها ولكنها تحتاج إلى دوائر تحكم أكثر تعقيداً من تلك التي تستخدم للتحكم في محركات التيار المستمر.

○ محركات الخطوة Stepper Motors

محرك الخطوة هو أحد المشغلات الكهربائية التي تقوم بتحويل الإشارات نبضية أو متقطعة إلى حركة تناذرية. ولقد أصبحت محركات الخطوة من أهم المشغلات الكهربائية المستخدمة في السنوات الأخيرة وذلك بسبب حاجة أنظمة التحكم الحديثة لهذا النوع من الحركة التدريجية Incremental Motions في كثير من عمليات التحكم الصناعية. ولحركات الخطوة الكثير من التطبيقات في مجال التحكم في الريوط والأجهزة الطبية وللتحكم في الكثيرون من ملحقات الحاسوب الصناعي. ومن أهم مميزات محركات الخطوة أنها توفر دوائر تحكم ذات دائرة مفتوحة عالية الدقة للتحكم في وضع أو إزاحة الحمل والتي يتم التحكم فيها بالحاسوب أو الميكروبروسيسور أو الحاكمات القابلة للبرمجة. أما التحكم في محركات الخطوة فيكون عن طريق نبضات يمكن

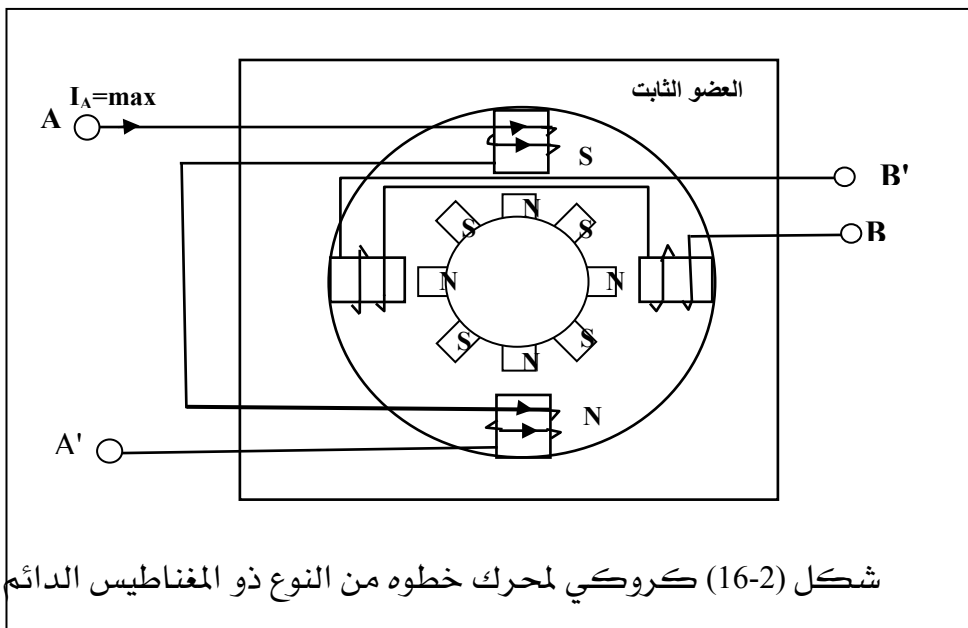


الحصول عليها من حاكم مبرمج أو جهاز كومبيوتر يتم تغذيتها إلى وحدة دوائر الدفع Drive Circuits التي بدورها تقوم بتحويل كل نبضة تحكم إلى تحريك عمود دوران المحرك خطوة واحدة.

مثل جميع أنواع المحركات الكهربائية يتكون محرك الخطوة من جزأين أساسيين هما العضو الثابت والعضو الدوار. وللعضو الثابت عدد زوجي من الأقطاب بينها مسافات متساوية وكل قطب يحمل ملف كهربائي. وكل زوجين متقابلين من ملفات الأقطاب متصلين على التوالي بحيث إذا كان أحد الأقطاب شمالي يصبح القطب المقابل جنوبى. أما العضو الدوار يمكن أن يحمل اثنين أو ثلاثة أو أربع دوائر منفصلة أو أطوار Phases. أما العضو الدوار فله عدد من السنون Teeth بينها وبين أقطاب العضو الثابت ثغرة هوائية صغيرة. ويتم تحديد زاوية الخطوة لمحرك الخطوة بالقاعدة التالية.

$$\text{زاوية الخطوة} = \frac{360^\circ}{\text{عدد الأطوار} \times \text{عدد سنون العضو الدوار}}$$

أي أن محرك الخطوة الذي له سنتان فقط في العضو الدوار والعضو الثابت له وجهان فإنه يتحرك بخطوة مقدارها ٩٠ درجة. يمكن تصنيف محركات الخطوة كحادية أو ثنائية أو ثلاثية أو رباعية الأطوار نسبةً إلى عدد ملفات العضو الثابت أو أنها تصنف حسب نوع العضو الدوار فتسمى محركات خطوة ذات مغناطيس دائم أو ذات ممانعة مغناطيسية متغيرة. الشكل التالي يوضح الرسم التخطيطي لمحرك خطوة من النوع ذو المغناطيس الدائم.





تمارين

- ١- اذكر دور كل من العناصر التالية في عمليات التحكم الصناعي:
- المشغل.
 - عنصر التحكم النهائي.
 - الحساسات والمبولات.
 - صمامات التحكم.
 - الحركات الكهربائية.
- ٢- اذكر مبدأ عمل كل من :
- الحاكم التناصبي.
 - الحاكم التفاضلي.
 - الحاكم التكاملـي.
- ٣- يتكون الحكم التناصبي التكاملـي من جزأين حاكم تناصبي بالإضافة إلى حاكم تكاملـي.
- اشرح فكرة عمل هذا الحكم مع ذكر مميزاته وعيوبه إن وجدت.
 - اكتـب المعادلات التفاضلية التي تصف هذا الحكم مع توضـيـح المخطط الصندوقي له.
 - اشـرح مع الرسمـ العلاقة بين دخـل وخرجـ الحكمـ فيـ حالةـ ماـ يـكونـ الدخـلـ دـالةـ خطـوةـ الـوـحدـةـ
- ٤- يتكونـ الحكمـ التـناصـبيـ التـكـاملـيـ التـفـاضـليـ منـ ثـلـاثـةـ أـجـزـاءـ حـاـكـمـ تـناـصـبيـ
- بالـإـضـافـةـ إـلـىـ حـاـكـمـ تـكـاملـيـ وـكـذـلـكـ حـاـكـمـ تـفـاضـليـ.
- اشـرحـ فـكـرةـ عـلـمـ هـذـاـ حـاـكـمـ معـ ذـكـرـ مـمـيـزـاتـهـ وـعـيـوبـهـ انـ وـجـدـتـ.
 - اكتـبـ المعـادـلاتـ التـفـاضـلـيةـ الـتـيـ توـصـفـ هـذـاـ حـاـكـمـ معـ توـضـيـحـ المـخـطـطـ الصـنـدوـقـيـ .
 - اشـرحـ معـ الرـسـمـ الـعـلـاقـةـ بـيـنـ دـخـلـ وـخـرـجـ حـاـكـمـ فيـ حـالـةـ مـاـ يـكـونـ الدـخـلـ دـالـةـ الـقـفـزـةـ قـدـرـهـاـ الـوـحدـةـ.



الوحدة الثالثة

الاستجابة الزمنية لنظم التحكم



الهدف العام للوحدة :

معرفة رتبة نظم التحكم الآلي والاستجابة الزمنية لها و معرفة كيفية استخدام منحنى الاستجابة الزمنية لتحديد خصائص النظام.

الأهداف التفصيلية :

١. أن يحدد المتدرب الدوال القياسية للدخل.
٢. أن يحدد المتدرب الاستجابة الزمنية لنظم الرتبة الأولى.
٣. أن يحدد المتدرب خصائص نظم الرتبة الأولى.
٤. أن يحدد المتدرب الاستجابة الزمنية لنظم الرتبة الثانية.
٥. أن يحدد المتدرب خصائص نظم الرتبة الثانية.
٦. أن يعرف المتدرب الاستجابة الدائمة والعابرة لنظم الرتبة الأولى والثانية.



مقدمة

في الوحدات السابقة تعرفنا على العناصر الأساسية في نظم التحكم الصناعية وكيفية تمثيلها رياضياً بالإضافة إلى استبدال النموذج الرياضي للنظام باستخدام المخططات الصندوقية. بعد ذلك تعرضنا إلى كيفية تبسيط المخططات الصندوقية أو استخدام مخططات تدفق الإشارات للحصول على دالة التحويل الشاملة للنظام والتي تعبر عن العلاقة التي تربط بين التحويل اللاطلاسي لكل من إشارتي الدخول والخرج. بعد معرفة دالة التحويل لنظم التحكم فإنه يكون من السهل دراسة وتحليل كل من أداء وخصائص النظام وتحديد استجابته الزمنية لبعض إشارات الدخل القياسية. وحيث أنه من الصعب التنبؤ بالصورة التي سوف يكون عليها الدخل أو بما سوف يتعرض إليه النظام من إشارات تشويش بشكل قاطع إلا في القليل من أنظمة التحكم لأن الدخل مرتبط بالظروف الطبيعية التي يعمل فيها النظام ويتغير مع الزمن وفقاً لما هو مطلوب على خرج النظام وكذلك قد يكون دخل النظام ذو طابع عشوائي لا نعلم عنه الكثير من المعلومات سوى الحدود التي يتغير فيها.

وفي تحليل وتصميم أنظمة التحكم يكون من الضروري معرفة استجابة نظام التحكم وذلك للمقارنة وتحسين الأداء وتقليل الخطأ سواء الخطأ الديناميكي أو الخطأ عند حالة الاستقرار بعد مرور التغيرات العابرة على النظام. ولمعرفة الاستجابة الزمنية لأي نظام تحكم فإنه ليس أمامنا من سبيل إلا باختيار دوال اختبار معينة واعتبارها دخل لنظام التحكم ثم دراسة وتحليل الاستجابة العابرة الخارجية من النظام والتي على أساسها يتم تصميم وتحسين أداء هذا النظام. ويجب أن يتم اختيار دالة الاختبار بحيث تعبّر ولو جزئياً عن الدخل المحتمل عند تشغيل النظام في الطبيعة مع مراعاة أن تكون دوال الاختبار هذه ممكناً التنفيذ عملياً داخل المختبر

في هذه الوحدة سوف نتناول دراسة الدوال القياسية والتي غالباً ما تستخدم كإشارات دخل لنظم التحكم عند دراسة الاستجابة الزمنية لها. وكذلك تحليل الاستجابة الزمنية لنظم الرتبة الأولى والثانية لدالة الخطوة كما أنها سوف نتعرف على خصائصها وكل من الاستجابة العابرة والدائمة لها.



3-1 الدوال القياسية للدخل:

من الدوال شائعة الاستعمال في دراسة الاستجابة الزمنية لنظم التحكم :

- دالة الخطوة Step Function
- دالة الانحدار Ramp Function
- دالة التسارع (أو العجلة) Acceleration Function
- دالة النبضة Impulse Function
- الدالة الجيبية Sinusoidal Function

وسوف نتطرق بالتفصيل لـ **كلًا** من هذه الأنواع على النحو التالي :

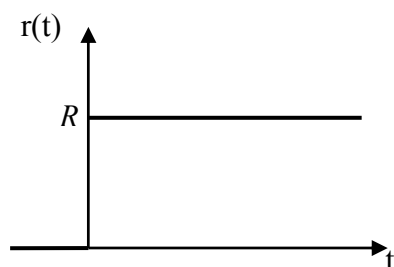
١) دالة الخطوة Step Function

دالة الخطوة هي إشارة تتغير قيمتها من مقدار معين ثابت (الصفر عادةً) إلى مقدار ثابت آخر R بشكل لحظي (أي خلال زمن يساوي صفر) كما هو مبين بالشكل (١-٣)، وتكتب دالة الخطوة رياضيًّا على الصورة التالية :

$$r(t) = Ru(t) \quad (1-3)$$

حيث تعبّر R عن اتساع الخطوة وتعبر $u(t)$ عن دالة خطوة الوحدة وقيمتها تساوي :

$$u(t) = \begin{cases} 1 & \text{for } t \geq 0 \\ 0 & \text{for } t < 0 \end{cases} \quad (2-3)$$



شكل (١-٣) دالة الخطوة.

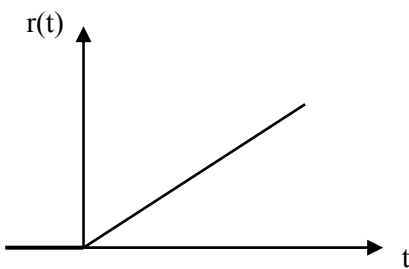
أما التحويل الlaplaceي لدالة الخطوة فهو :

$$R(s) = \frac{R}{s} \quad (3-3)$$

**٢) دالة الانحدار Ramp Function :**

دالة الانحدار هي إشارة تبدأ قيمتها عادةً من الصفر وتتزايد خطياً مع الزمن، أي أن هذه الدالة يمكن تمثيلها بيانياً بخط مستقيم يمر بنقطة الأصل كما بالشكل (٢-٣) ويمكن توليدتها عملياً من تكامل دالة الخطوة باستخدام مكبر العمليات أما الصيغة الرياضية لها فتكتب على الصورة التالية:

$$r(t) = \begin{cases} Rt & \text{for } t \geq 0 \\ 0 & \text{for } t < 0 \end{cases} \quad (4-3)$$



شكل (٢-٣) دالة الانحدار.

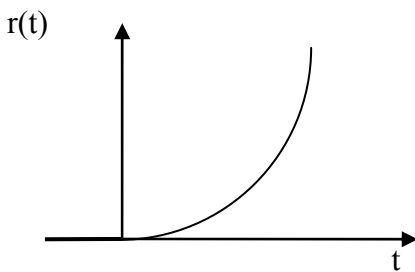
أما التحويل اللابلاسي للانحدار لدالة فهو:

$$R(s) = \frac{R}{s^2} \quad (5-3)$$

٣) دالة التسارع Acceleration Function :

دالة التسارع هي إشارة تبدأ قيمتها من الصفر وتتزايد بشكل غير خطى مع الزمن كما بالشكل (٣-٣)، ويجب ملاحظة أن دالة التسارع يمكن توليدها عملياً من تكامل دالة الانحدار باستخدام مكبر العمليات. أما الصيغة الرياضية لها فتكتب على الصورة التالية:

$$r(t) = \begin{cases} Rt^2 & \text{for } t \geq 0 \\ 0 & \text{for } t < 0 \end{cases} \quad (6-3)$$



شكل (٣-٣)، دالة التسارع.

أما التحويل الlaplaceي لدالة التسارع فهو:

$$R(s) = \frac{2R}{s^3} \quad (٧-٣)$$

٤) الدالة الجيبية:

الدالة الجيبية هي أكثر الإشارات الكهربية المعروفة لدى المتدربين (أو القارئ) وهي من الإشارات الدورية التي تتبع جيب الزاوية في كيفية تغيرها مع الزمن و صيغتها الرياضية تكتب على النحو التالي:

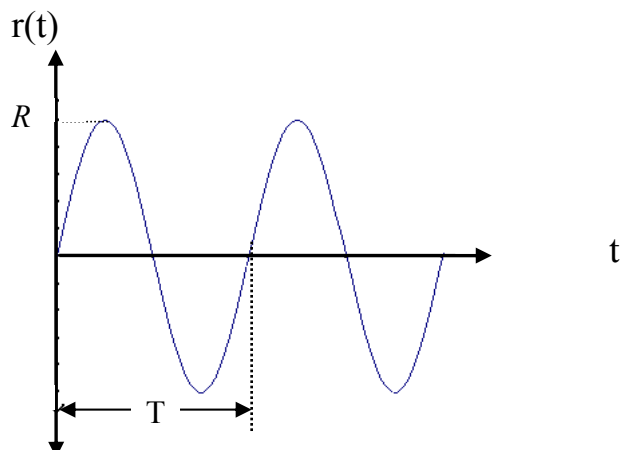
$$r(t) = R \sin(\omega t) \quad (٨-٣)$$

حيث أن

R = هي القيمة العظمى للدالة.

ω = هي التردد الزاوي وتقاس بـ (rad/s).

والشكل (٤-٣) يبين التمثيل البياني لهذه الدالة علماً بأن T هي الزمن الدوري ويقاس الثانية.



شكل (٤-٣)، الدالة الجيبية.



أما التحويل اللاطلاسي للدالة الجيبية فهو:

$$R(s) = \frac{\omega}{s^2 + \omega^2} \quad (9-3)$$

3- الاستجابة الزمنية لدالة الخطوة : Step Response

لإيجاد الاستجابة الزمنية لأي نظام يجب علينا معرفة إما المعادلة التفاضلية أو دالة التحويل لهذا النظام والتي تعطي العلاقة بين التحويل اللاطلاسي لكل من إشارة الخرج $C(s)$ وإشارة الدخل $R(s)$ والتي عادة ما تكون على شكل كثيرة حدود بعدها نتبع الخطوات التالية :

- ١ - حول المعادلة التفاضلية من نطاق الزمن إلى نطاق لا بلاس.
 - ٢ - أوجد التحويل اللاطلاسي لإشارة الخرج بدالة التحويل اللاطلاسي لإشارة الدخل والتي تكون عبارة عن كثيرة حدود.
 - ٣ - استخدم الكسور الجزئية لتجزئة كثيرة الحدود إلى أبسط صورها.
 - ٤ - أوجد تحويلات لا بلاس العكssية للحصول على الاستجابة الزمنية للنظام.
- وحيث أن الكسور الجزئية في معظم الأنظمة من الرتبة الأولى والرتبة الثانية وفي القليل من الأنظمة قد تكون هذه الكسور ذات رتب أعلى من الرتبة الثانية وذلك عندما تحتوي دالة التحويل على أقطاب متكررة. لذلك فإننا سوف نهتم بدراسة الاستجابة الزمنية لدالة الخطوة لأنظمة ذات الرتبة الأولى والرتبة الثانية على اعتبار أن الاستجابة الزمنية لأي نظام تحكم ما هي إلا تجميع لمثل هذه الاستجابات.

3-1 رتبة النظام System's Order

تعرف رتبة النظام بأنها أعلى درجة للمتغير S في مقام دالة التحويل الكلية. وبوضع دالة مقام دالة التحويل مساوياً للصفر فإننا نحصل على ما تسمى بالمعادلة المميزة Characteristic equation للنظام والتي تلعب دوراً كبيراً في تحديد ودراسة استقرارية النظم.

3-2 الاستجابة الزمنية لنظم الرتبة الأولى لدالة الخطوة. Step Response.

يمكن إيجاد الاستجابة الزمنية لنظام من الرتبة الأولى عندما يكون الدخل عبارة عن دالة الخطوة بإتباع الخطوات التالية:



١. اكتب المعادلة التفاضلية للنظام على الصورة القياسية التالية. لاحظ أن معامل c في الصورة القياسية مساوياً للواحد الصحيح.

$$\tau \frac{dc(t)}{dt} + c(t) = Kr(t) \quad (10-3)$$

علماً بأن:

τ : الثابت الزمني للنظام.

K : كسب النظام عند الاستقرار.

$r(t)$: دخل النظام.

$c(t)$: خرج النظام (أو استجابة النظام).

٢. أوجد التحويل اللابلاسي للمعادلة السابقة (١٠-٣) تحصل على:

$$\tau(sC(s) - c(0)) + C(s) = KR(s)$$

أعد ترتيبها على النحو التالي:

$$(s\tau + 1)C(s) = \tau c(0) + KR(s)$$

أوجد التحويل اللابلاسي لإشارة الخرج بقسمة طرفي المعادلة على المقدار $s\tau + 1$:

$$C(s) = c(0) \frac{\tau}{s\tau + 1} + \frac{KR}{s\tau + 1} \quad (10-3)$$

٣. عوض بالتحويل اللابلاسي لإشارة الخطوة أي أن:

$$R(s) = \frac{R}{s}$$

نحصل على

$$C(s) = c(0) \frac{\tau}{s\tau + 1} + KR \frac{1}{s(s\tau + 1)} \quad (11-3)$$

٤. أوجد تحويلات لابلاس العكسيّة للمعادلة السابقة:

لاحظ أن التحويل العكسي للمقدار الأول: $c(0) \frac{\tau}{s\tau + 1}$ يمكن الحصول عليه مباشرةً من

جدائل تحويلات لابلاس العكسيّة وهو كالتالي:



$$L^{-1}\left(c(0)\frac{\tau}{\tau s + 1}\right) = L^{-1}\left(c(0)\frac{\tau}{\tau\left(s + \frac{1}{\tau}\right)}\right) = c(0)e^{\frac{-t}{\tau}} \quad (12-3)$$

وللحصول على تحويل لا بلاس العكسي للمقدار $KR\frac{1}{s(\tau s + 1)}$ فإننا نستخدم طريقة الكسور

الجزئية كما يلي:

$$KR\frac{1}{s(\tau s + 1)} = \frac{A}{s} + \frac{B}{\tau s + 1}$$

حيث يتم الحصول على قيم A و B بالطريقة التالية:

$$\begin{aligned} A &= s \frac{KR}{s(\tau s + 1)} \Big|_{s=0} = KR \\ B &= (\tau s + 1) \frac{KR}{s(\tau s + 1)} \Big|_{s=\frac{-1}{\tau}} = -\tau KR \end{aligned}$$

وبالتغيير في المعادلة عن قيم كل من A و B نحصل على:

$$\begin{aligned} \frac{KR}{s(\tau s + 1)} &= \frac{KR}{s} - \frac{\tau KR}{\tau s + 1} \\ &= KR\left(\frac{1}{s} - \frac{\tau}{\tau s + 1}\right) \end{aligned}$$

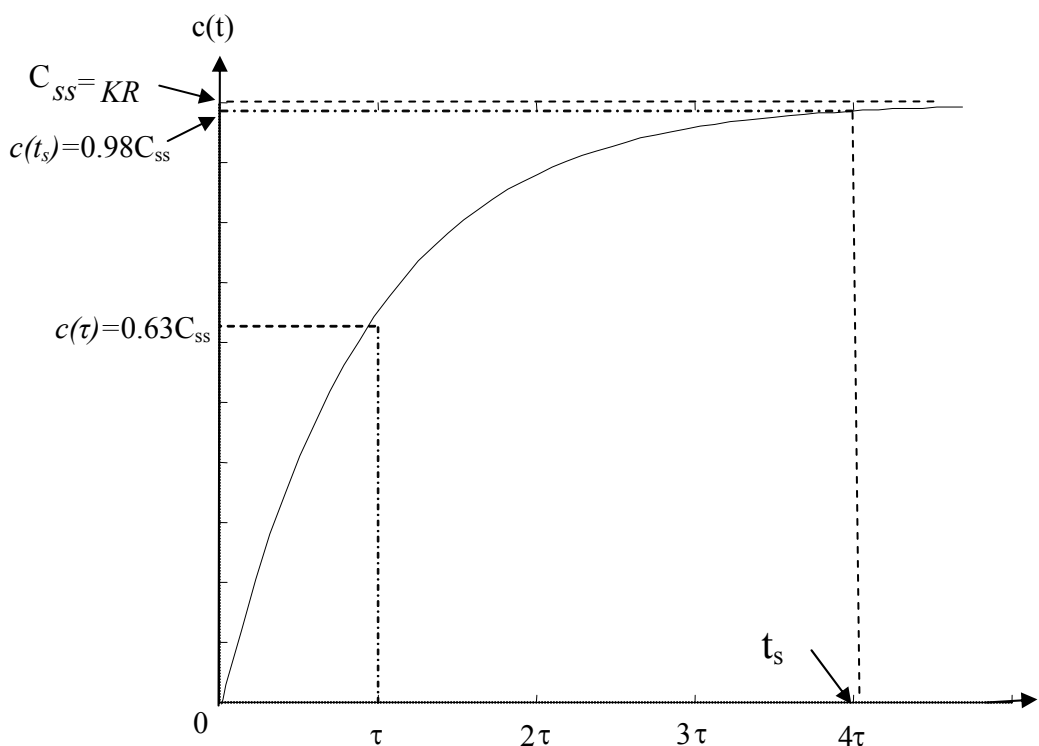
ومن ثم يكون تحويل لا بلاس العكسي هو:

$$L^{-1}\left(\frac{KR}{s(\tau s + 1)}\right) = KR(1 - e^{-t/\tau}) \quad (13-3)$$

وبالتالي تكون استجابة نظم الرتبة الأولى لإشارة الخطوة التي سعتها R هي:

$$C(t) = c(0)e^{-t/\tau} + KR(1 - e^{-t/\tau}) \quad (14-3)$$

عند رسم قيمة الخرج $C(t)$ كعلاقة مع الزمن نحصل على ما يسمى بمنحنى الاستجابة والذي يعبر عن كيفية تغير استجابة النظم بالنسبة للزمن. الشكل (٣-٥) يوضح منحنى الاستجابة لدالة الخطوة لنظام تحكم من الرتبة الأولى عندما تكون القيمة الابتدائية للاستجابة مساوية للصفر أي أن $c(0) = 0$.



شكل (٣-٥) منحنى الاستجابة الزمنية لنظام من الرتبة الأولى عندما تكون $c(0)=0$.

لاحظ أن الاستجابة تصل إلى حوالي ٩٨.٢٪ في زمن قدره 4τ ، وهو عبارة عن أربعة أمثال الثابت الزمني τ . أي أن الفرق بين الدخول والخرج يكون أقل من ٢٪ (وهو ما يسمى بالخطأ) والذي يتلاقص مع الزمن.

٣-٣-١-١ خصائص نظم الرتبة الأولى.

تعتبر القيم التالية من أهم خصائص نظم الرتبة الأولى:

١- الثابت الزمني τ :

وهو يستخدم لقياس سرعة استجابة النظام حيث أنه يعطي الانطباع عن سرعة انتقال الاستجابة لكي تصل إلى قيمتها النهاية. وهو معامل $\frac{dc(t)}{dt}$ أو $c'(t)$ في الصورة القياسية للمعادلة التفاضلية

٢- زمن الاستقرار t_s .

وهو الزمن اللازم لبلوغ استجابة النظام إلى ٩٨٪ من قيمتها النهاية، ويُحسب كالتالي:



$$t_s \cong 4\tau \quad (15-3)$$

-٣- قيمة الخرج عند الاستقرار C_{ss} .

وهي القيمة النهائية للاستجابة، ويمكن حسابها كالتالي:

$$\begin{aligned} C_{ss} &= \lim_{t \rightarrow \infty} c(t) \\ C_{ss} &= KR \end{aligned} \quad (16-3)$$

٤- معامل الكسب K

وهو خارج قسمة قيمة الخرج عند حالة الاستقرار على قيمة الدخل وهو أيضاً معامل $r(t)$ في الصورة القياسية لمعادلة النظام.

$$K = \frac{C_{ss}}{R} \quad (17-3)$$

٣-٢-٢-٢ الاستجابة العابرة والاستجابة الدائمة.

بالرجوع إلى معادلة الاستجابة الزمنية لدالة الخطوة لنظم الرتبة الأولى (١٤-٣) نجد أنها تتكون من جزأين هما:

١- الاستجابة العابرة transient response

٢- الاستجابة الدائمة steady state response

بالتالي تكتب الصيغة الرياضية للاستجابة الزمنية كما يلي:

$$C(t) = C_{tr}(t) + C_{ss}(t)$$

حيث إن:

(transient response) = $C_{tr}(t)$ الاستجابة العابرة

(steady state response) = $C_{ss}(t)$ الاستجابة الدائمة

Steady-state Response الجزء الأول وهو الاستجابة الدائمة

والاستجابة الدائمة هي جزء الاستجابة الذي لا يتأثر بعامل الزمن وتعرف أيضاً بالقيمة النهائية والتي يستقر عندها النظام بعد الاستقرار وتعطى

بالعلاقة التالية



$$C_{ss} = KR \quad (18-3)$$

الجزء الثاني وهو الاستجابة العابرة Transient Response

والاستجابة العابرة هي جزء الاستجابة الذي يتضاءل بمرور الزمن أي انه يتلاشى بعد فترة زمنية معينة وتعطى بالعلاقة التالية

$$C_{tr}(t) = c(0) e^{\frac{-t}{\tau}} - KR e^{\frac{-t}{\tau}} \quad (19-3)$$

مثال 1-3

أوجد الاستجابة الزمنية لدالة خطوة الوحدة للنظام التالي:

$$2c'(t) + 4c(t) = 20r(t)$$

$$c(0) = 0$$

ثم حدد كلاً من الاستجابة الدائمة والاستجابة العابرة.
الحل.

- المعادلة التفاضلية ليست في الصورة القياسية ولجعلها في الصورة القياسية نقسم طرفيها على 4 لجعل معامل $c(t)$ مساوياً للواحد فتصبح المعادلة كالتالي:

$$0.5c'(t) + c(t) = 5r(t)$$

وبمقارنة المعادلة السابقة مع الصورة القياسية نجد أن:

$$\text{الثابت الزمني: } \tau = 0.5$$

$$\text{كسـب النـظـام: } K = 5$$

- نعرض بالقيم السابقة في معادلة الاستجابة، علماً بأن قيمة $R = 1$ لإشارة خطوة الوحدة وأيضاً القيمة الابتدائية للاستجابة مساوية للصفر $(c(0) = 0)$ ، فنحصل على:

$$c(t) = 5(1 - e^{-\frac{t}{0.5}})$$

$$c(t) = 5 - 5e^{-2t}$$

- ومن معادلة الاستجابة نجد أن:

$$C_{ss} = 5 \quad \bullet \quad \text{الاستجابة الدائمة:}$$

$$C_{tr}(t) = -5e^{-2t} \quad \bullet \quad \text{والاستجابة العابرة:}$$



٣-٣ الاستجابة الزمنية لنظم الرتبة الثانية:

لإيجاد الاستجابة الزمنية لنظم الرتبة الثانية نتبع الخطوات التالية:

١. اكتب المعادلة التفاضلية للنظام في الصورة القياسية التالية والتي فيها معامل

$$c''(t) + 2\zeta\omega_n c'(t) + \omega_n^2 y(t) = K\omega_n^2 r(t) \quad \text{أو } \frac{d^2c(t)}{dt^2} + 2\zeta\omega_n c'(t) + \omega_n^2 c(t) = K\omega_n^2 r(t) \quad (٢٠-٣)$$

أو

$$c''(t) + 2\alpha c'(t) + \omega_n^2 c(t) = K\omega_n^2 r(t) \quad (٢٠-٣)$$

حيث يعرف كلاً من:

ω_n = تردد الرنين أو التردد الطبيعي الغير محدد

ζ = نسبة الإخماد .

α = معامل الإخماد ($\alpha = \zeta\omega_n$) .

K = كسب النظام عند الاستقرار.

ولتسهيل عملية تحليل الاستجابة الزمنية للنظام سوف نفترض أن القيم الابتدائية للنظام تساوي صفر.

٢. أوجد تحويلات لابلاس للمعادلة التفاضلية السابقة (٢٠-٣) تحصل على:

$$S^2 C(s) + 2\alpha S C(s) + \omega_n^2 C(s) = K\omega_n^2 R(s)$$

والتي يمكن إعادة كتابتها كما يلي:

$$(S^2 + 2\alpha S + \omega_n^2) C(s) = K\omega_n^2 R(s)$$

وبقسمة طرفي المعادلة على المقدار $s^2 + 2\alpha S + \omega_n^2$ نحصل على التالي:

$$C(s) = \frac{k\omega_n^2}{S^2 + 2\alpha S + \omega_n^2} R(s) \quad (٢١-٣)$$

٣. وبالتعويض عن $R(s) = \frac{R}{s}$ في المعادلة السابقة للاستجابة (٢١-٣) فإننا نحصل على:

$$C(s) = \frac{k\omega_n^2 R}{S(S^2 + 2\alpha S + \omega_n^2)} \quad (٢٢-٣)$$

كما ذكرنا سابقاً يسمى المقدار $s^2 + 2\alpha S + \omega_n^2$ بالمعادلة المميزة للنظام، وهي معادلة من الدرجة الثانية وكما هو معروف فإن لهذه المعادلة جذران هما:

$$p_{1,2} = -\alpha \pm \sqrt{\alpha^2 - \omega_n^2}$$



وتعتمد استجابة نظم الرتبة الثانية بشكل أساسي على قيمة الجذرين p_1 و p_2 و التي تعتمد بصورة أساسية على المميز أي قيمة α بالنسبة لقيمة ω_n والتي تؤدي إلى ثلاثة حالات هي:

3-3-1 الحالة الأولى: حالة الإخماد الزائد ($\zeta > 1$) Over Damping

في هذه الحالة تكون $\omega_n < \alpha$ أو بمعنى آخر تكون $\zeta > 1$ وفي هذه الحالة يكون الجذران حقيقيين وغير متساوين.

$$p_{1,2} = -\alpha \pm \sqrt{\alpha^2 - \omega_n^2}$$

باستخدام الكسور الجزئية وتحويلات لا بلاس العكسية نحصل معادلة الاستجابة الزمنية لنظم الرتبة الثانية لدالة الخطوة التي سعتها R في حالة الإخماد الزائد وهي:

$$C(t) = kR \left(1 + \frac{p_2}{p_1 - p_2} e^{p_1 t} - \frac{p_1}{p_1 - p_2} e^{p_2 t} \right) \quad (23-3)$$

3-3-2 الحالة الثانية: حالة الإخماد الحرjg ($\zeta = 1$) Critical Damping

في هذه الحالة تكون قيمة $\omega_n = \alpha$ أو بمعنى آخر تكون $\zeta = 1$ وفي هذه الحالة يكون الجذران حقيقيان وساابان ومتساويان أي أن.

$$p_{1,2} = -\omega_n \quad \text{أو} \quad p_{1,2} = -\alpha$$

وباستخدام الكسور الجزئية وتحويلات لا بلاس العكسية تكون الاستجابة الزمنية لنظم الرتبة الثانية لدالة الخطوة التي سعتها R في حالة الإخماد الحرjg على النحو التالي:

$$C(t) = KR \left(1 - (1 + \omega_n t) e^{-\omega_n t} \right) \quad (24-3)$$

3-3-3 الحالة الثالثة: حالة الإخماد الناقص ($\zeta < 1$) Under Damping

في هذه الحالة تكون قيمة $\omega_n > \alpha$ أو بمعنى آخر تكون $\zeta < 1$ ويكون الجذران عددين مركبان متراافقان

$$p_{1,2} = -\alpha \pm j\sqrt{\omega_n^2 - \alpha^2} = -\zeta\omega_n \pm j\omega_d$$



حيث يطلق على ω_d التردد الطبيعي المحمد ويمكن حسابه باستخدام العلاقة التالية:

$$\omega_d = \sqrt{\omega_n^2 - \alpha^2} = \omega_n \sqrt{1 - \zeta^2}$$

وباستخدام الكسور الجزئية وتحويلات لا بلاس العكسيّة تكون الاستجابة الزمنية لنظم الرتبة الثانية لدالة الخطوة التي سعتها R في حالة الإخماد الناقص على النحو التالي:

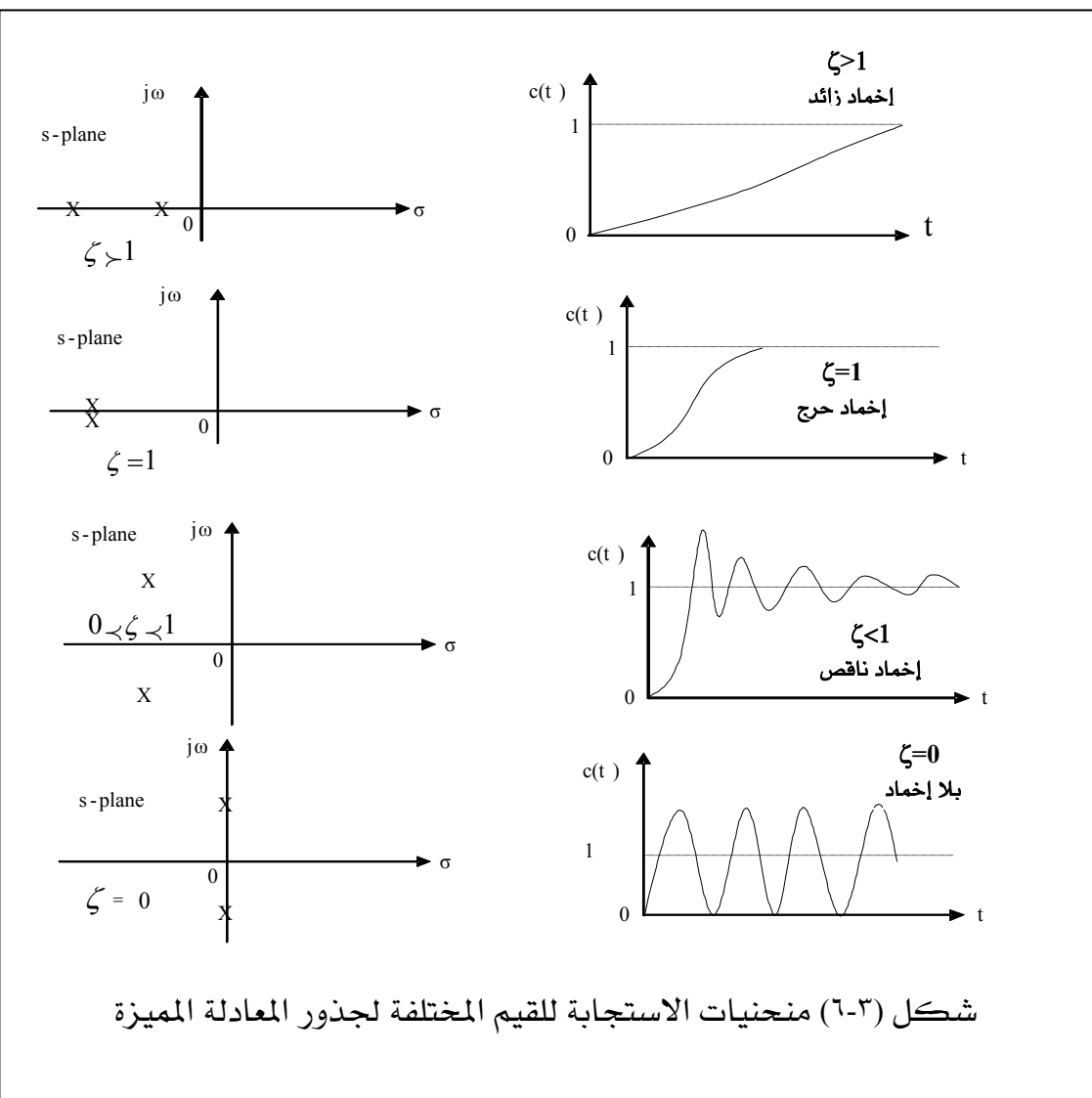
$$C(t) = KR \left(1 - \frac{e^{-\zeta \omega_n t}}{\sqrt{1 - \zeta^2}} \sin(\omega_d t + \phi) \right) \quad (25-3)$$

حيث أن:

$$\phi = \tan^{-1} \left(\frac{\sqrt{1 - \zeta^2}}{\zeta} \right) = \cos^{-1} \zeta$$

الشكل (٦-٣) يعطي استجابة نظم الرتبة الثانية لإشارة الخطوة لأنواع الإخماد الثلاثة، بالإضافة إلى حالة عدم الإخماد (Un-damped) والتي يمكن تلخيصها كما يلي:

- ١ **الإخماد الزائد:** منحنى الاستجابة لا يحتوي على اهتزازات ولا يتعدى القيمة النهائية للخرج.
- ٢ **الإخماد الحرّج:** هذه الحالة تعتبر وسطية بين حالتين الإخماد الزائد والإخماد الناقص، ومنحنى الاستجابة لا يحتوي على اهتزازات ولا يتعدى القيمة النهائية.
- ٣ **الإخماد الناقص:** منحنى الاستجابة يحتوي على اهتزازات ويتجاوز القيمة النهائية ولكنه بعد فترة زمنية تتلاشى الاهتزازات ويعود النظام إلى حالة الاستقرار.



شكل (٦-٣) منحنيات الاستجابة لقيم المختلفة لجذور المعادلة المميزة

مثال 2-3

إذا كانت العلاقة بين إشارة الدخل وإشارة الخرج لنظام تحكم من الرتبة الثانية تعطى

بالمعادلة التفاضلية التالية

$$\begin{aligned} c''(t) + 4c'(t) + 4c(t) &= 2r(t) \\ c(0) = c'(0) &= 0, \end{aligned}$$

وإشارة الدخل هي دالة الخطوة التالية

$$r(t) = \begin{cases} 1 & t \geq 0 \\ 0 & t < 0 \end{cases}$$



أوجد كلاً مما يلي:

- أ) تردد الرنين.
- ب) معامل الإخماد، ونوع الإخماد.
- ج) كسب النظام.
- د) الاستجابة الزمنية للنظام.

الحل:

أ) لاحظ أن معادلة النظام لها نفس شكل المعادلة القياسية لنظم الرتبة الثانية وإيجاد قيمة كلاً من تردد الرنين ومعامل الإخماد نقوم بمقارنة معادلة النظام مع المعادلة القياسية لنظم الرتبة الثانية ومنها نستنتج أن:

$$\omega_n^2 = 4 \Rightarrow \omega_n = \sqrt{4} \Rightarrow \omega_n = 2$$

من معامل $C(t)$ نجد أن تردد الرنين هو

ب) من معامل $C'(t)$ نجد أن معامل الإخماد هو

وبما أن قيمة α تساوي قيمة ω_n ($\alpha = \omega_n$) إذاً نوع الإخماد حرج.

ومن إشارة الخطوة نجد أن سعتها $R=1$

ج) مرة أخرى بمقارنة معادلة النظام مع المعادلة القياسية لنظم الرتبة الثانية ومنها نجد أن:

$$K\omega_n^2 = 2 \Rightarrow K = \frac{2}{\omega_n^2} \Rightarrow K = \frac{2}{4} \Rightarrow K = 0.5$$

د) في حالة الإخماد الحرج تكون معادلة الاستجابة كالتالي:

$$C(t) = KR \left(1 - (1 + \omega_n t) e^{-\omega_n t} \right)$$

لإيجاد استجابة النظام نعرض في المعادلة السابقة.

$$C(t) = 0.5 \left(1 - (1 + 2t) e^{-2t} \right)$$

مثال 3-3

إذا كانت العلاقة بين إشارة الدخل وإشارة الخرج لنظام تحكم من الرتبة الثانية تعطى

$$\frac{d^2 c(t)}{dt^2} + 34.5 \frac{dc(t)}{dt} + 1000c(t) = 1000r(t)$$

بالمعادلة التفاضلية التالية

$$c(0) = 0, \quad c'(0) = 0$$

حيث أن

وإشارة الدخل هي دالة الخطوة التالية

$$r(t) = \begin{cases} 1 & t \geq 0 \\ 0 & t < 0 \end{cases}$$



أوجد كلاً مما يلي:

- (أ) تردد الرنين
- (ب) معامل الإخماد، و نوع الإخماد.
- (ج) كسب النظام.
- (د) الاستجابة الزمنية للنظام.

الحل:

أ) لاحظ أن معادلة النظام لها نفس شكل المعادلة القياسية لنظم الرتبة الثانية و لإيجاد قيمة كلاً من تردد الرنين ومعامل الإخماد نقوم بمقارنة معادلة النظام مع المعادلة القياسية لنظم الرتبة الثانية ومنها نستنتج أن:

من معامل $c(t)$ نجد أن تردد الرنين هو

$$\omega_n^2 = 1000 \Rightarrow \omega_n = \sqrt{1000} \Rightarrow \omega_n = 31.62$$

ب) من معامل $c'(t)$ نجد أن معامل الإخماد هو

$$2\alpha = 34.5 \Rightarrow \alpha = 17.25 \Rightarrow \zeta = 0.545$$

وبما أن قيمة α أقل من قيمة ω_n (أو $\zeta < 1$) إذاً نوع الإخماد ناقص.

ومن إشارة الخطوة نجد أن سعتها $R=1$

ج) مرة أخرى بمقارنة معادلة النظام مع المعادلة القياسية لنظم الرتبة الثانية ومنها نجد أن:

$$K\omega_n^2 = 1000 \Rightarrow K = \frac{1000}{\omega_n^2} \Rightarrow K = 1$$

د) في حالة الإخماد الناقص تكون معادلة الاستجابة كالتالي:

$$C(t) = KR \left(1 - \frac{e^{-\zeta\omega_n t}}{\sqrt{1-\zeta^2}} \sin(\omega_d t + \phi) \right)$$

$$\phi = \cos^{-1} \zeta = \cos^{-1}(0.545) = 56.9^\circ = 0.994 \text{ rad.} \quad \text{حيث}$$

$$\omega_d = \sqrt{1-\zeta^2} = \sqrt{1-(0.546)^2} = 26.5 \text{ rad.} \quad \text{و}$$

لإيجاد استجابة النظام نعرض في المعادلة السابقة فنحصل على.

$$C(t) = (1 - 1.193 e^{-17.25 t} \sin(26.5 t + 0.994))$$



وحيث أن الاستجابة الزمنية تقسم إلى جزأين هما:

$$C(t) = C_{tr}(t) + C_{ss}(t)$$

حيث إن: $C_{tr}(t)$ = الاستجابة العابرة (transient response)

$C_{ss}(t)$ = الاستجابة الدائمة (steady state response)

ففي نظم الرتبة الثانية تختلف صيغة الاستجابة العابرة باختلاف نوع الإخماد، ولكن كما ذكرنا سابقاً فإن الاستجابة العابرة هي جزء من الاستجابة الذي سوف يتلاشى بعد مرور زمن معين يعتمد على سرعة استجابة النظام.

3-3-4 خصائص نظم الرتبة الثانية:

غالباً ما تستخدم استجابة نظم التحكم للإشارات القياسية مثل إشارة الخطوة للحكم على أداء النظم وذلك من خلال النظر إلى منحنى الاستجابة. وتعتبر الاستجابة أساساً للمقارنة بين أداء النظم وتحديد ما إذا كان أداء النظام مقبولاً أم لا ومن ثم عمل التطوير اللازم لتحسين الأداء. و الشكل التالي يبين استجابة نموذجية لنظام من الرتبة الثانية لإشارة الخطوة عندما يكون الإخماد ناقصاً.

وعند عمل المقارنة يتم توحيد الشروط الابتدائية واعتبارها جميعاً متساوية للصفر وتكون المواصفات التالية هي الأساس المتفق عليه عند مقارنة استجابات النظم.

١. زمن التأخير t_d :

الזמן اللازم لبلوغ الاستجابة ٥٠٪ من قيمتها النهائية للمرة الأولى.

٢. زمن الصعود t_r :

الזמן اللازم لكي تسلق الاستجابة من ١٠٪ إلى ٩٠٪ من قيمتها النهائية.

$$t_r = \frac{\pi - \varphi}{\omega_d} \quad (26-3)$$

حيث أن $\varphi = \cos^{-1}$

٣. أقصى ذروة C_p :

أعلى قيمة تبلغها الاستجابة.



٤. زمن الذروة: t_p

هو الزمن الذي تصل عنده الاستجابة لأقصى قيمة، ويمكن حسابه أيضاً من العلاقة

التالية:

$$t_p = \frac{\pi}{\sqrt{\omega_n^2 - \alpha^2}} = \frac{\pi}{\omega_n \sqrt{1 - \zeta^2}} \quad (27-3)$$

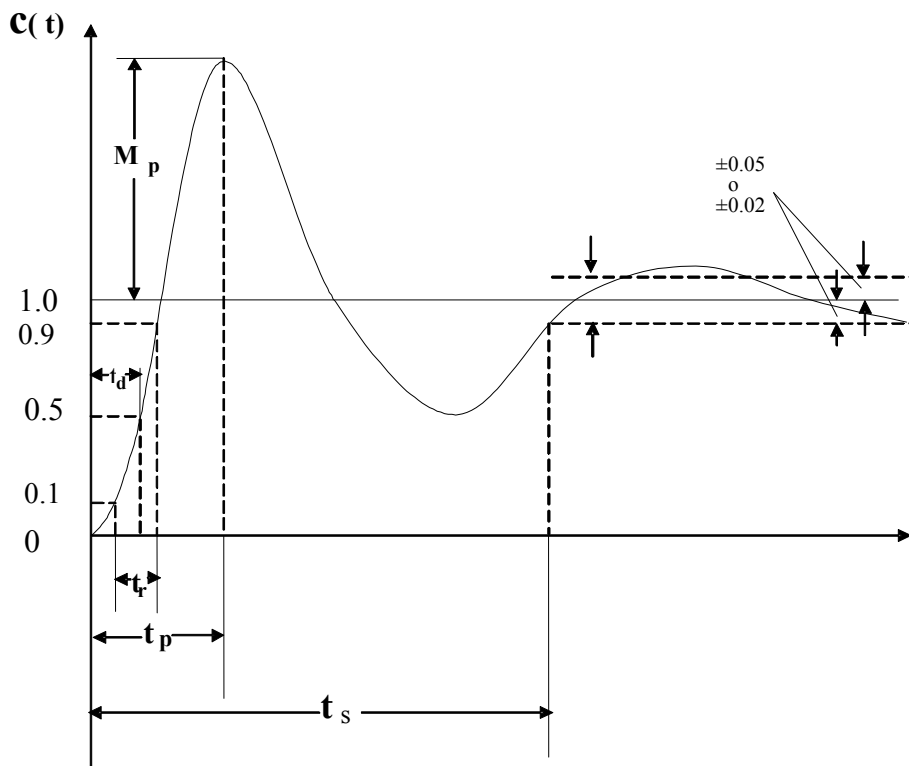
٥. زمن الاستقرار: t_s

الزمن اللازم لبقاء الاستجابة في حدود نسبة مئوية من قيمتها النهاية (مثلاً $\pm 2\%$ أو $\pm 5\%$)

٦. أقصى تجاوز: M_p

$$M_p = c_p - c_{ss} = e^{-\zeta\pi/\sqrt{1-\zeta^2}} \quad (28-3)$$

حيث c_p يمثل أقصى قيمة للاستجابة و c_{ss} يمثل القيمة النهاية للاستجابة.



شكل (٣-٨) الاستجابة الزمنية لدالة الخطوة



٧. التردد الزاوي للاهتزازات المحمدة:

$$\omega_d = \sqrt{\omega_n^2 - \alpha^2} = \omega_n \sqrt{1 - \zeta^2} \quad (٢٩-٣)$$

٨. زمن الاستقرار Settling time

$$t_s = 4\tau \quad (٢٩-٤)$$

مثال 4-3

إذا علمت أن نسبة الإخماد $\xi = 0.6$ وتردد الرنين $\omega_n = 5 \text{ rad/sec}$ للاستجابة الزمنية لدالة الخطوة لنظام تحكم من الرتبة الثانية فأوجد كلاً من:

- أ- زمن الارتفاع (t_r)
- ب- زمن الذروة (t_p)
- ج- زمن الاستقرار (t_s)
- د- أقصى تجاوز (M_p)

الحل:

نقوم أولاً بحساب التردد الزاوي المحمد ومعامل الإخماد وكذلك الزاوية φ كالتالي:

$$\omega_d = \omega_n \sqrt{1 - \xi^2} = 5 \sqrt{1 - 0.6^2} = 4 \text{ rad/sec}$$

$$\varphi = \cos^{-1}(\xi) = \cos^{-1}(0.6) = 53.13^\circ$$

$$\varphi = 53.13^\circ \times \frac{\pi}{180} = 0.93 \text{ rad}$$

-أ زمن الارتفاع rise time

$$t_r = \frac{\pi - \varphi}{\omega_d} = \frac{3.14 - 0.93}{4} = 0.55 \text{ sec}$$

-ب زمن القمة peak time

$$t_p = \frac{\pi}{\omega_d} = \frac{3.14}{4} = 0.785 \text{ sec}$$



ـ جـ زمن الاستقرار settling time

$$t_s = \frac{4}{\alpha} = \frac{4}{3} = 1.33 \text{ sec}$$

ـ دـ أقصى تجاوز maximum overshoot

$$M_p = e^{(-\frac{\sigma}{\omega_d})\pi} = e^{-(\frac{3}{4})3.14} = 0.095$$

وتكون النسبة المئوية لأقصى تجاوز هي:

$$M_p = 0.095 \times 100 = 9.5\%$$



تمارين

١. نظام تحكم له المعادلة التفاضلية وإشارة الخطوة التالية:

$$c'(t) + 10c(t) = 10r(t)$$

$$c(0) = 0$$

$$r(t) = \begin{cases} 5 & t \geq 0 \\ 0 & t < 0 \end{cases}$$

أوجد ما يلي:

- (أ) الثابت الزمني.
- (ب) كسب النظام.
- (ج) الاستجابة الزمنية.
- (د) الاستجابة الدائمة والعايرة.

٢. نظام تحكم من الرتبة الأولى له المعادلة التفاضلية وإشارة الخطوة التالية:

$$10c'(t) + c(t) = r(t)$$

$$c(0) = 0$$

$$r(t) = \begin{cases} 10 & t \geq 0 \\ 0 & t < 0 \end{cases}$$

أوجد ما يلي:

- (أ) الثابت الزمني.
- (ب) كسب النظام.
- (ج) الاستجابة الزمنية.
- (د) الاستجابة الدائمة والعايرة.

٣. نظام تحكم له المعادلة التفاضلية وإشارة الخطوة التالية:

$$c''(t) + 4c'(t) + c(t) = 16r(t)$$

$$c(0) = c'(0) = 0$$

$$r(t) = \begin{cases} 5 & t \geq 0 \\ 0 & t < 0 \end{cases}$$

أوجد ما يلي:

- (أ) تردد الرنين ومعامل الإخماد، ثم حدد نوع الإخماد.



ب) كسب النظام.

ج) الاستجابة الزمنية.

د) حدد الاستجابة الدائمة والعايرة

٤. نظام تحكم من الدرجة الثانية ممثل بالمعادلة التفاضلية وإشارة الخطوة التالية:

$$c''(t) + 2c'(t) + c(t) = 10r(t)$$

$$c(0) = c'(0) = 0,$$

$$r(t) = \begin{cases} 1 & t \geq 0 \\ 0 & t < 0 \end{cases}$$

أوجد ما يلي:

أ) تردد الرنين ومعامل الإخماد، ثم حدد نوع الإخماد.

ب) كسب النظام.

ج) الاستجابة الزمنية.

٥. نظام تحكم له المعادلة التفاضلية وإشارة الخطوة التالية:

$$c''(t) + 4c'(t) + 8c(t) = 16r(t)$$

$$c(0) = c'(0) = 0$$

$$c(t) = \begin{cases} 5 & t \geq 0 \\ 0 & t < 0 \end{cases}$$

أوجد :

أ) تردد الرنين ومعامل الإخماد، وما هو نوع الإخماد.

ب) كسب النظام.

ج) الاستجابة الزمنية.

د) ارسم منحنى الاستجابة.

٦ - نظام تحكم من الدرجة الثانية له نسبة الإخماد $\zeta = 0.8$ وتردد الرنين $\omega_n = 6 \text{ rad/sec}$ لاستجابته الزمنية لدالة الخطوة فأوجد كلاً من:أ - زمن الارتفاع (t_r)ب - زمن القمة (t_p)

ج - زمن الاستقرار (t_s)د - أقصى تجاوز (M_p):

-٧ ليكن النظام التالي

$$c''(t) + 3c'(t) + 2c(t) = 2r(t)$$

$$c(0) = c'(0) = 0,$$

$$r(t) = \begin{cases} 1 & t \geq 0 \\ 0 & t < 0 \end{cases}$$

أوجد ما يلي

أ. تردد الرنين ومعامل الإخماد ونوع الإخماد

ب. كسب النظام

ج. الاستجابة لدالة خطوة الوحدة

د. ارسم منحنى الاستجابة

-٩ ليكن النظام التالي

$$2c''(t) + 4c'(t) + 2c(t) = 20r(t)$$

$$c(0) = c'(0) = 0,$$

$$r(t) = \begin{cases} 4 & t \geq 0 \\ 0 & t < 0 \end{cases}$$

أوجد ما يلي

أ. تردد الرنين ومعامل الإخماد ونوع الإخماد

ب. كسب النظام

ج. الاستجابة لإشارة الخطوة .

د. ارسم منحنى الاستجابة



الوحدة الرابعة

منظومة التحكم ذات الحلقة المغلقة

**الهدف العام للوحدة :**

تحديد إشارة الخطأ و معرفة تأثير الحاكمات المختلفة على قيمتها عند الاستقرار.

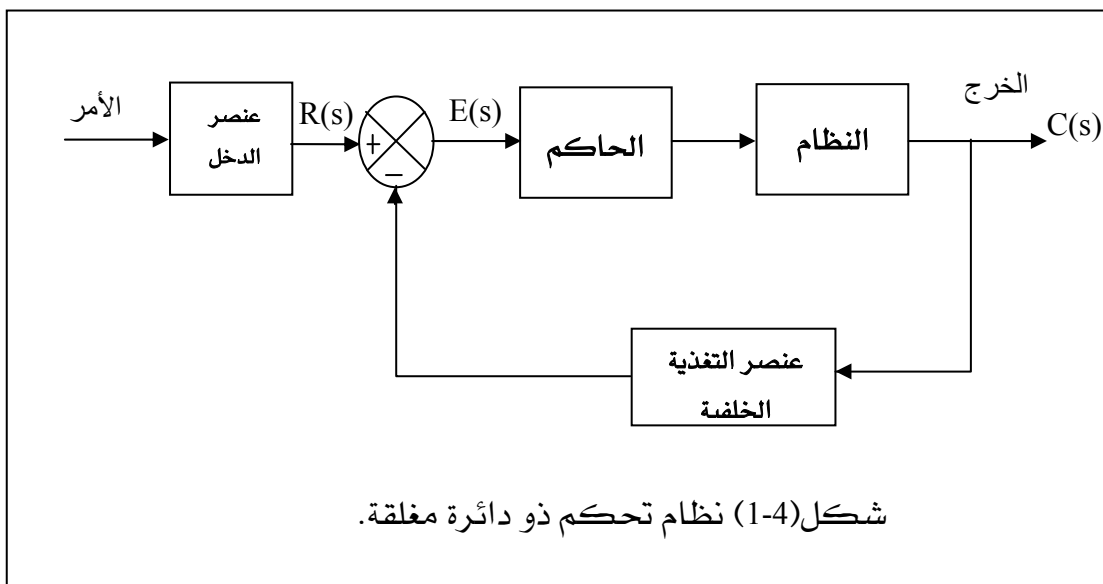
الأهداف التفصيلية :

١. أن يعرف المتدرب التحكم ذو الحلقة المغلقة.
٢. أن يعرف المتدرب مزايا و خواص نظم التحكم ذات الحلقة المغلقة.
٣. أن يعرف المتدرب إشارة الخطأ في حلقة تحكم مغلقة
٤. أن يعرف المتدرب تأثير الحكم التناصي على إشارة الخطأ
٥. أن يعرف المتدرب تأثير الحكم التفاضلي على إشارة الخطأ
٦. أن يعرف المتدرب تأثير الحكم التكامل على إشارة الخطأ
٧. أن يعرف المتدرب تأثير الحكم التناصي التكامل على إشارة الخطأ
٨. أن يعرف المتدرب تأثير الحكم التناصي التفاضلي على إشارة الخطأ



4-1 التحكم ذو الحلقة المغلقة Closed-loop Control

نظام التحكم ذو الحلقة المغلقة هو نظام فيه يتم توليد إشارة التحكم بعد مقارنة القيمة الفعلية لإشارة الخرج مع إشارة المرجع والتي تمثل القيمة المرغوب فيها لإشارة الخرج وبالتالي فإنه في نظم التحكم ذات الحلقة المغلقة يكون لإشارة الخرج تأثير مباشر على عملية التحكم. غالباً ما يطلق على أنظمة التحكم ذات الحلقة المغلقة بأنظمة التحكم ذات التغذية الخلفية Feedback Control Systems.



شكل(4-1) نظام تحكم ذو دائرة مغلقة.

الشكل (4-1) يوضح المخطط الصندوقي block diagram الذي يمثل نظام تحكم ذي حلقة مغلقة، وفيه يكون الفرق بين إشارة الدخول المرجعي وإشارة التغذية الخلفية والذي يسمى بإشارة الخطأ (E) والتي تقوم بتشغيل الحاكم controller الذي يقوم بتفعيل عنصر التحكم النهائي ليؤثر بدوره على الوحدة أو النظام المراد التحكم فيه plant للعمل على تقليل أو إلغاء الخطأ وبالتالي ضبط الخرج عند القيمة المرغوبة. ويجب ملاحظة أن عنصر التغذية الخلفية (عادة ما يكون جهاز القياس أو حساس) يقوم بقياس الخرج وتحويله إلى إشارة تمايز إشارة الدخول المرجعي من حيث النوع ووحدة القياس حتى يمكن مقارنتهما في عنصر المقارنة. ويسمى الدخول هنا عادة الدخول المقارن وذلك لأنه تتم مقارنته مع إشارة التغذية الخلفية التي هي الخرج بعد قياسه وتحويله إلى إشارة ممكناً مقارنتها بالدخل. ومن أمثلة عناصر المقارنة المكبر الإلكتروني operational amplifier وهناك عناصر مقارنة ميكانيكية وأجهزة الهواء المضغوط وخلافه.



وغالباً ما تكون إشارة التحكم الخارجية من الحاكم قيمتها صغيرة لذا فإننا نستخدم مكبر قدرة (كهربائي أو ميكانيكي) لتكبيرها لتصبح قادرة على التأثير في عنصر التحكم النهائي والذي بدوره يؤثر في النظام المراد التحكم فيه plant . وتميز أنظمة التحكم ذات الحلقة المغلقة باستخدام التغذية الخلفية التي تجعل النظام المتحكم فيه قليل الحساسية للأضطرابات الخارجية والتي قد تحدث في محطيه أو التغيرات الداخلية والتي قد تحدث في معاملاته وهذا مالا يمكن تحقيقه في نظم التحكم ذات الحلقة المفتوحة. لكن أنظمة التحكم ذات الحلقة المغلقة أكثر تعقيداً وأعلى تكلفة من نظم التحكم ذات الحلقة المفتوحة كما أنها معرضة أيضاً للتذبذب وعدم الاستقرار.

4-2 الخواص المرغوبة في نظم التحكم ذات الحلقة المغلقة

مما سبق يمكننا القول بأنه في منظومة التحكم ذات الحلقة المغلقة يقوم الحاكم باستقبال إشارات من أجهزة القياس التي تقوم بدور المراقب للنظام ثم بعد ذلك يقوم الحاكم باتخاذ القرار المناسب وذلك بإرسال إشارة التحكم إلى باقي عناصره للتنفيذ. ومن الخواص التي يجب أن تتوفر في نظم التحكم ذات الحلقة المغلقة من أهمها:

- **الاستقرار.**
يجب أن تظل الكميات المحكومة محدودة بحيث لا تمو بلا حدود.
- **الدقة.**
يجب أن تكون القيمة الفعلية للكمية المراد التحكم فيها أقرب ما يمكن أو مساوية تماماً للقيمة المرغوبة للكمية المراد التحكم فيها.
- **سرعة الاستجابة.**
يجب أن تصل القيمة الفعلية للكمية المراد التحكم فيها إلى القيمة المطلوبة في وقت مناسب.
- **التكلفة.**
يجب أن تكون تكلفة إنجاز عملية التحكم مناسبة لعملية التحكم ولا تكون باهظة جداً.



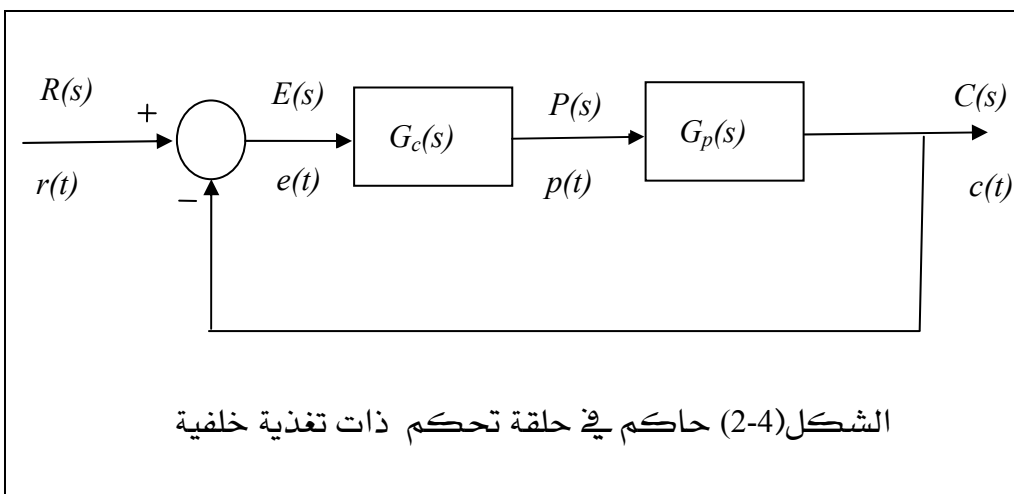
4- دور المحكمات في ضبط الدائرة المغلقة

يعتبر المحاكم من أهم العناصر الموجودة في منظومة التحكم الآلي إذ أنه يعتبر بمثابة العقل المدبر والمفكر بالنسبة للنظام ككل. فكما ذكرنا سلفاً فإن المحاكم يقوم باتخاذ القرارات المناسبة تبعاً لقاعدة تحكم خاصة بنوعه وإرسال إشارات التحكم عند حدوث أي تغيرات طارئة في محطيه أو أية تغيرات داخلية في معاملاته. كما يتلقى المعلومات المختلفة من الحساسات وأجهزة القياس التي تراقب النظام وتغيرات التحكم فيها ويقوم بإرسال إشارات محسوبة ومقننة إلى عناصر التحكم لتقوم هي الأخرى لتنفيذ تلك الإشارات والقرارات وتستمر هذه العملية في الحدوث إلى أن تعود المتغيرات المحكومة إلى قيمتها المرغوبة.

وهذا يعني أن المحاكم في منظومة التحكم يعمل بشكل مستمر طوال فترة التشغيل لتقليل قيمة الخطأ بين كل من القيمة المرغوبة والقيمة الفعلية للمتغير المحكم. في هذه الوحدة سوف نقوم بتوضيح كيفية الحصول على التحويل الالبلاسي لإشارة الخطأ التي تنشأ في حلقات التحكم المغلقة وبعد ذلك سنقوم بدراسة تأثير كل من المحاكم التناصي والمحاكم التكاملي والمحاكم التفاضلي والمحاكم التناصي التكاملي والمحاكم التناصي التكاملي التفاضلي على إشارة الخطأ. كما أنها سنقوم بدراسة وتوضيح تأثير معاملاتها كل من إشارة الخطأ واستجابة نظم التحكم ذات الحلقات المغلقة.

4- التحويل الالبلاسي لإشارة الخطأ

سبق لنا وأن عرفنا إشارة الخطأ في الوحدة الأولى على أنها الإشارة التي تعبّر عن الفرق بين إشارة الدخل المرجعي وإشارة الخرج. وتتّجّه هذه الإشارة من عنصر المقارنة (المقارن) حيث يقوم بمقارنة الإشارتين السابقتين. في الشكل التالي تظهر إشارة الخطأ كفرق بين الإشارتين $r(t)$ و $b(t)$ حيث $r(t)$ هي الدخل المرجعي و $b(t)$ هي قياس لقيمة الفعلية للمتغير المراد التحكم فيه $c(t)$.



علماً بأن : $G_p(s)$ هي دالة تحويل النظام المراد التحكم فيه
 $G_c(s)$ هي دالة تحويل الحاكم

وحيث أنه في حالة التغذية الخلفية الأحادية ($H(s)=1$) فإن إشارة الخطأ في مجال الزمن تكتب
كما يلي:

$$e(t) = r(t) - c(t) \quad (1-4)$$

أما في مجال المتغير المركب s والذي نطلق عليه التحويل الlaplace لإشارة الخطأ فتكتب
كما يلي

$$E(s) = R(s) - C(s) \quad (2-4)$$

وحيث أن المسار الأمامي يتكون من عنصرين موصلين على التوالي هما $G_c(s)$ و $G_p(s)$
ومن ثم فإن

$$C(s) = G_c(s) \cdot G_p(s) \cdot E(s)$$

بالتعميض بقيمة $G(s)$ في المعادلة (2-4) نصل على

$$E(s) = R(s) - G_c(s)G_p(s)E(s)$$

$$E(s)(1 + G_c(s)G_p(s)) = R(s) \quad (3-4) \quad \text{أو}$$

ومن ثم يصبح تحويل لابلاس لإشارة الخطأ على النحو التالي:



$$E(s) = \left(\frac{1}{1 + G_c(s)G_p(s)} \right) R(s) \quad (4-4)$$

5- تأثير الحكم التناصبي على إشارة الخطأ

في هذا الجزء سوف نقوم بدراسة تأثير الحكم التناصبي على استجابة الحلقة المغلقة لنظام تحكم من الرتبة الأولى عندما يكون الدخل المرجعي عبارة عن إشارة خطوة ارتفاعها R_0

المعادلة الزمنية للحكم التناصبي على النحو التالي:

$$p(t) = K_p e(t)$$

بإدخال تحويلات لا بلس على طري في المعادلة الزمنية للحكم نحصل على

$$P(s) = K_p E(s)$$

ومن ثم تكون دالة تحويل الحكم التناصبي هي:

$$G_c(s) = K_p \quad (5-4)$$

وإشارة الدخل المرجعي هي

$$r(t) = \begin{cases} R_0 & t \geq 0 \\ 0 & t < 0 \end{cases}$$

ومن ثم يكون تحويل لا بلس لإشارة الدخل المرجعي كما يلي

$$R(s) = \frac{R_0}{s}$$

أما الصيغة العامة لدالة تحويل نظم الرتبة الأولى فتكتب على النحو التالي:

$$G_p(s) = \frac{1}{\tau s + 1}$$

بالتعميض عن $G_c(s)$ و $R(s)$ في المعادلة (3-4) نحصل على تحويل لا بلس لإشارة الخطأ على النحو التالي:

$$E(s) = \frac{1}{1 + K_p \frac{1}{\tau s + 1}} \left(\frac{R_0}{s} \right) \quad (6-4)$$

بتوحيد المقام في مقام المعادلة 6-4 نحصل على

$$E(s) = \frac{R_0 (\tau s + 1)}{s(\tau s + 1 + K_p)} \quad (7-4)$$



باستخدام قانون القيمة النهائية نحصل على القيمة النهائية لإشارة الخطأ كما يلي

$$e_{ss} = \lim_{s \rightarrow 0} sE(s) = \lim_{s \rightarrow 0} (sR_0) \left(\frac{\tau s + 1}{s(\tau s + 1 + K_p)} \right) = \frac{R_0}{1 + K_p} \quad (8-4)$$

واضح من المعادلة (8-4) أن القيمة النهائية لإشارة الخطأ ليست منعدمة، ومن ثم يتضح أن الحاكم التناصبي لا يلغى إشارة الخطأ، غير أنه يمكن التقليل من إشارة الخطأ بزيادة معامل الحاكم التناصبي K_p . ولكن الزيادة المفرطة قد تؤدي إلى عدم الاستقرار.

الشكل (3-4) يوضح تأثير الحاكم التناصبي على قيمة الخطأ عند الاستقرار لنظام تحكم

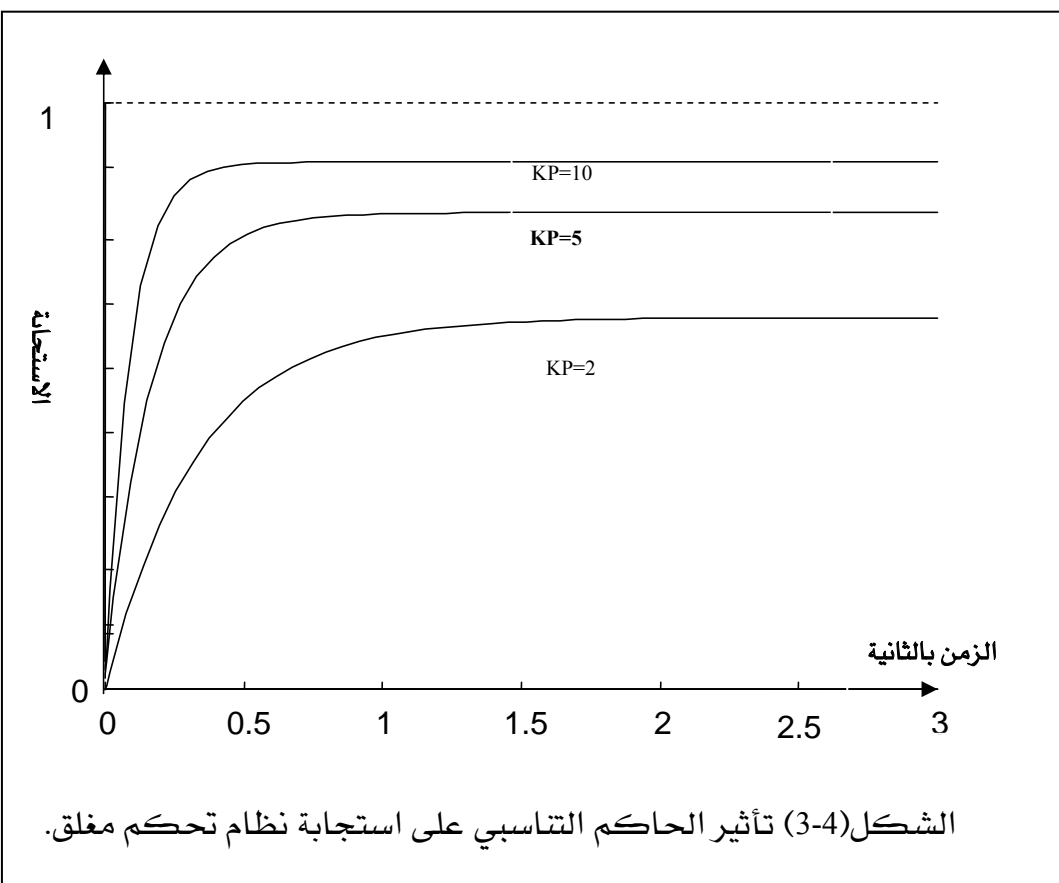
ذو حلقة تغذية خلفية من الرتبة الأولى باستخدام برنامج Matlab Simulink

$$G_p(s) = \frac{1}{s+1} \quad \text{حيث أن: دالة تحويل النظام هي}$$

$r(t) = 1$ والدخل المرجعي هو دالة خطوة الوحدة

ولقد تم اختيار قيم معاملات الحاكم كما يلي:

$$K_p = 2, \quad K_p = 5, \quad K_p = 10$$



الشكل (3-4) تأثير الحاكم التناصبي على استجابة نظام تحكم مغلق.



4-6 تأثير الحكم التكاملي على إشارة الخطأ

في هذا الجزء سوف نقوم بدراسة تأثير الحكم التكاملي على استجابة الحلقة المغلقة لنظام تحكم من الرتبة الأولى عندما يكون الدخل المرجعي عبارة عن إشارة خطوة ارتفاعها R_0

المعادلة الزمنية للحكم التكاملي على النحو التالي:

$$p(t) = K_I \int_0^t e(\tau) d\tau$$

و دالة تحويل الحكم التكاملي هي:

$$G_c(s) = \frac{K_I}{s} \quad (9-4)$$

أما إشارة الدخل المرجعي هي

$$r(t) = \begin{cases} R_0 & t \geq 0 \\ 0 & t < 0 \end{cases}$$

ومن ثم يكون تحويل لا بلاس لإشارة الدخل المرجعي

$$R(s) = \frac{R_0}{s}$$

و الصيغة العامة لدالة تحويل نظم الرتبة الأولى تكتب على النحو التالي:

$$G_p(s) = \frac{1}{\tau s + 1}$$

بالتعويض عن $G_p(s)$ و $R(s)$ في المعادلة (4-4) نحصل على تحويل لا بلاس لإشارة الخطأ على النحو التالي:

$$E(s) = \frac{1}{1 + \left(\frac{K_I}{s} \right) \left(\frac{1}{\tau s + 1} \right)} \left(\frac{R_0}{s} \right) \quad (10-4)$$

و بتوحيد المقام لمقام المعادلة 4-13 نحصل على

$$E(s) = \frac{s(\tau s + 1)}{(\tau s^2 + s + K_I)} \left(\frac{R_0}{s} \right) \quad (11-4)$$

ولإيجاد قيمة إشارة الخطأ عند الاستقرار نستخدم نظرية القيمة النهائية كما يلي:



$$e_{ss} = \lim_{s \rightarrow 0} sE(s) = \lim_{s \rightarrow 0} \left(s \left(\frac{R_0}{s} \right) \frac{s(\tau s + 1)}{(\tau s^2 + s + K_I)} \right) = 0 \quad (12-4)$$

يتضح من المعادلة (12-4) أن القيمة النهائية لإشارة الخطأ في حالة استخدام الحكم التكاملي منعدمة، وهذا يعني أن القيمة النهائية للمتغير المراد التحكم فيه تصل إلى نفس القيمة المرغوب لها وهي الدخل المرجعي.

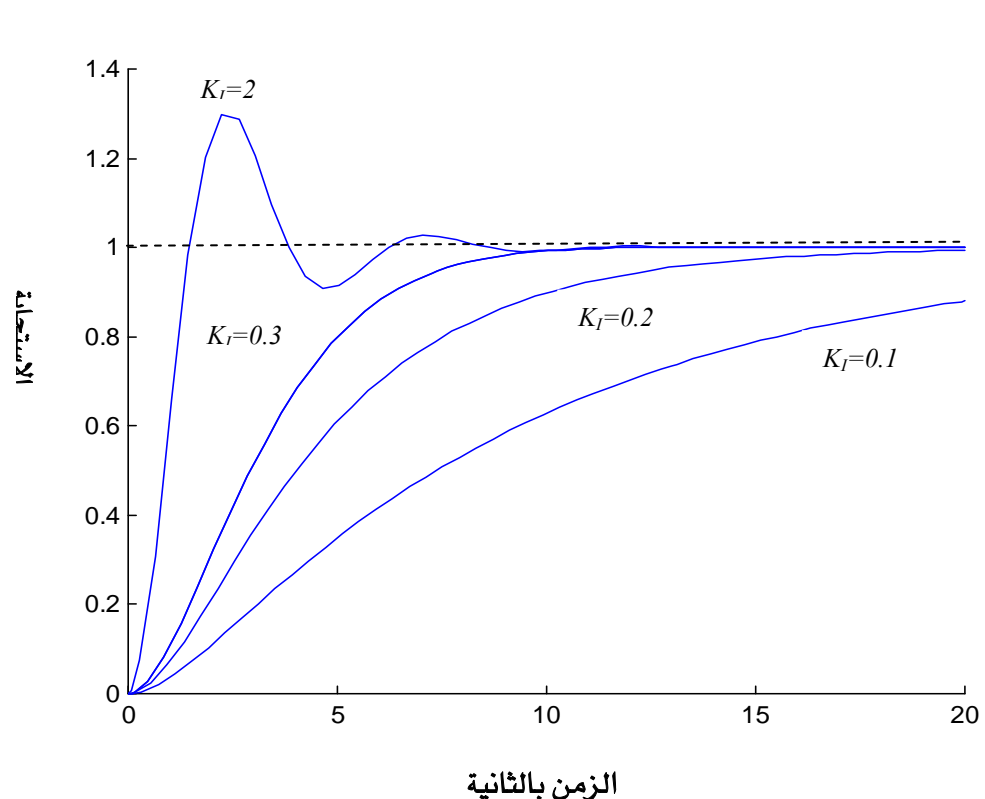
الشكل (4-4) يوضح تأثير الحكم التاسبي على قيمة الخطأ عند الاستقرار لنظام تحكم ذو حلقة تغذية خلفية من الرتبة الأولى باستخدام برنامج Matlab Simulink

حيث أن: دالة تحويل النظام هي

والدخل المرجعي هو دالة خطوة الوحدة $r(t) = 1$

ولقد تم اختيار قيم معاملات الحكم كما يلي

$$K_I = 0.1 \quad K_I = 0.2 \quad K_I = 0.3 \quad K_I = 2$$



الشكل (4-4) تأثير الحكم التكاملي على استجابة نظام تحكم مغلق



7-تأثير الحكم التناصبي التكاملي على إشارة الخطأ

في هذا الجزء سوف نقوم بدراسة تأثير الحكم التناصبي التكاملي على استجابة الحلقة المغلقة لنظام تحكم من الرتبة الأولى عندما يكون الدخل المرجعي عبارة عن إشارة خطوة ارتفاعها R_0

المعادلة الزمنية للحكم التناصبي التكاملي على النحو التالي:

$$p(t) = K_p e(t) + K_I \int_0^t e(\tau) d\tau$$

و دالة تحويل الحكم التناصبي التكاملي هي:

$$G_c(s) = \frac{K_p S + K_I}{S} \quad (13-4)$$

ويكون الدخل المرجعي هو إشارة خطوة ارتفاعها R_0

$$r(t) = \begin{cases} R_0 & t \geq 0 \\ 0 & t < 0 \end{cases}$$

ومن ثم فإن تحويل لا بلاس لإشارة الدخل المرجعي هو

$$R(s) = \frac{R_0}{s}$$

وحيث أن النظام المراد التحكم فيه هو نظام من الدرجة الأولى فإن الصيغة

العامة لدالة تحويله تكتب على النحو التالي:

$$G_p(s) = \frac{1}{\tau s + 1}$$

وبالتعويض عن $G_p(s)$ و $G_c(s)$ و $R(s)$ في المعادلة 7-4 نحصل على تحويل لا بلاس

لإشارة الخطأ على النحو التالي:

$$E(s) = \frac{1}{1 + \left(\frac{K_p s + K_I}{s} \right) \left(\frac{1}{\tau s + 1} \right)} \left(\frac{R_0}{s} \right) \quad (14-4)$$

و بتوحيد المقام في المعادلة (14-4) نحصل على

$$E(s) = \left(\frac{s(\tau s + 1)}{\tau s^2 + s(K_p + 1) + K_I} \right) \left(\frac{R_0}{s} \right) \quad (15-4)$$

باستخدام قانون القيمة النهائية نحصل على القيمة النهائية للخطأ عند الاستقرار

وهي:



$$e_{ss} = \lim_{s \rightarrow 0} sE(s) = \lim_{s \rightarrow 0} \left(s \left(\frac{R_0}{s} \right) \left(\frac{s(\tau s + 1)}{(\tau s^2 + s(1 + K_p) + K_I)} \right) \right) = 0 \quad (16-4)$$

يتضح من المعادلة (4-16) أن الحاكم التكاملی يلغی إشارة الخطأ، وهذا يعني أن القيمة النهائية للمتغير المراد التحكم فيه تساوى القيمة المرغوبة له وهي الدخل المرجعي.

الشكل (4-5) يوضح تأثير الحاكم التكاملی على قيمة الخطأ عند الاستقرار لنظام تحكم ذو حلقة تغذية خلفية من الرتبة الأولى باستخدام برنامج Matlab Simulink

$$G_p(s) = \frac{1}{s+1} \quad \text{حيث أن: دالة تحويل النظام هي}$$

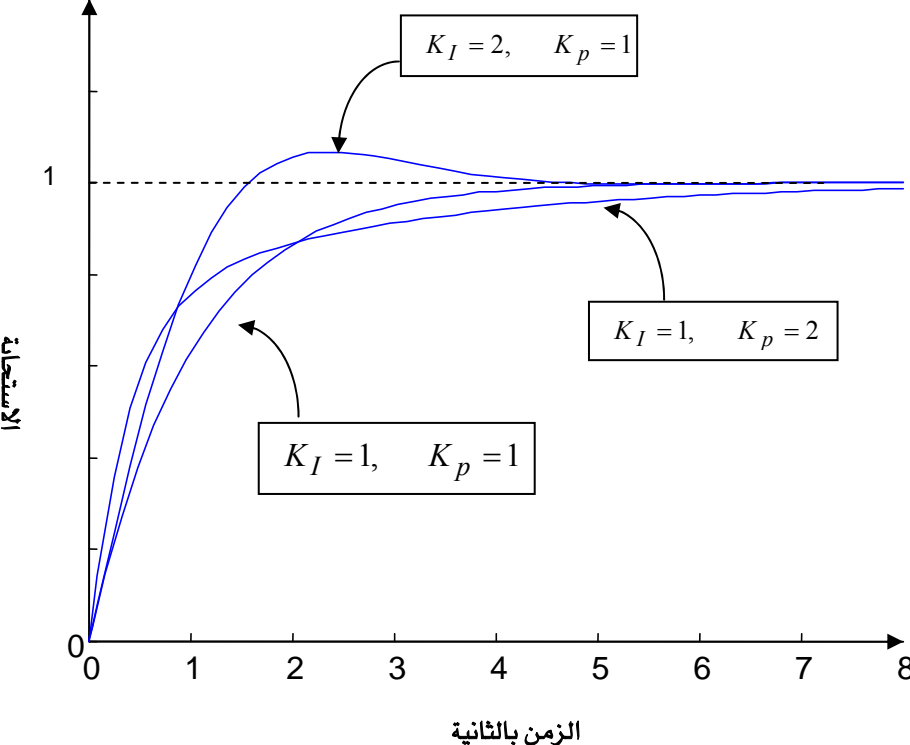
$$r(t) = 1 \quad \text{والدخل المرجعي هو دالة خطوة الوحدة}$$

ولقد تم اختيار معاملات كل من الحاكم التكاملی والحاکم التکاملی كما يلي:

$$K_I = 2, \quad K_p = 1$$

$$K_I = 1, \quad K_p = 1$$

$$K_I = 1, \quad K_p = 2$$



الشكل (4-5) تأثير الحاکم التکاملی على استجابة نظام



4-8 تأثير الحكم التناصبي التكاملي التفاضلي على إشارة الخطأ

في هذا الجزء سوف نقوم بدراسة تأثير الحكم التناصبي التكاملي التفاضلي على استجابة الحلقة المغلقة لنظام تحكم من الرتبة الأولى عندما يكون الدخل المرجعي عبارة عن إشارة خطوة ارتفاعها R_0 :

$$p(t) = K_p e(t) + K_I \int_0^t e(\tau) d\tau + K_D \frac{de(t)}{dt}$$

و دالة تحويله هي:

$$G_c(s) = \frac{K_D s^2 + K_p s + K_I}{s} \quad (17-4)$$

نستخدم دخلا مرجعيا على هيئة إشارة خطوة ارتفاعها R_0 ,

$$r(t) = \begin{cases} R_0 & t \geq 0 \\ 0 & t < 0 \end{cases}$$

ومن ثم تحويل لا بلاس لإشارة الدخل المرجعي هو

$$R(s) = \frac{R_0}{s}$$

وحيث أن النظام المراد التحكم فيه هو نظام مغلق من الرتبة الأولى، فإن الصيغة العامة لدالة تحويله تعطى على النحو التالي:

$$G_p(s) = \frac{1}{\tau s + 1}$$

وبالتعويض عن $G_c(s)$ و $G_p(s)$ و $R(s)$ في المعادلة 4-7 نحصل على تحويل لا بلاس لإشارة الخطأ على النحو التالي:

$$E(s) = \frac{1}{1 + \left(\frac{K_D s^2 + K_p s + K_I}{s} \right) \left(\frac{1}{\tau s + 1} \right)} \left(\frac{R_0}{s} \right) \quad (18-4)$$

بتوحيد المقام في مقام المعادلة (18-4) نحصل على

$$E(s) = \left(\frac{s(\tau s + 1)}{(\tau + K_D)s^2 + (K_p + 1)s + K_I} \right) \left(\frac{R_0}{s} \right) \quad (19-4)$$

باستخدام قانون القيمة النهائية نحصل على

$$e_{ss} = \lim_{s \rightarrow 0} sE(s) = \lim_{s \rightarrow 0} \left(s \frac{R_0}{s} \right) \left(\frac{s(\tau s + 1)}{(\tau + K_D)s^2 + (K_p + 1)s + K_I} \right) = 0 \quad (20-4)$$



يتضح من المعادلة (4-20) أن الحاكم التكامل التفاضلي يغطي إشارة الخطأ، وهذا يعني أن القيمة النهائية للمتغير المراد التحكم فيه تساوي القيمة المرغوبة له وهي الدخل المرجعي.

الشكل (6-4) يوضح تأثير الحكم التكامل التفاضلي على قيمة الخطأ عند الاستقرار لنظام تحكم ذو حلقة تغذية خلفية من الرتبة الأولى باستخدام

برنامج Matlab Simulink

$$G_p(s) = \frac{1}{s+1} \quad \text{حيث أن: دالة تحويل النظام هي}$$

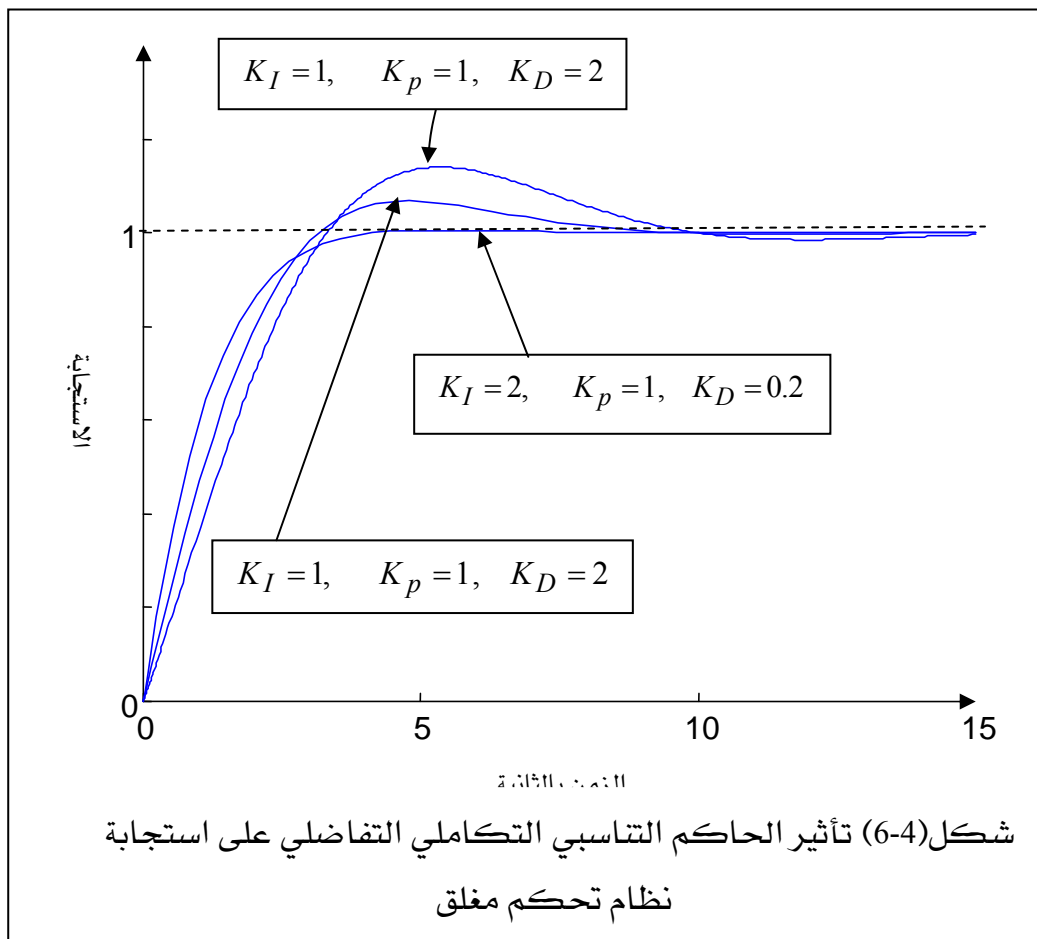
$$r(t) = 1 \quad \text{والدخل المرجعي هو دالة خطوة الوحدة}$$

ولقد تم اختيار معاملات كل من الحكم التكامل والحكم التفاضلي والحكم التكامل التفاضلي كما يلي:

$$\text{الحالة الأولى: } K_I = 1, \quad K_p = 1, \quad K_D = 2$$

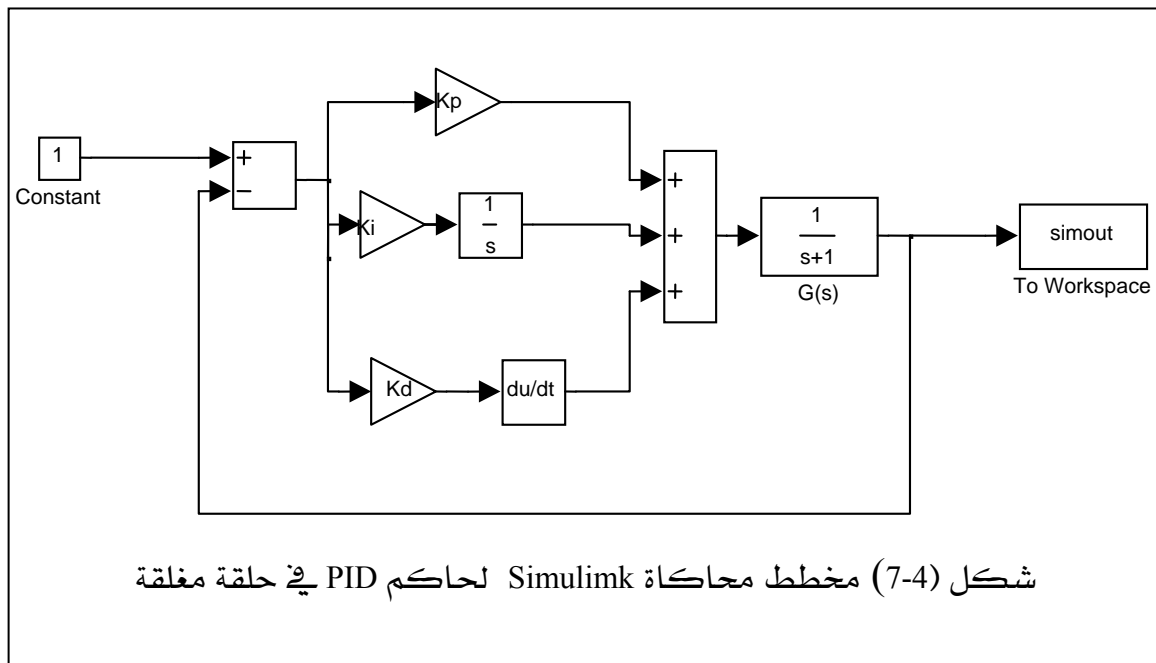
$$\text{الحالة الثانية: } K_I = 1, \quad K_p = 1, \quad K_D = 1$$

$$\text{الحالة الثالثة: } K_I = 2, \quad K_p = 1, \quad K_D = 0.2$$





أما الشكل (7-4) فيوضح مخطط لبرنامج Matlab Simulink الذي استخدم في محاكاة تأثير الحاكم التفاضلي على قيمة الخطأ عند الاستقرار لنظام تحكم ذو حلقة مغلقة من الرتبة الأولى



شكل (7-4) مخطط محاكاة PID لحاكم Simulink في حلقة مغلقة



تمارين

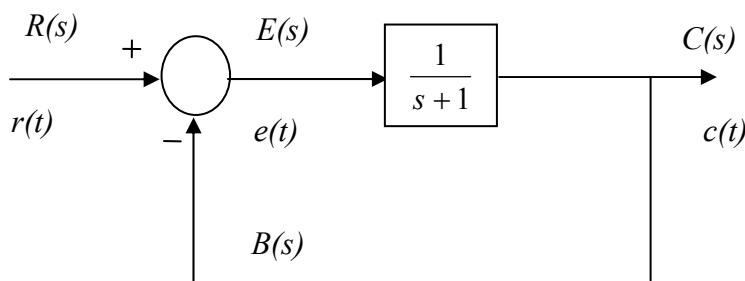
١- لدينا حلقة تغذية خلفية أحادية كما هو موضح في الشكل التالي

أوجد ما يلي:

أ) دالة تحويل النظام المغلق

ب) تحويل لا بلاس لإشارة الخطأ

ج) القيمة النهائية لإشارة الخطأ



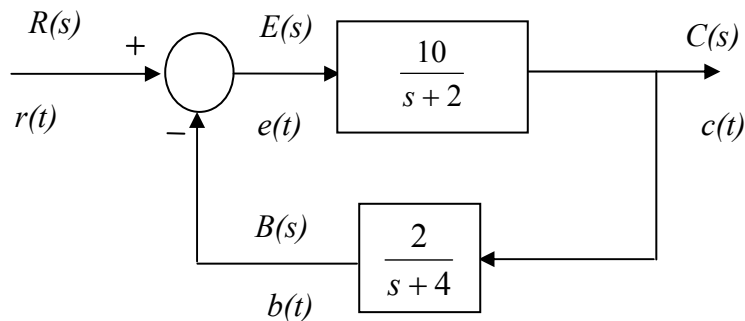
٢- لدينا حلقة تغذية خلفية موضحة بالشكل التالي

أوجد ما يلي:

أ) دالة تحويل النظام المغلق

ب) تحويل لا بلاس لإشارة الخطأ

ج) القيمة النهائية لإشارة الخطأ

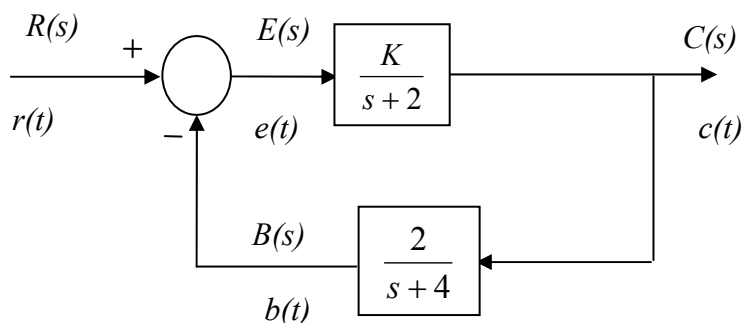


٣- أثبت أن الحاكم التاسبي في حلقة تغذية خلفية لا يلغى إشارة الخطأ

٤- أثبت أن الحاكم التكامل في حلقة تغذية خلفية يلغى إشارة الخطأ

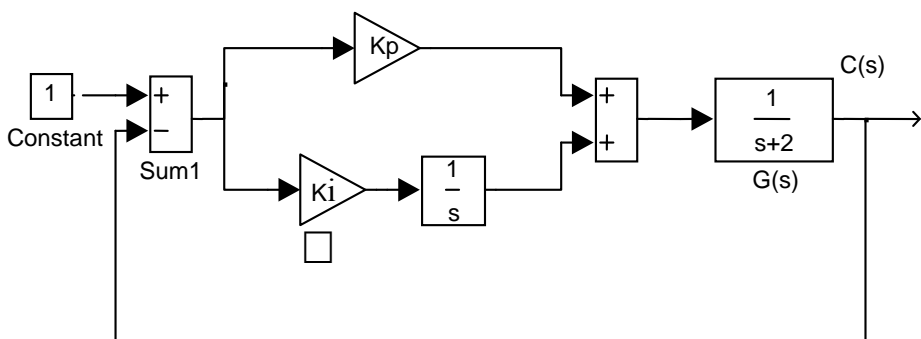


- ٥- أوجد معامل الكسب K المناسب الذي سيلغي إشارة خطأ حالة الاستقرار عند استعمال دخل على هيئة خطوة الوحدة في النظام الموضح أدناه.



٦- في نظام التحكم الموضح أدناه حدد نوع الحاكم وأوجد الآتي:

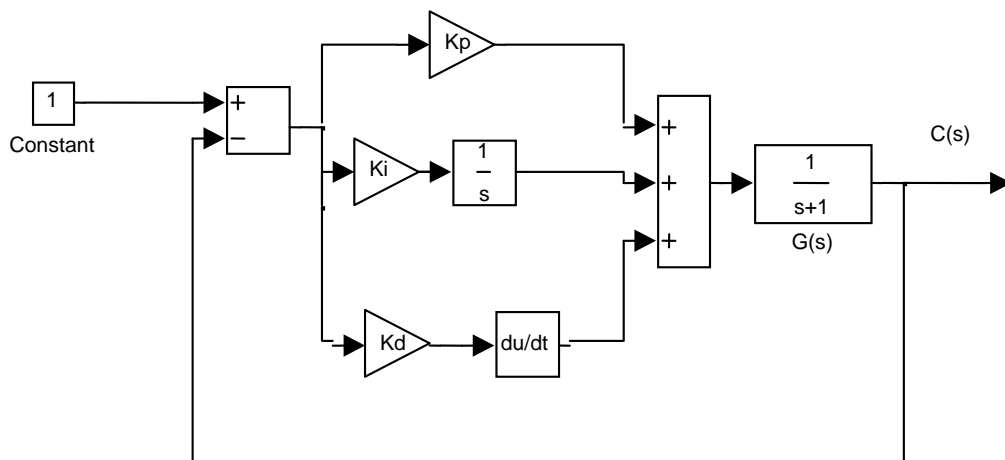
- أ) دالة تحويل الحاكم
- ب) دالة تحويل النظام المغلق
- ج) تحويل لا بلاس لإشارة الخطأ
- د) إشارة الخطأ عند حالة الاستقرار e_{ss}



٧- في نظام التحكم الموضح أدناه حدد نوع الحاكم وأوجد الآتي:

- أ) دالة تحويل الحاكم

- ب) دالة تحويل النظام المغلق
- ج) تحويل لا بلاس لإشارة الخطأ

د) إشارة الخطأ عند حالة الاستقرار e_{ss} 



مصطلحات



AC Motor	محرك تيار متعدد
Actuator	مشغل
Analog	تماثلي
Armature	عضو دوار
Automation	الآلية
Block Diagram	مخطط صندوقي
Bode Diagram	مخطط بودي
Cascade	تعاقب
Characteristic Equation	المعادلة المميزة
Characteristics	خصائص
Chart Recorder	مسجل
Closed Loop	حلقة مغلقة
Compensator	معوض
Control system	نظام تحكم
Control Valve	صمام تحكم
Controlled Variable	المتغير المراد التحكم فيه
Controller	حاكم
Critical Damping	إخماد حرج
Cutoff Frequency	تردد الانكسار
Damping	إخماد
DC Motor	محرك تيار مستمر
Delay Time	زمن التأخير
Derivative	تفاضلي
Derivative Controller	حاكم تفاضلي
Design	تصميم
Digital	رقمي
Disturbance	اضطراب أو تشويش



Dynamic	حركي، ديناميكي
Error	خطأ
Feedback	تغذية خلفية
Feedback Path	مسار خلفي
Final Control Element	عنصر التحكم النهائي
Flow Meter	مقياس معدل تدفق
Flow rate	معدل تدفق
Forward Path	مسار أمامي
Frequency Response	استجابة ترددية
Gain	كسب
Gain Crossover Frequency	تردد عبور الكسب
Gain Margin	هامش الكسب
Hydraulic	هيدروليكي
Input	دخل
Integral	تكاملى
Integral Controller	حاكم تكاملى
Lag Compensator	معوض تأخير
Laplace Transform	تحويل لا بلاس
Lead Compensator	معوض تقديم
Level	مستوى
Magnitude	قيمة
Manual Control	تحكم يدوي
Matrix	مصفوفة
Motor	محرك
Open Loop	حلقة مفتوحة
Oscilloscope	راسم ذبذبات
Output	خرج
Over Damping	إخماد زائد



Overshoot	تجاوز
Parallel	توازي
Peak Time	زمن الذروة
Performance	أداء
Permanent Response	استجابة دائمة
Phase Crossover Frequency	تردد عبور الطور
Phase Margin	هامش الطور
Phase Shift	إزاحة الطور
Pneumatic	هوائي، نوماتي
polynomial	كثير الحدود
Potentiometer	مجزئ الجهد
Process	عملية
Programmable Logic Control	الحاكمات القابلة للبرمجة
Proportional	تناسبي
Proportional Controller	حاكم تناسبي
Reference Input	دخل مرجعي
Resonance Frequency	تردد الرنين
Response	استجابة
Response Curve	منحنى الاستجابة
Rise Time	زمن الصعود
Root	جذر
Sensor	حساس
Series	توالي
Set Point	نقطة الضبط، نقطة التشغيل
Settling Time	زمن الاستقرار
Signal Conditioning	معالج الإشارة
Signal Conversion	محول الإشارة
Simulation	محاكاة



مواصفات	Specification
استقرار	Stability
معيار الاستقرار	Stability Criteria
دخل الخطوة	Step Input
محرك الخطوة	Stepper Motor
وصلة تجميع	Summing Junction
نظام	System
مقياس دوران، تاكوميتر	Tachometer
نقطة تفريع	Take off Point
الثابت الزمني	Time Constant
استجابة زمنية	Time Domain Response
محول طاقة	Transducer
دالة نقل	Transfer Function
استجابة عابرة	Transient response
حاكم ذو الوضعين	Two Position Control
إخماد ناقص	Underdamping
خطوة الوحدة	Unit step
تغذية خلفية أحادية	Unity Feedback



المراجع

اسم المؤلف	اسم المرجع
R. C. Dorf	Modern Control System, Edison Wesley, 1990
C. T. Chen	Control System Design, Saunders College Publishing, 1993.
John Van De Vegta	Feedback Control System, Prentice Hall, 1990.
B. Kuo	Automatic Control Systems, Prentice Hall
Johnson, C. D	<i>Process Control Instrumentation Technology</i> , Prentice Hall, 2002
Bateson, R. N.	<i>Introduction to Control Systems Technology</i> , Prentice Hall, 2002
Ogata, K.	<i>Modern control Engineering</i> , Prentice Hall, 1997
Dorf, R. C. and Bishop, R. H.	<i>Modern Control Systems</i> , Addison Wesley, 1998
Robert N. Bateson	<i>Introduction to control system technology; 7th edition</i> 1993
أحمد فؤاد محمد عامر	الأكاديمية العربية ، هندسة التحكم الآلي، مطبوعات للعلوم والتكنولوجيا والنقل البحري، ١٩٩١



المؤلف	اسم المرجع
بنجامين سى كو ترجمة د. مظفر النعمه -السيد محسن -السيد بطرس	أنظمة التحكم الذاتية - الطبعة الثالثة
د. ابراهيم العريباوي	موسوعة سلاح الدفاع الجوي - ١ - النظرية التقليدية - دار الراتب الجامعية - بيروت - ١٩٨٧